

И. И. ХМАЛАДЗЕ, К. С. ЧИХЕЛИДЗЕ

ПОРОДООБРАЗУЮЩИЕ МИНЕРАЛЫ  
КРИСТАЛЛИЧЕСКИХ ПОРОД  
ДЗИРУЛЬСКОГО ВЫСТУПА  
ЗАКАВКАЗСКОГО  
СРЕДИННОГО МАССИВА

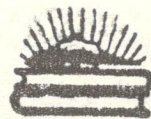
«МЕЦНИЕРЕБА»

АКАДЕМИЯ НАУК ГРУЗИНСКОЙ ССР  
ГЕОЛОГИЧЕСКИЙ ИНСТИТУТ им. А. И. ДЖАНЕЛИДЗЕ

Труды, новая серия, вып. 94

И. И. ХМАЛАДЗЕ, К. С. ЧИХЕЛИДЗЕ

ПОРОДООБРАЗУЮЩИЕ МИНЕРАЛЫ  
КРИСТАЛЛИЧЕСКИХ ПОРОД  
ДЗИРУЛЬСКОГО ВЫСТУПА  
ЗАКАВКАЗСКОГО  
СРЕДИННОГО МАССИВА



ТБИЛИСИ  
«МЕЦНИЕРЕБА»  
1987

26.303 (2 Г)

УДК [553.251.1:553.548] (479.22)

Х 641

В работе изложены результаты петроминералогического изучения древних кристаллических пород Дзиурульского выступа Закавказского срединного массива. Приведена химико-аналитическая характеристика 250 породообразующих минералов (роговых обманок, куммингтонитов, актиолитов, биотитов, мусковитов, гранатов). Произведен парагенетический анализ минералов сосуществующих с амфиболами и следами. На основании минеральных равновесий восстановлены РТ условия формирования гранитоидов и метаморфитов.

Книга рассчитана на петрологов и минералогов.

Редактор д-р геол.-мин. наук, проф. Д.М.Шенгелия

Рецензенты: д-р геол.-мин. наук, проф. Ш.И.Джавахишвили  
канд. геол.-мин. наук Р.А.Ахвледiani

I904020000  
M 607(06)-87 20-87

© Издательство "Мечниереба".  
1987

## ВВЕДЕНИЕ

В основу настоящей петроминералогической работы положен фактический материал, собранный авторами в течение 1971-1980 гг. Впервые для Дзиурульского выступа произведен парагенетический анализ кристаллических пород. При этом особое внимание уделялось равновесию между минералами переменного состава, химико-аналитической характеристике породообразующих минералов и РТ условиям образования минеральных парагенезисов. В результате проведенных исследований расшифрованы некоторые вопросы петрологии древнего субстрата этого региона.

Дзиурульский выступ Закавказского срединного массива является одним из наиболее сложных, но вместе с тем сравнительно хорошо изученных регионов развития древнего кристаллического субстрата. Наиболее детальные и планомерные исследования проводились начиная с 30-х годов под руководством акад. А.А. Твалчрелидзе и проф. Г.М. Смирнова. Вначале они проводились в практических целях, но параллельно должное внимание уделялось и геолого-петрографическим особенностям. Еще на первом этапе изучения кристаллического фундамента наиболее полные сведения, положившие начало современным взглядам на геологическое строение Дзиурульского выступа даны в работах П.Д. Гамкрелидзе и С.С. Чихелидзе (1933), А.А. Флоренского и Г.Л. Барсанова (1936), Г.М. Смирнова, Н.Ф. Татришвили, Т.Г. Казахашвили (1937, 1938), Белянкина и В.П. Петрова (1945) и др. Из ранних работ следует выделить работу П.А. Топурия (1938). Эта первая петрологическая работа по магматическим гранитам Дзиурульского выступа, в которой подробно описывается региональный процесс микроклинанизации и не терявшая свою актуальность и в настоящее время.

В середине 30-х годов детальные исследования в восточной части Дзиурульского выступа были проведены С.С. Чихелидзе. Объемистая монография, обобщающая эти исследования, была опубликована позднее (1948).

Важная роль в изучении пород данного кристаллического выступа принадлежит многолетним петрологическим исследованиям Г.М. Зарина и Н.Ф. Татришвили (1937, 1947, 1948, 1949, 1959, 1964) и др.

Вопросы геологии, минералогии, петрологии и геохимии освещены также в работах Г.В. Гвахария и др. (1965), Г.П. Лобжанидзе (1965), Г.А. Одикадзе (1960, 1969), И.И. Хмаладзе (1966, 1968), Ш.А. Адамия (1968, 1984), М.Б. Абесадзе (1969, 1975), Ш.И. Джавахишвили (1970), Р.И. Манвеллидзе (1970, 1983), И.П. Гамкрелидзе и др. (1979, 1981, 1985) и др.

Вместе с тем, в этом регионе в различное время были проведены геологические работы и составлены геологические карты различного

масштаба (геологические отчеты: Кахадзе, Кацелаки, 1941; Чикованни и др., 1955; Джигаури, Торозов, 1958; Девдариани, Джавахишвили и др., 1980).

Несмотря на существование столь многочисленных исследований, главные породообразующие минералы за исключением полевых шпатов остаются недостаточно изученными. Предлагаемая работа является первой попыткой обобщения петроминералогических данных по этим минералам кристаллических пород Дзирульского выступа Закавказского срединного массива.

#### Принятые в работе сокращения

Аб, ал - альбит	Мт - магнетит
Акт - актинолит	Му - мусковит
Альм - альмандин	Пи - пироксен
Анд - андалузит	Пир - пироп
Андр - андрадит	Пл - плагиоклаз
Би - биотит	Рог - роговая обманка
Гр - гранат	Сер - серицит
Грос - гроссуляр	Сил - силлиманит
Граф - графит	Спес - спессартин
Кв - кварц	Сф - сфен
Кор - кордиерит	Турм - турмалин
Клш - калиевый полевой шпат	Хл - хлорит
Кум - куммингтонит	Шп - шпинель
	Эп - минералы группы эпидота

Цифры при символах железо-магнезиальных минералов (Би<sub>60</sub>) – их общая железистость ( $Fe = \frac{Fe}{Fe + Mg}$ ), при символе плагиоклаза (Пл<sub>20</sub>) – означают содержание аортитового компонента, при калишпате (Клш<sub>21</sub>) мольная доля альбита.

Номера анализов с индексом <sup>x</sup> выполнены на электронном рентгеновском микроанализаторе "САМЕСТ", MS - 46.

#### ГЕОЛОГО-ПЕТРОЛОГИЧЕСКАЯ ХАРАКТЕРИСТИКА ПАЛЕОЗОЙСКИХ МЕТАМОРИЧЕСКИХ И МАГМАТИЧЕСКИХ ПОРОД

Наиболее древние (докембрий-нижний палеозой) метаморфиты Дзирульского выступа – амфиболиты, метабазиты, кристаллические сланцы, гнейсы и мигматиты пользуются подчиненным распространением в регионе. Встречаются они в виде ксенолитов и переработанных останцев величиной обычно до нескольких десятков метров (исключение составляют сравнительно крупные выходы амфиболитов и метабазитов в ущелье р.Чератхеви), в раннегерцинских гнейсовых кварцевых диоритах и их гранитизированных разностях. В большинстве случаев наблюдаются постепенные взаимопереходы и чередование кристаллических сланцев, гнейсов, мигматитов, амфиболитов и метабазитов, а также взаимоперемещения последних в гнейсовых кварцевых диоритах. Местами в гнейсовых кварцевых диоритах включены разно ориентированные угловатые ксенолиты почти неизмененных древних метаморфитов.

Амфиболиты и метабазиты состоят из зеленой роговой обманки (реже встречаются куммингтонит, сине-зеленая роговая обманка и актинолит) и плагиоклаза (андезин-лабрадор, нередко альбитизированный); присутствуют также биотит, минералы группы эпидота, хлорит, карбонат, сфен, рудные минералы и другие аксессоры, калишпат, кварц и в единичных случаях реликты пироксена. Появление некоторых из перечисленных минералов связано с наложенным процессами. По мере возрастания содержания биотита, хлорита, кварца и других минералов образуются различные кристаллические сланцы (Заридзе, 1970; Заридзе, Татишвили, 1959). Местами количество роговой обманки резко возрастает и появляются мономинеральные амфиболиты.

Наличие реликтовой диабазовой и порфировой структуры указывает на магматическую природу исходных пород амфиболитов, однако не исключена возможность существования амфиболитов и иного генезиса.

Наиболее крупный выход древних метабазитов расположен в ущелье р.Чератхеви, у с.Цхетиджвари. Здесь представлены плотные мелковзернистые габбро-диабазовые породы обычно массивной текстуры. Местами отчетливо наблюдаются полосчатость и разности, переходные к габбро-амфиболитам, но большей частью габбро-диабазы имеют несильно свежий вид, что их можно было бы принять за молодые образования, если бы не факт внедрения в эти породы не только позднегерцинских калишпатовых гранитов и аплитов, но и более древних раннегерцинских кварцевых диоритов (Гамкрелидзе и др., 1979, 1981).

Наряду с древними (останцы в гнейсовых кварцевых диоритах) известны метабазиты в возрастном отношении, занимающие промежуточ-

ное положение между гнейсогиднными кварцевыми диоритами и позднегерцинскими калишпатовыми гранитоидами, но по составу и степени метаморфизма почти не отличающиеся от первых.

Кристаллические сланцы Дзиурульского выступа подразделяются на биотит-роговообманковые, биотитовые и двуслюдянные. Кроме того, подчиненным распространением пользуются силлманит, кордиерит, андалузит, гранат, графит и шпинельсодержащие разности, нередко входящие также в состав древних биотитовых и двуслюдянных гнейсов.

Мигматиты, тесно ассоциирующиеся с описанными метаморфитами, формируются в результате пролитывания последних лейкократовым кварц-плагиоклазовым либо кварц-калишпатовым материалом. Надо, однако, подчеркнуть значительное преобладание мигматитов с гранитной неосомой, возникших в связи с внедрением позднегерцинских калишпатовых гранитоидов. Калишпатовые мигматиты некоторыми авторами рассмотрены как гранитогнейсы (Абесадзе, Цимакуридзе, 1976), другими — как метасоматические мигматиты (Гамкрелидзе, Думбадзе, 1985).

Исходные парагенетические ассоциации кристаллических сланцев, гнейсов и амфиболитов отвечают амфиболитовой фации регионального метаморфизма. Регressive изменение сланцев происходит в условиях зеленосланцевой фации.

Вторая группа метаморфитов, т.н. "свита филлитов", именуемая также нижнепалеозойской метаморфической свитой (Абесадзе, 1975), обнаружается в виде двух обособленных выходов Бжиневского и Чорчано-Уцлевского, заключенных главным образом в калишпатовые гранитоиды. Как известно, свите филлитов Чорчано-Уцлевской полосы придается большое значение при датировке и корреляции древнейших образований Кавказа, так как в мраморах свите была обнаружена фауна археоида, указывающая на верхи нижнего кембрия (Барсанов, 1931) и катаграфии, по мнению исследователей также подтверждающие кембрийский возраст мраморов (Кожухаров, Боянов, 1971), а из филлитов определены палиноморфы силура и девона (Абесадзе и др., 1980).

Исследования, проведенные И.И.Хмаладзе совместно с группой сотрудников Геологического института (Гамкрелидзе и др., 1979, 1980, 1981) показали, что данные метаморфиты состоят из разновозрастных групп пород, большая часть которых находится в аллохтонном залегании и состоит по меньшей мере из двух покровных пластин, перекрытых Чешорским неоавтохтонным комплексом (Чешорская свита по М.Б. Абесадзе, 1975). Установлена примерно следующая последовательность пород: слюдянные и гранатсодержащие кристаллические сланцы, метапесчаники, метаморфические сланцы (филлиты) с линзами мраморов и кварцитов, метаморфизованные диабаз-порfirитовые и кварцпорfirитовые вулканиты, метаморфизованные конгломераты, гравелиты и песчаники. Последние являются регressive образованиями, содержат обломочный

материал почти всей гаммы доюрских пород, включая обломки туфов кварцевых порfirотов и венчают разрез метаморфической свите.

Возникает интерес вопрос о первичном взаимоотношении герцинских калишпатовых гранитов с метаморфической свите. Установлено, что в настоящее время контакты между названными породами почти во всю тектонические (Кожухаров, Боянов, 1971, 1972; Киласония, 1972; Гамкрелидзе, 1965; Абесадзе и др., 1982; Гамкрелидзе и др., 1981; Гамкрелидзе, Думбадзе, 1985; Адамия, 1984). Однако некоторые исследователи в метасланцах во многих местах отмечают образование мигматитов и очковых сланцев, содержащих контактные минералы — зеленый биотит, турмалин, андалузит, а также тонкие жилы и порfirобласти калишпата и альбита. Все эти факты позволяют некоторым исследователям (Чихелидзе, 1948; Кожухаров, Боянов, 1971, 1972; Гамкрелидзе и др., 1981, 1985) говорить о первично kontaktовом воздействии герцинских гранитов на породы метаморфической свите. В этом отношении интересны также данные И.И.Хмаладзе (1978) об образовании на приконтактовых участках высокотемпературного графита.

Существует и другая точка зрения. Ш.А.Адамия (1984) на основании исследований последних лет "свиты филлитов" Чорчано-Уцлевской полосы (Абесадзе, 1975; Адамия, Шавишвили, 1979; Абесадзе и др., 1980, 1982) заключает, что в эту "свиту" объединены совершенно различные по составу, генезису, возрасту и структуре образования, слагающие отдельные тектонические чешуй. Это — разновозрастные толщи филлитов, филлонитов по различным кристаллическим сланцам и гранитоидам, милониты и катаклазиты по микроклиновым гранитам, гранитпорfirам и киммерьевым порfirам, катаклазированные амфиболиты и др.

В строении Дзиурульского выступа господствующее положение занимают гранитоиды, среди которых преобладают гнейсогидные кварцевые диориты (раннегерцинские) и их гранитизированные разности. Гнейсогидные кварцевые диориты состоят главным образом из плагиоклаза (андезин-олигоклаз), биотита и кварца, реже встречаются мусковит, калишпат и другие минералы. Различные метаморфические преобразования приводят к значительному видоизменению кварцевых диоритов и перераспределению слагающих их компонентов, вследствие чего на ряде участков наблюдается чрезмерная обогащенность породы теми или иными минералами — кварцем, биотитом, полевым шпатом. Образуется полосчатость.

На основании ряда геологических и петрологических признаков гнейсогидные кварцевые диориты принимаются нами за магматические (палингенные) образования (Чихелидзе, Хмаладзе, 1976). Возникновение первоначального палингенного расплава, давшего гнейсогидные кварцевые диориты, связано с высокотемпературным метаморфизмом, на что указывает ксенолиты кристаллических сланцев высокотемпературных

(около 700°C) субфации амфиболитовой фации. В окончательном их формировании большую роль сыграли явления гибридизма. В процессе становления гнейсовидных кварцевых диоритов палеотемпература (600–660°C) и уровень летучести кислорода ( $10^{-15}$  –  $10^{-16.2}$ ) значительно превышали рассчитанные для процесса метасоматической гранитизации (Чихелидзе, Хмаладзе, 1976, 1977).

Гранитизация гнейсовидных кварцевых диоритов, а также других древних метаморфитов (амфиболиты, метабазиты, кристаллические сланцы, гнейсы) приводит к образованию метасоматических гранитоидов – как типично гранитового, так и более основного – аадамелитового, базанитового и тоналитового состава и обширных полей мигматитов. Такое разнообразие обусловлено составом исходных пород и метасоматических растворов, богатых кремнием, калием и натрием.

Порфиробластовые разновидности метасоматических гранитоидов иногда по облику похожи на некоторые позднегерцинские калишпатовые гранитоиды (Рквийский интрузив), но детальное исследование порфиробластов (Манвелidзе, 1970, 1983) показало, что последние, в отличие от калишпата рквийских гранитоидов, представлены высокоупорядоченными структурно-оптическими типами, образовавшимися в низкотемпературных (около 400°C) условиях. Процессу калишпатизации предшествует альбитизация плагиоклаза в широком масштабе, и поэтому в гранитизированных разностях кварцевых диоритов этот минерал представлен уже исключительно альбитом и реже олигоклазом.

Явления метасоматической гранитизации большинство исследователей генетически связывают с образованием позднегерцинских гранитоидов. Таким образом, последние, несмотря на свое подчиненное распространение, играют значительную роль в окончательном становлении палеозойского фундамента Дзиурульского выступа.

Позднегерцинские калишпатовые гранитоиды образуют жилы мощностью до нескольких метров или более крупные штоковообразные тела. В северо-западной части Дзиурульского выступа, в ущельях рр. Квирила, Буджа и Дэуса гнейсовидные кварцевые диориты прорваны сравнительно мощным телом (площадь выхода около 80 км<sup>2</sup>) порфировидного гранита, известного под названием Рквийского интрузива. Породы массивны, лишь местами слабо выражена параллельная ориентация слагающих минералов.

В составе порфировидных гранитоидов – кварц, плагиоклаз (часто зональный от альбита до андезита), калишпат, биотит, мусковит и хлорит. Аксессоры – алатит, циркон, сфен, магнетит, рутил, берилл, колумбит, пирит и др. Порфировидные выделения калишпата (размером до 10 см) представлены малупорядоченными оптическими типами, а калишпат – гипидиоморфозернистой основной массой с высокопорядоченными структурными типами, на что указывает резко выраженная мик-

роклиновая решетка (Манвелидзе, 1970). Морфологические особенности порфировых выделений и характера включений, согласно данным П.А. Толурии (1938) и Р.М.Манвелидзе (1970, 1983), указывают на их первичный характер и возникновение из расплава в раннемагматической стадии. Формирование рквийских гранитов протекало в абиссальных условиях при высоких значениях летучести воды и ее парциального давления и при температуре не ниже 550°C (Чихелидзе, Хмаладзе, 1977). Высокие значения летучести воды и ее парциального давления указывают на то, что исходная магма Рквийской интрузии была богата летучими компонентами и обусловила развитие пегматитовых образований.

Среди равномернозернистых гранитоидов различаются биотитовые, двуслойные, альбитовые, аплитовые (иногда гранатсодержащие), мусковитовые и, реже, биотит-роговообманковые.

Особый интерес представляют редкometальные пегматитовые проявления позднегерцинских гранитоидов Дзиурульского выступа. По составу здесь выделяются кварц-микроклиновые, гранат-кварц-микроклиновые, мусковит-кварц-микроклиновые, альбит-кварц-микроклиновые, турмалин-кварц-альбитовые и кварц-альбитовые пегматиты. В них присутствуют гранат, турмалин, берилл, колумбит, шпинель и др. минералы (Одикадзе, 1969).

В формировании позднегерцинских гранитоидов немаловажная роль принадлежит автометаморфизму.

Основные породы на Дзиурульском выступе образуют многочисленные разновозрастные жильные и штоковые тела. Вопрос о возрасте основных пород является спорным, т.к. их взаимоотношение с боковыми образованиями не всегда доступно наблюдению. Наряду с амфиболитами и метабазитами здесь фиксируются также крупные тела габро-диабазовых пород. Для палеозойских основных пород характерно содержание в них амфиболя (преимущественно роговой ооманки) и основного плагиоклаза. Пироксен встречается очень редко. Только в работе П.Ф. Кигласония (1973) упоминается о наличии в этих породах оливина, а также щелочных амфиболов – арфедсонита, паргасита и глаукорана.

#### АМФИБОЛЫ

В палеозойских образованиях Дзиурульского выступа амфиболы представлены преимущественно обыкновенной, реже сине-зеленой роговой обманкой, куммингтонитом и актинолитом, входящими в состав древних амфиболитов, метабазитов и амфиболовых сланцев, гнейсовидных кварцевых диоритов и габровых пород.

Роговая обманка является одним из ведущих компонентов в составе амфиболитов, метабазитов и габро. В гнейсо-

видных кварцевых диоритах, где она встречается реже, роговая обманка образовалась в результате взаимодействия палингенного расплава, давшего кварцевые диориты с ксенолитами основных пород. Роговая обманка образует призматические кристаллы (размером обычно 0,5–2 мм; в габбро-пегматитах – до 3–5 см) зеленого, темно-зелено-го, светло-зеленого, синевато-зеленого и зеленовато-коричневого цвета.

В амфиболитах и метабазитах роговая обманка встречается в парагенезисах Рог+Пл+Би, Рог+Пл+<sub>(Би+Кв+Сф+Эп)</sub>, Рог+Кум+Пл+<sub>(Би+Кв)</sub>. В единичных случаях наблюдаются реликты пироксена.

В гнейсовидных кварцевых диоритах роговая обманка наблюдается в парагенезисе Рог+Пл+Би+Кв.

Роговая обманка, широко представленная в габбровых породах, образующих по сравнению с амфиболитами и метабазитами более крупные тела, фиксируется в минеральных парагенезисах Рог+Пл+Кв, Рог+Би+Пл, Рог+Би+Пл+Кв, Рог+Би+Пл+<sub>(Кв+Кип)</sub>, Пир+Рог+Пл, Пир+Рог+Би+Пл+Кип.

Состав роговых обманок, кристаллические формулы и некоторые особенности состава приведены в табл. I и 2 и на диаграммах (рис. I–6).

Содержание  $\text{Al}_2\text{O}_3$  в роговых обманках меняется в пределах 6,29–13,00% (исключение составляет образец 3435). Содержание CaO довольно постоянно – от 10,05 до 12,78. Железистость роговых обманок из амфиболитов и метабазитов варьирует в пределах 40–57, гнейсовидных кварцевых диоритов – 53–65, а габбро – 31–52.

Роговые обманки амфиболитов, метабазитов, гнейсовидных кварцевых диоритов и габбро занимают, за редким исключением отдельные поля (см. рис. I). Соотношение  $\text{Al}/(\text{Al}+\text{Fe}^{2+3}) + \text{Mg}$  примерно одинаково во всех роговых обманках, а по соотношению  $\text{Mg}/(\text{Al}+\text{Fe}^{2+3})$  и  $\text{Fe}^{2+3}/(\text{Al}+\text{Fe}^{2+3}+\text{Mg})$  роговые обманки, присутствующие в составе упомянутых групп пород, различны.

Как видим, роговые обманки в целом несколько более магнезиальны, нежели существующие с ними биотиты.

На рис. 2 показана тенденция к возрастанию содержания  $\text{TiO}_2$  в роговых обманках из различных групп пород в связи с увеличением их железистости. Такая же картина наблюдается в более железистых синевато-зеленых роговых обманках.

На рис. 3 и 4 отражена прямо пропорциональная зависимость между железистостью амфиболов и биотитов, а также амфиболов и вмещающих их пород. Рис. 5 и 6 наглядно показывают колебания в составе роговых обманок.

Синевато-зеленая роговая обманка встречается сравнительно редко в амфиболитах, метабазитах и амфибо-

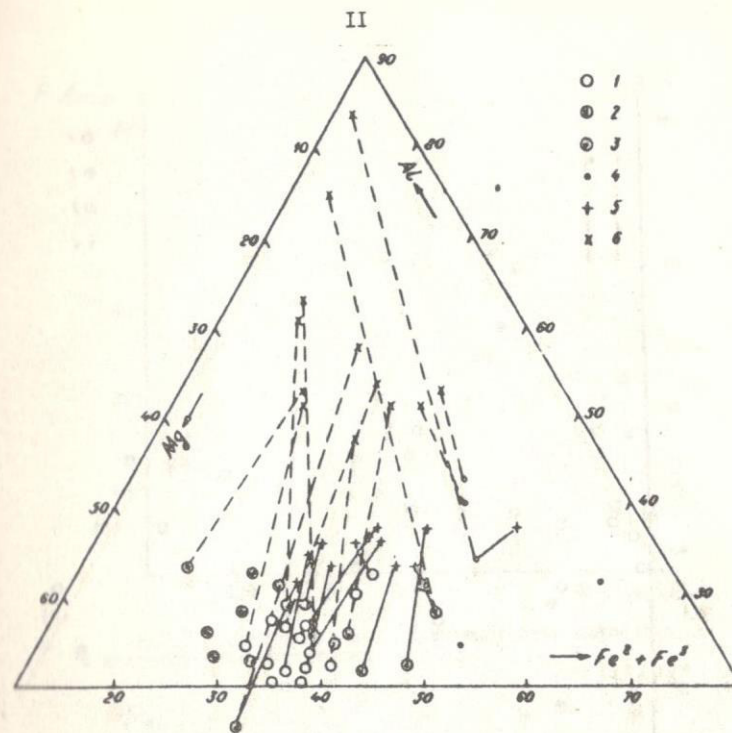


Рис. I. Парагенезисы и составы роговых обманок и ассоциирующихся с ними железомагнезиальных минералов.

1 – роговая обманка из амфиболитов и метабазитов; 2 – роговая обманка из гнейсовидных кварцевых диоритов; 3 – роговая обманка из габбро; 4 – синевато-зеленая роговая обманка; 5 – биотит, 6 – порода.

ловых сланцах в парагенезисах  $\text{CaP}+\text{Ab}+\text{Kv}+\text{Cer}$ ,  $\text{CaP}+\text{Bm}+\text{Ab}+\text{Ep}+\text{Xl}$  и в гранитоидах в парагенезисе  $\text{CaP}+\text{Bm}+\text{Pl}+\text{Kip}+\text{Kv}$  в виде густоокрашенных в синевато-зеленые и голубовато-зеленые цвета небольших (до 2–3 мм) призматических кристаллов. Местами в амфиболитах, вследствие метаморфической дифференциации, образуются мономинеральные прожилки синевато-зеленых роговых обманок.

В табл. 3 и 4 приводятся состав, кристаллохимические формулы и особенности состава синевато-зеленых роговых обманок. Содержание  $\text{Al}_2\text{O}_3$  в них по сравнению с обычными роговыми обманками высокое; повышенна также железистость – 67–90%. Содержание  $\text{MgO}$  резко падает, а CaO и щелочей примерно одинаковые в обеих минералах.

Наличие синеватых и голубоватых оттенков в окраске этого амфиболя одни исследователи связывают с повышенной щелочностью,

I2

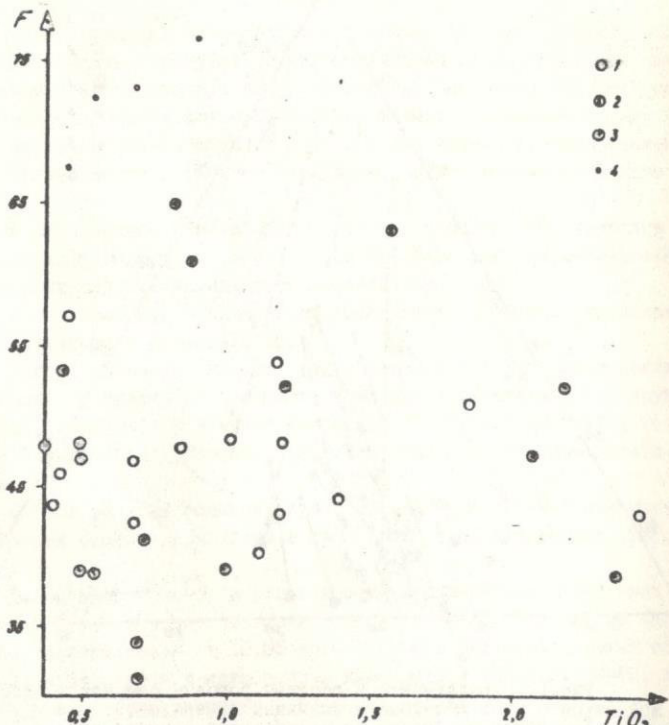


Рис.2. Соотношение между железистостью и  $TiO_2$  в роговых обманках.

1 - роговая обманка из амфиболов и метабазитов;  
2 - роговая обманка из гнейсовых кварцевых диоритов;  
3 - роговая обманка из габбро; 4 - сине-зеленая роговая обманка.

другие - с железистостью, а некоторые допускают, что на окраску амфибола влияют как повышение щелочности, так и железистости (за счет двухвалентного железа). Д.М.Шенгелиа (1975) и Н.Ф.Татршвили (1975) первыми указали на роль глинозема в образовании сине-зеленых роговых обманок.

Как уже говорилось, сине-зеленые роговые обманки Дзиурульского выступа отличаются повышенным содержанием как глинозема, так и железа (особенно двухвалентного).

Температура минералообразования для роговообманковых парагенезисов определена с помощью амфибол-плагиоклазового термометра. В амфиболитах, гнейсовых кварцевых диоритах и габбро роговая обманка образуется при  $T$  не ниже  $600\text{--}650^{\circ}\text{C}$ , а сине-зеленые роговые

I3

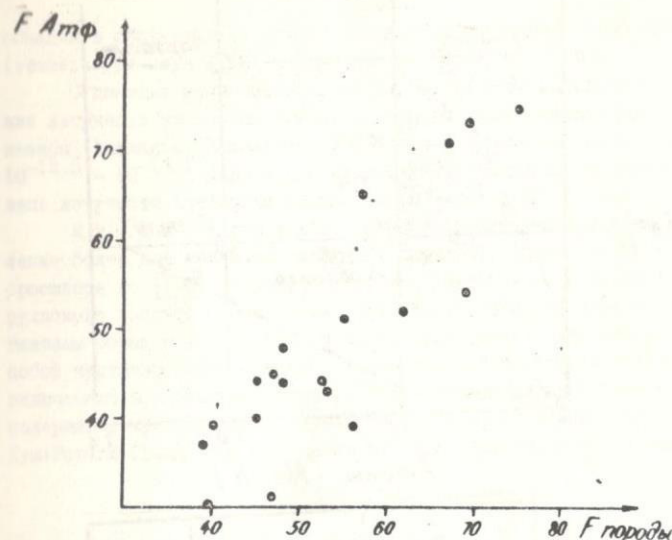


Рис.3. Соотношение между железистостью амфиболов и железистостью материнских пород.

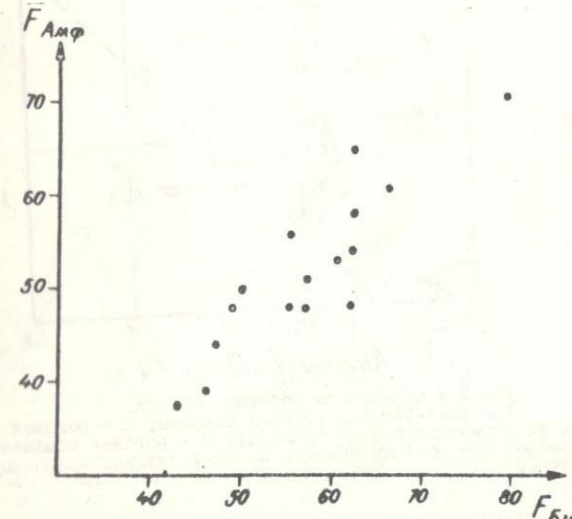
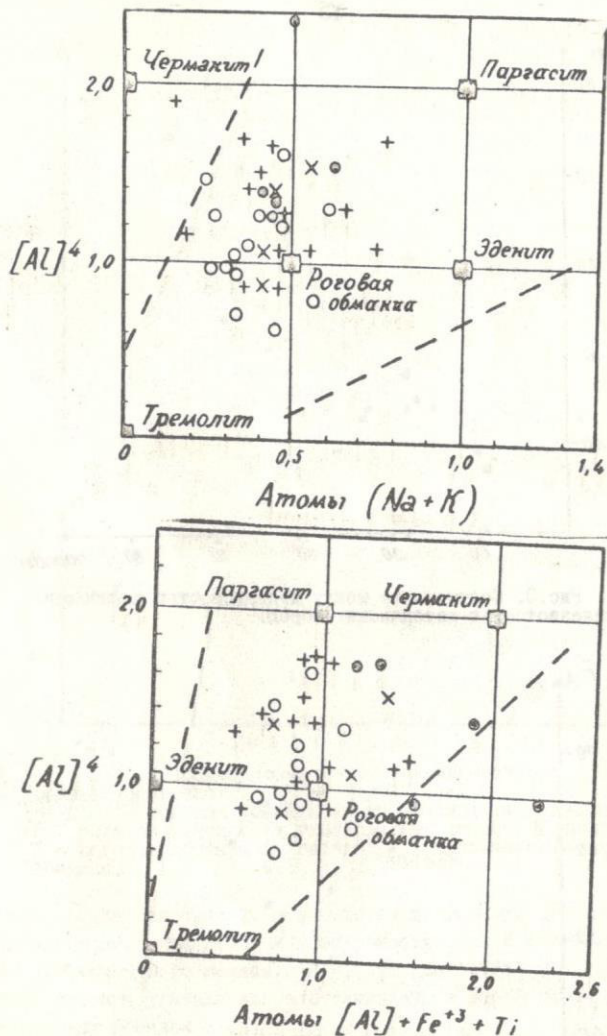


Рис.4. Соотношение между железистостью амфиболов и биотитов.



обманки в сравнительно низкотемпературных условиях - 400-450°С (температура определена в образцах 330 и 3418).

С помощью магнетитового геобарометра нами определены значения летучести кислорода пород, содержащих роговообманковые парагенезисы (Хмаладзе, Чихелидзе, 1976). Для габбровых пород они равны  $10^{-12,5} - 10^{-13,1}$  бар, а для гнейсовых кварцевых диоритов уровень летучести кислорода сравнительно низок -  $10^{-21,0}$  бар.

Куммингтонит образует бесцветные или тусклозеленые более или менее идиоморфные кристаллы, обычно очень тонко сплошьющие по [100] полисинтетическими двойниками. В породах Дзирульского выступа куммингтонит встречается сравнительно редко и главным образом в т.н. сферических образованиях, представляющих собой частично переработанные ксенолиты амфиболитов и метабазитов, включенные в кварцевые диориты. Вот минеральные парагенезисы пород, содержащих куммингтонит - Кум+Рог+Би+Пл+Кв+Сф, в единичных случаях Кум+Рог+Би+Гр+Пл (рис.7). Часто куммингтонит замещен актинолитом.

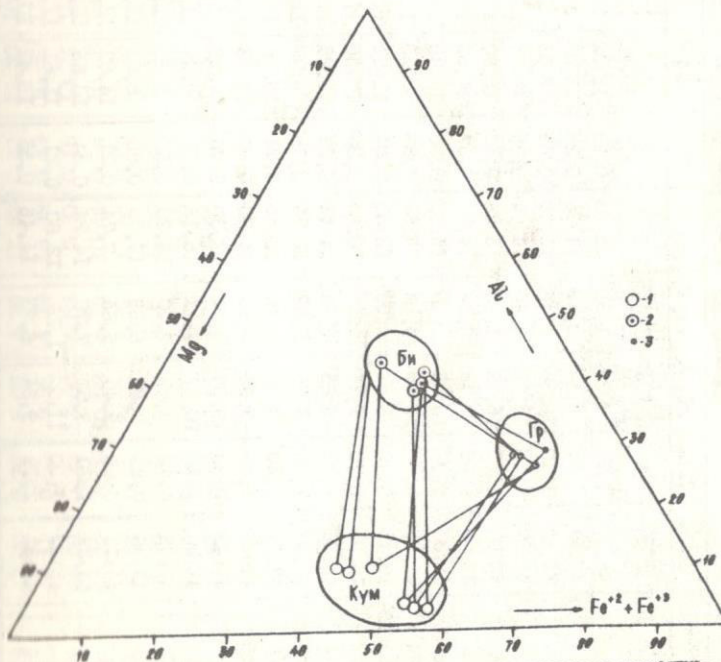


Рис. 7. Парагенезис и составы куммингтонитов и ассоциирующих с ними железомагнезиальных минералов.

1 - куммингтонит; 2 - биотит; 3 - гранат.

Таблица I

Химический состав роговых обманок Дзириульского выступа

# опр.	$SiO_2$	$TiO_2$	$Al_2O_3$	$Fe_2O_3$	$FeO$	$MnO$	$MgO$	$CaO$	$Mn_2O$	$K_2O$	$H_2O^*$	Сумма
I22X	43,02	14,51	10,62				15,40	II,60	2,40			97,55
68X	43,74	10,10	18,40	1,89	13,68	0,28	II,32	II,78	I,09	0,14	0,26	97,31
51	46,39	1,18	9,39	3,89	II,34	0,28	II,55	II,21	0,91	0,41	0,23	99,66
62	47,61	1,08	8,17	4,48	15,30	0,39	9,35	II,44	I,14	0,82	0,11	99,78
63	42,83	1,17	10,96	4,48	14,04	0,35	II,73	II,55	0,68	0,55	0,20	99,71
67	47,97	1,39	6,78	2,40	15,28	0,40	II,90	II,83	I,20	0,60	0,27	99,85
398/99	50,00	0,35	6,29	1,46	15,28	0,40	II,55	II,79	0,80	0,50	0,10	100,46
465	47,76	0,68	7,48	3,22	14,04	0,57	II,28	II,05	0,50	0,34	0,44	99,99
478/80	46,30	0,84	10,05	3,20	15,30	0,35	II,48	II,81	I,55	0,80	0,16	99,92
3074	44,90	0,45	II,29	3,63	15,84	0,39	II,21	II,93	0,90	0,40	0,18	100,10
3323/28	49,45	0,42	6,87	2,90	13,32	0,64	II,21	II,44	I,10	0,50	0,18	100,14
3477	46,00	0,70	9,76	5,52	10,65	0,30	II,58	II,28	I,04	0,75	-	99,99
48/A	45,82	1,02	9,65	2,65	14,45	0,27	II,30	II,20	I,30	1,00	0,43	99,63
51/A	47,90	1,85	6,70	3,93	13,70	0,35	II,46	II,10	0,74	0,61	-	99,65
52/A	47,24	1,20	7,68	2,18	15,59	0,24	II,53	II,22	0,62	0,42	-	99,49
102/A	44,98	2,47	7,96	3,10	14,00	0,30	II,59	II,69	0,74	1,03	-	99,75
12	45,42	0,78	9,05	4,59	17,38	0,70	II,00	II,00	1,00	1,40	0,10	100,05
610	42,00	1,55	10,68	7,31	15,13	0,57	II,30	II,20	0,80	0,22	2,90	99,76
3177	47,25	0,40	6,87	3,28	16,20	0,50	II,13	II,13	0,90	0,80	0,22	100,12
1069	43,36	0,85	7,87	6,69	17,70	0,85	II,19	II,19	0,86	1,01	0,26	99,73
37	46,12	0,68	9,40	5,65	7,74	0,21	II,07	II,52	1,28	0,82	0,02	100,05
54	43,39	1,20	9,52	7,70	14,24	0,34	II,65	II,28	0,97	0,81	0,26	99,97
60	45,02	1,00	II,22	1,16	12,60	0,21	II,61	II,69	1,80	0,80	0,10	100,10
544	43,32	2,19	9,84	6,73	14,46	0,35	II,42	II,42	0,79	0,55	0,39	99,77

16

# опр.	$SiO_2$	$TiO_2$	$Al_2O_3$	$Fe_2O_3$	$FeO$	$MnO$	$MgO$	$CaO$	$Mn_2O$	$K_2O$	$H_2O^*$	Сумма
3004	46,68	0,30	8,67	3,36	14,04	0,39	II,50	II,59	0,90	0,80	0,10	99,53
3019	49,00	0,70	8,06	3,78	II,52	0,43	II,50	II,59	I,10	0,80	0,06	99,90
3045	46,41	0,50	9,35	4,39	13,39	0,43	II,36	II,14	1,00	0,80	0,14	99,87
3070	44,00	0,72	13,00	4,03	7,30	0,18	II,74	II,36	2,10	0,80	0,28	100,01
3097	45,88	2,06	10,99	6,15	10,44	0,04	II,08	II,12	0,14	0,61	0,06	99,90
3358	46,58	0,52	9,01	5,04	10,80	0,39	II,24	II,25	I,10	0,50	0,12	100,07
3435	49,20	0,50	5,40	4,33	II,70	0,42	II,70	II,40	I,10	0,30	0,14	100,05
2/A	45,26	0,50	9,64	6,60	9,90	0,21	II,12	II,40	2,10	0,90	0,41	100,10
I/T	44,98	2,38	10,06	4,24	10,65	0,29	II,69	II,84	I,00	0,80	-	100,59

17

Примечание. I22X – кварцевый диорит ущ.р.Чератхеви; 68X – амфиболит ущ.р.Лопанишвили; 51 – амфиболит, р.Чератхеви; 62 – метадиабаз, с.Цхетихвари; 65 – амфиболит, р.Лашватхеви; 67 – метадиабаз, с.Цхетихвари; 398/99 – метадиабаз, р.Квадаура; 465 – амфиболит, с.Хавани; 478/80 – метагабро, с.Чаланни; 3074, 3323/28 – метадиабаз, с.Уисса; 3477 – метадиабаз, с.Чератхеви; 48/A, 51/A, 52/A – амфиболит, р.Дизура; 102/A – метагабро, с.Цхетихвари; 12 – гнейсогидн. кварцевый диорит, р.Рикотула; 610 – гнейсогидн. кварцевый диорит, р.Лашватхеви; 3177, 1069 – гнейсогидн. кварцевые диориты, р.Рикотула; 37 – гнейсогидн. габро, р.Дизура; 54 – габро, с.Ломиса; 60 – габбро-пегматит, с.Улумба; 544 – габро, р.Дизура; 3097 – габро, с.Борита; 3358 – габро, с.Мачарула; 2/A, 1/G – габро, р.Гезрула (анализ 48/A, 51/A, 1/G – из работы Гевахрия и др. – 1965). 102/A заменствованы из работы Абесадзе и Чамакурдзе – 1975, I – из работы Гевахрия и др. – 1965. Аналитики. Л.И.Баславели, Н.Д.Джабуа, Б.В.Кобишвили, М.Г.Дазршивли, А.Г.Седадзе, Г.Н.Тарченишили, В.А.Читинидзе.

## обманок Дзирульского выступа

## Кристаллохимические формулы роговых

18

# обр.	K	Na	Ca	Mg	Mn	Fe <sup>+2</sup>	Fe <sup>+3</sup>	Tl
I22 <sup>x</sup>		0,60	1,65	2,96		2,29		
68 <sup>x</sup>		0,63	1,92	2,42		2,29		
51	0,02	0,31	2,02	2,48	0,03	1,68	0,21	0,12
62	0,06	0,26	1,91	2,72	0,03	1,37	0,42	0,12
65	0,16	0,32	1,99	2,08	0,05	1,91	0,50	0,13
67	0,10	0,19	1,98	2,57	0,04	1,72	0,26	0,16
398/99	0,11	0,34	1,71	2,40	0,05	1,89	0,16	0,03
465	0,09	0,23	1,87	2,33	0,07	1,74	0,36	0,08
478/80	0,06	0,14	1,61	2,43	0,04	1,82	0,34	0,08
3074	0,16	0,45	1,73	1,82	0,05	1,97	0,41	0,04
3323/28	0,07	0,26	1,73	2,45	0,07	1,63	0,32	0,04
3477	0,09	0,32	1,80	2,54	0,03	1,30	0,60	0,08
48/A	0,14	0,30	1,76	2,28	0,04	1,79	0,29	0,12
51/A	0,20	0,38	1,82	2,10	0,04	1,75	0,44	0,20
52/A	0,10	0,21	1,76	2,31	0,03	1,93	0,25	0,13
I02/A	0,07	0,17	1,60	2,72	0,03	1,71	0,33	0,20
I2	0,20	0,22	1,90	1,50	0,09	2,22	0,53	0,09
610	0,28	0,29	1,80	1,60	0,07	1,93	0,85	0,17
3177	0,16	0,26	1,76	2,09	0,06	2,04	0,38	0,04
I069	0,20	0,26	1,89	1,93	0,11	2,11	0,74	-
37	0,16	0,35	1,94	3,04	0,02	0,94	0,62	0,08
54	0,16	0,28	1,60	2,31	0,03	1,73	0,84	0,09
60	0,14	0,50	1,86	2,56	0,02	1,56	0,12	0,11
544	0,10	0,24	1,66	2,26	0,04	1,76	0,73	0,21
3004	0,16	0,26	1,86	2,32	0,05	1,74	0,37	0,04
3019	0,16	0,32	1,66	2,50	0,05	1,40	0,42	0,08
3045	0,16	0,28	1,76	2,28	0,05	1,65	0,50	0,05
3070	0,14	0,58	1,75	2,94	0,02	0,88	0,43	0,07
3097	0,11	0,04	1,92	2,23	-	1,29	0,69	0,22
3358	0,08	0,30	1,71	3,00	0,05	1,28	0,53	0,05
3435	0,05	0,31	1,76	2,96	0,05	1,42	0,47	0,05
2/A	0,18	0,60	1,97	2,29	0,03	1,26	0,75	0,05
I/T	0,16	0,28	1,85	2,74	0,03	1,30	0,46	0,26

Al <sup>II</sup>	Al <sup>III</sup>	Si	Tl <sup>II</sup>	Fe <sup>+3</sup>	OH	Парагенезисы
0,39	1,48	6,52				Por+Би+Пл+Кв
	7,75	5,55				Por+Пл+Эп+СФ
0,47	1,16	6,84	-	-	1,24	Por <sub>43</sub> +Пл+СФ+Эп
0,35	1,05	6,95	-	-	1,07	Por <sub>40</sub> +Пл+Би
0,33	1,60	6,40	-	-	0,74	Por <sub>54</sub> +Пл+Би
0,24	0,94	7,06	-	-	1,20	Por <sub>44</sub> +Пл+Би+Кв
0,60	0,60	7,40	-	-	2,82	Por <sub>46</sub> +Пл+Би
0,42	0,90	7,10	-	-	2,44	Por <sub>47</sub> +Кум+Пл+Би+Кв
0,30	1,41	6,59	-	-	1,06	Por <sub>47</sub> +Кум+Пл+Би+Кв
0,70	1,29	6,71	-	-	2,06	Por <sub>57</sub> +Би+Пл+Пл
0,48	0,72	7,28	-	-	2,70	Por <sub>44</sub> +Би <sub>47</sub> +Пл+Кв
0,44	1,25	6,75	-	-	2,34	Por <sub>43</sub> +Пл+Би+Кв
0,48	1,20	6,80	-	-	2,60	Por <sub>48</sub> +Би+55+Пл
0,57	0,74	7,26	-	-	1,96	Por <sub>51</sub> +Би <sub>57</sub> +Пл+СФ
0,36	0,99	7,01	-	-	2,42	Por <sub>48</sub> +Би <sub>57</sub> +Пл
	1,36	6,58	0,06	-	3,07	Por <sub>43</sub> +Пл+Би
0,56	1,07	6,93	-	-	1,76	Por <sub>65</sub> +Би <sub>62</sub> +Пл <sub>25</sub> +Кв
0,37	1,56	6,44	-	-	2,32	Por <sub>63</sub> +Би+Пл+Кв
0,37	0,86	7,14	-	-	2,86	Por <sub>53</sub> +Би <sub>60</sub> +Пл <sub>42</sub> +Кв
	1,38	6,50	0,09	0,03	0,50	Por <sub>61</sub> +Би <sub>66</sub> +Пл <sub>40</sub> +Кв
0,39	1,31	6,69	-	-	1,20	Por <sub>34</sub> +Нир+Би+Пл <sub>47</sub> +Ким
	1,63	6,33	0,04	-	0,70	Por <sub>52</sub> +Пл <sub>48</sub> +Би+Кв
0,62	1,34	6,66	-	-	2,68	Por <sub>39</sub> +Пл+Кв
	1,68	6,28	0,04	-	0,62	Por <sub>52</sub> +Пл+Би
0,47	1,05	6,95	-	-	2,08	Por <sub>48</sub> +Пл+Кв
0,56	0,84	7,16	-	-	2,28	Por <sub>42</sub> +Би+Пл+Кв
0,47	1,15	6,85	-	-	1,93	Por <sub>48</sub> +Би <sub>49</sub> +Пл
0,55	1,65	6,35	-	-	2,40	Por <sub>31</sub> +Нир+Пл
0,67	1,19	6,81	-	-	1,43	Por <sub>47</sub> +Би+Пл+Кв
0,09	1,41	6,59	-	-	2,38	Por <sub>38</sub> +Би+Пл+Кв
0,04	0,88	7,12	-	-	1,80	Por <sub>39</sub> +Би <sub>46</sub> +Пл+Кв+Ким
0,61	1,11	6,89	-	-	2,02	Por <sub>47</sub> +Би+Пл
0,21	1,49	6,51	-	-	1,60	

Таблица 3

№ образ.	$SiO_2$	$TiO_2$	$Al_2O_3$	$Fe_2O_3$	$FeO$	$MnO$	$MgO$	$CaO$	$Na_2O$	$K_2O$	$H_2O^-$	$H_2O^+$	Сумма
3418	43,88	0,65	15,37	4,82	16,70	0,35	4,00	10,26	1,10	0,50	0,14	2,38	100,15
3419	44,00	0,52	14,18	4,19	17,56	0,42	4,40	10,26	1,30	0,50	0,14	2,58	100,05
855	42,58	0,86	10,26	9,86	21,06	0,62	1,64	10,01	0,68	0,96	0,46	0,68	99,67
52	38,07	4,01	13,44	5,50	21,24	0,65	5,97	8,16	0,85	1,16	0,49	0,44	99,98
330	41,69	0,41	8,28	8,10	18,18	0,50	7,08	11,43	1,03	1,72	0,36	0,69	99,47

Примечание. 3418, 3419 – амфиболит, р. Квадаура, 355 – метасоматический гранитoid р. Квадаура, 52 – калишпатовый гранит, р. Черкхеви, 330 – амфиболит, р. Рикотула (анализ 340).

Заметка о работе Хмаладзе, 1967).

Аналитики. Л.М. Расишвили, Н.Д. Джабуа, Б.В. Кобиашвили, Г.Н. Тархнишвили.

Таблица 4

№ образ. №	$K$	$Mg$	$Ca$	$Mg$	$Mn$	$Fe^{+2}$	$Fe^{+3}$	$Ti$	$Al^{+3}$	$Al^{+4}$	$Si$	$Ti^{+4}$	Парагенезис
3418	0,08	0,32	1,67	0,090	0,04	2,10	0,54	0,07	1,35	1,39	6,61	-	2,34
3419	0,08	0,36	1,67	0,99	0,05	2,22	0,47	0,05	1,20	1,33	6,67	-	2,54
855	0,20	0,21	1,70	0,39	0,08	2,80	0,94	0,09	0,70	1,23	6,77	-	0,73
52	0,24	0,26	1,38	1,31	0,08	2,62	0,60	0,38	-	2,32	5,62	0,06	0,46
330	0,33	0,30	1,89	1,64	0,06	2,35	0,95	-	1,50	6,45	0,05	0,74	
Сумма		100,11	100,08										

Кристаллохимические формулы сине-зеленых роговых обманок Дзирульского выступа

21

Куммингтониты характеризуются высоким содержанием  $SiO_2$  – от 51,05 до 54,07%. Содержание  $CaO$  – 0,63–3,00% (табл. 5 и 6). Железистость куммингтонита лежит в пределах 44–56.

Минеральные парагенезисы и расчеты палеотемператур образования роговообманковых и куммингтонитовых парагенезисов амфиболитов и метабазитов свидетельствуют о их формировании в высокотемпературной части амфиболитовой фации.

Для куммингтонитов содержащих парагенезисы получены наиболее высокие температуры (табл. 7)..

Актинолит, пользующийся незначительным распространением, обычно является продуктом замещения роговой обманки или куммингтонита при ретроградном преобразовании пород. Минеральные парагенезисы актинолитов содержащих амфиболитов и метабазитов – Акт+Би+Пл+Кв; Акт+Би+Пл+Кв+Сф; Акт+Би+Пл+Кв+Мт.

Состав актинолитов приведен в табл. 8 и 9, а на рис. 8 нанесены парагенезисы и состав актинолитов и ассоциирующихся с ними биотитов.

Таблица 5

Химический состав куммингтонитов Дзирульского выступа

Окислы	772	773	II9 <sup>X</sup>	3018/1 <sup>X</sup>	3018/2 <sup>X</sup>	3018/3 <sup>X</sup>
$SiO_2$	53,40	54,07	51,03	51,20	50,21	52,05
$TiO_2$	0,19	0,31				
$Al_2O_3$	3,57	3,06	1,61	4,07	1,42	1,60
$Fe_2O_3$	5,84	6,71	29,51	26,49	31,51	30,00
$FeO$	16,20	16,72				
$MnO$	0,43	0,43				
$MgO$	15,00	15,21	14,16	15,04	13,04	13,02
$CaO$	3,00	1,72	0,70	0,71	0,63	0,70
$Na_2O$	0,20	0,20				
$K_2O$	0,20	0,20				
$H_2O^-$	0,10	0,10				
$H_2O^+$	1,98	1,45				
Сумма	100,11	100,08	97,01	97,51	97,81	97,37

Примечание. 772, 773 – измененные амфиболиты, сел. Личи; 3018/1<sup>X</sup>, 3018/2<sup>X</sup>, 3018/3<sup>X</sup> – амфиболиты р. Дзирула; II9<sup>X</sup> – амфиболит, Рикотский перевал.

Аналитики: Н.Д. Джабуа, Т.А. Абуладзе.

Таблица 9

# обр.	$K$	$Mg$	$Ca$	$Mg$	$Mn$	$Fe^{+2}$	$Fe^{+3}$	$Ti$	$\mathcal{M}'''$	$\mathcal{M}'''$	$Si$	$OH$	Парагенезис
805	0,02	0,09	1,35	3,18	0,06	1,61	0,27	0,03	0,38	0,20	7,80	0,48	Агр37+Би4,3+Лл+Кв
791	0,05	0,09	1,69	2,66	0,05	1,97	0,10	0,03	0,33	0,34	7,66	2,05	Агр44+Би+Лл+Кв+Мг
792	0,09	0,09	1,70	3,02	0,05	1,24	0,07	0,01	0,75	0,12	7,88	2,61	Агр30+Би4,2+Лл+Кв
489/90	0,09	0,16	1,75	2,82	0,05	1,87	0,51	0,09	-	0,68	6,98	0,94	Агр46+Би+Лл+Кв+Сер
II05	0,09	0,14	2,13	2,08	0,04	1,62	0,25	0,10	0,54	0,32	7,68	2,46	Агр47+Би4,9+Лл+Кв
3368	0,06	0,26	1,66	2,79	0,07	1,65	0,24	0,03	0,22	0,76	7,24	2,29	Агр40+Би+Лл+Кв

Примечание. 805 – метабазит; 791, 792 – амфиболит; 489/90 – амфиболовый перевал; 791, 792 – амфиболит; 3368 – магнабор, р. Рикотула.  
Авторы: С. Чаловани, Н. Д. Жебру, Б. В. Коньиншвили

# обр.	$K$	$Mg$	$Ca$	$Mg$	$Mn$	$Fe^{+2}$	$Fe^{+3}$	$Ti$	Геологические термометры, °C			
									Гранат-биотит-биотит	Гранат-куммингтонит-куммингтонит	Гранат-куммингтонит	Гранат-куммингтонит-куммингтонит
119 <sup>x</sup>	Кум54+Рог+Би62+Гр94+Ил	650							610			650
3018/1 <sup>x</sup>	Кум50+Рог+Би50+Гр91+Ил	620							615			590
3018/2 <sup>x</sup>	Кум58+Рог+Би62+Гр80+Ил	720							690			720
3018/3 <sup>x</sup>	Кум56+Рог+Би61+Гр77+Ил	715							700			630

Температура формирования минеральных парагенезисов с куммингтонитом

Таблица 7

## Христаллогенные формулы куммингтонитов Дзирульского выступа

Таблица 6

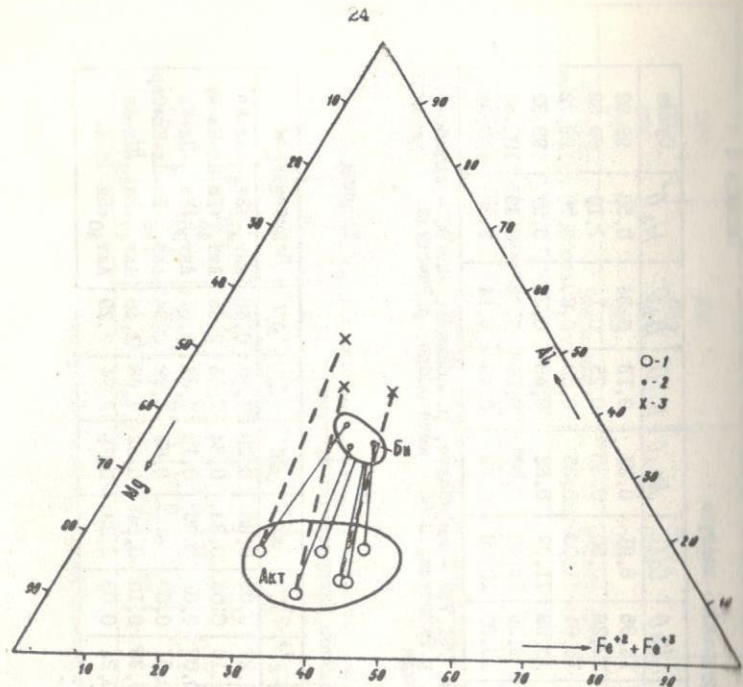


Рис.8. Парагенезисы и составы актинолитов и ассоциирующих с ними биотитов.  
1 - актинолит; 2 - биотит; 3 - порода.

В нижнепалеозойской метаморфической свите (фильты) актинолит формируется в прогрессивной стадии регионального метаморфизма. Здесь выделяются отдельные пачки актинолитовых сланцев с парагенетической ассоциацией Акт+Ab+Sp+Эп+Кв, принадлежащей зеленосланцевой фации метаморфизма низкого давления.

#### БИОТИТЫ

В палеозойских породах Дзириульского выступа биотит, являющийся наиболее распространенным железо-магнезиальным минералом, встречается в различных парагенезисах. Обычно он представлен чешуями коричневого и реже зеленого цвета. В нижнепалеозойской свите биотит преимущественно зеленый.

В богатых CaO породах – останцах амфиболитов и метабазитов биотит играет подчиненную роль. Он всегда находится в парагенезисе с амфиболом и реже с гранатом и пироксеном.

Биотит широко распространен в кристаллических сланцах и гнейсах. В этих метаморфитах за счет биотита часто развивается силлманит, но нередко наблюдается и обратное взаимоотношение этих минералов. Различаются следующие разновидности пород: гранат-слюдяные, силлманит-слюдяные, гранат-андалузит-силлманит-биотитовые, гранат-кордиерит-слюдяные, гранат-шипинель-биотитовые, реже гранат-турмалин-слюдяные.

В гнейсовидных кварцевых диоритах и их микроклинизированных разностях, пользующихся в Дзириульском выступе господствующим распространением, содержание биотита часто достигает 30–35%. В них, наряду с новообразованиями биотита, вероятно присутствует и реликтовый биотит, унаследованный от пород субстрата – кристаллических сланцев и гнейсов. Нередко наблюдается неравномерное распространение биотита в породе. Он замещается хлоритом, мусковитом и магнетитом.

Как известно, по изменчивости состава биотитов можно определять условия (температуру, давление водяных паров, парциальное давление кислорода и воды, щелочность среды, степень метаморфизма и др.), при которых возник этот минерал.

Возрастание активности железа (и, следовательно, снижение активности магния) ведет к увеличению содержания  $TiO_2$  в биотите (Шенгелиа, 1972). Подобная корреляционная зависимость наблюдается и в большинстве биотитов из палеозойских пород Дзириульского выступа.

В некотором исключением биотиты раннегерцинских гранитоидов, а также часть биотитов кристаллических сланцев и гнейсов характеризуются более высоким содержанием  $TiO_2$  и проявляют тенденцию к возрастанию содержания  $TiO_2$  с возрастанием железистости (рис.9). Другая часть биотитов гнейсов и кристаллических сланцев, как и биотиты амфиболитов и метабазитов, характеризуются низким содержанием  $TiO_2$ . Для биотитов из микроклинизированных гранитоидов наблюдается равномерный разброс фигуративных точек.

На рис.10 хорошо выражена прямо пропорциональная зависимость между железистостью биотита и породы, а на рис.4 – между железистостью биотита и амфибола.

Как известно, биотит чутко реагирует на любые изменения внешних условий минералообразующей среды. Большой интерес в этом отношении представляет анионная часть биотита, в которой вместе с гидроксильной группой принимают участие галогениды, в основном фтор, замещающий OH группу. Приведенные немногочисленные аналитические данные свидетельствуют о довольно низком содержании фтора в биотитах из различных кристаллических пород Дзириульского выступа (табл. 10), что, по мнению Г.Л. Одикашвили (1967), обусловлено общей геохимической обособленностью данного региона.

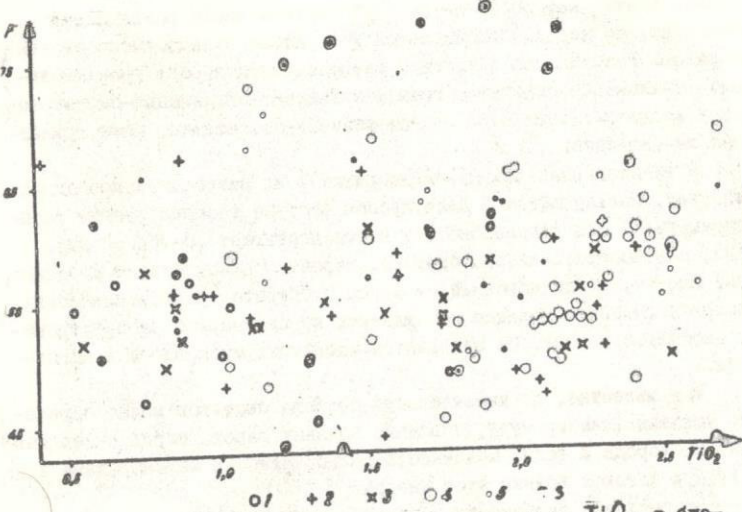


Рис.9. Соотношение между железистостью и  $TiO_2$  в биотитах:  
 1 - биотит из амфиболитов и метабазитов; 2 - биотит из кристаллических сланцев; 3 - биотит из гнейсов; 4 - биотит из гнейсовых кварцевых диоритов; 5 - биотит из метасоматических гранитоидов и мигматитов.

Таблица 10

Среднее содержание фтора<sup>x</sup> в биотитах из различных кристаллических пород Дзиурульского выступа

Порода	Среднее содержание, %	Число анализов
Кристаллические сланцы и гнейсы	0,232	4
Гнейсовые кварцевые диориты	0,183	6
Микроклинизированные гранитоиды	0,155	6
Калишпатовые гранитоиды	0,233	3

<sup>x</sup> Определение фтора проведено в геохимическом отделе Геологического института АН ГССР аналитиками М.Ш.Мачавариани и Э.А.Кобахидзе

Как видно из табл.10, наименьшим содержанием фтора характеризуются биотиты из микроклинизированных гранитоидов, что, по мнению Д.М.Шенгелии (1972), обусловлено подчиненной ролью фтора, как наиболее кислотного минерализатора, в процессе микроклинизации, протекающем в щелочной среде.

В большинстве случаев с возрастанием общей железистости био-

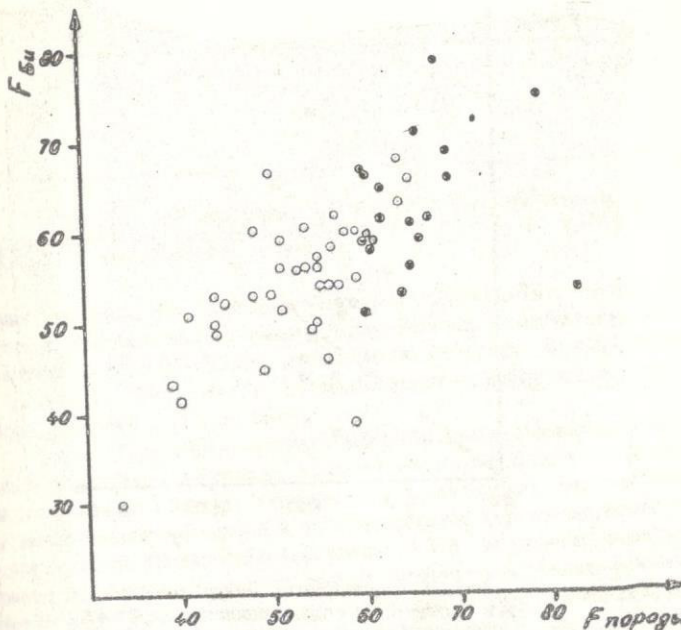


Рис.10. Соотношение между железистостью биотитов и железистостью материнских пород

тита увеличивается и содержание в нем фтора. В случае же биотитов из микроклинизированных пород такой закономерности не наблюдается (рис.11).

Поскольку по изменчивости состава биотитов можно определить термодинамические условия, в которых возник этот минерал, особенности состава биотитов и биотитсодержащие парагенезисы различных кристаллических пород заслуживают подробного рассмотрения.

#### Биотиты из амфиболитов, метабазитов и габбро

В данных породах наблюдаются однообразные биотитсодержащие парагенезисы - Би+Рог+Пл, Би+Рог+Пл+(Кв, Кпш, Сф, Эп), Би+Акт+Пл+Кв, сравнительно редко встречается Би+Рог+Кум+Пл и еще реже Би+Рог+Кум+Гр+Пл.

Химический состав, кристаллохимические формулы и особенности состава биотитов приведены в табл.11-13 и рис.12 и 13.

Глиноземистость и железистость биотита этих пород почти по-

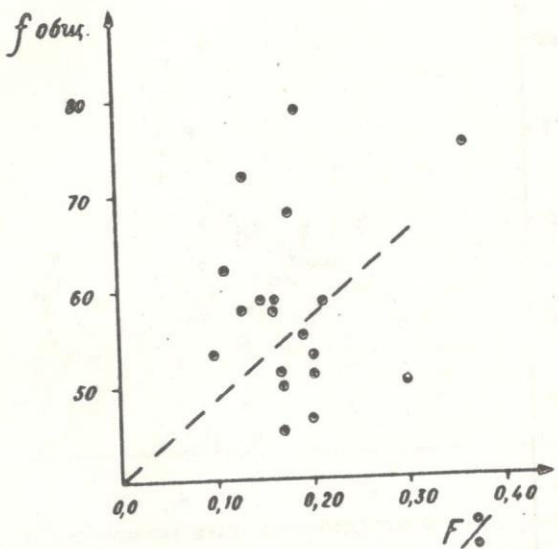


Рис. II. Соотношение между железистостью биотитов и содержанием в них фтора

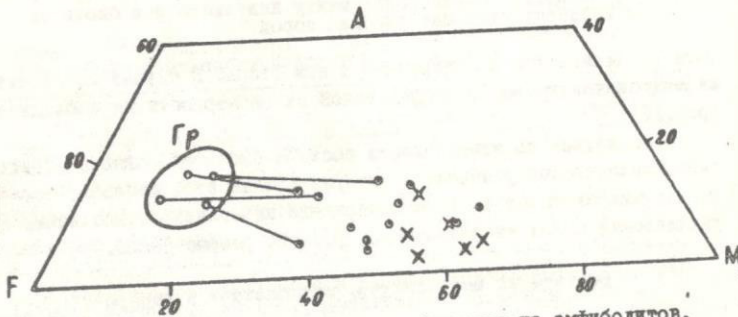


Рис. I2. АФМ диаграмма для биотитов из амфиболитов, метабазитов и габбро. Здесь и далее:  $A = (Al_2O_3 + K_2O + CaO + Na_2O + FeO + MgO)/Al_2O_3 + Na_2O + K_2O + CaO + FeO + MgO$ ,  $M = MgO/(MgO + FeO)$ ,  $F = FeO/(MgO + FeO)$  в мол. кол. Условные обозначения: о - биотит из амфиболитов, х - биотит из габбро

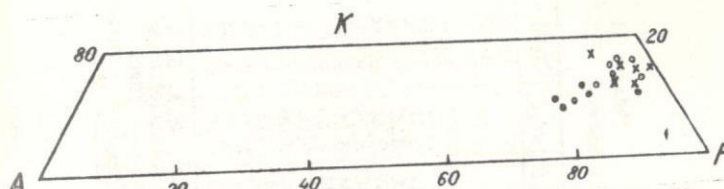


Рис. I3. АКФ диаграмма для биотитов из амфиболитов, метабазитов и габбро. Здесь и далее:  $A = Al_2O_3 + K_2O + CaO$ ,  $K = K_2O$ ,  $F = FeO + MgO + Na_2O$ , в мол. кол.

тогии (см. табл. I3). Сравнительно высокоглиноземистые биотиты известны в куммингтонитсодержащих парагенезисах. Железистость породы и биотита меняется примерно в одинаковых пределах. На АКФ диаграмме (см. рис. I2) фигурированные точки биотитов из амфиболитов и из габбро попадают в разные поля.

Температура минералообразования Кум-Би-Гр ассоциации определялась по гранат-биотитовым, гранат-амфиболовым и биотит-амфиболовым термометрам (Перчук, Рябчиков, 1976). Интересно, что температуры, вычисленные для одного и того же образца характеризуются удовлетворительной сходимостью (см. табл. 7 и 13). Исключение составляет образец 3018/3, в котором по гранат-биотитовым и гранат-куммингтонитовым парам получены примерно одинаковые значения температуры – соответственно 715°C и 700°C, а по биотит-куммингтонитовой паре 630°C. Очевидно последняя фиксирует температуру разложения куммингтонита – Кум → Би. Следовательно, в амфиболитах температура биотит-куммингтонитовых парагенезисов довольно высокая и лежит в пределах 610–720°C, что соответствует высокотемпературной части амфиболитовой фации.

#### Биотиты из кристаллических сланцев и гнейсов

Кристаллические сланцы и гнейсы тесно связаны друг с другом – на каждом шагу можно наблюдать их взаимопереходы и чередование. В силу этого биотиты из этих образований рассматриваются нами вместе.

В кристаллических сланцах и гнейсах наиболее часто встречаются ассоциации Би+Пл+Кв и Би+Пл+Гр. Биотит здесь обычно темно-бурый. Гранат альмандинового ряда с содержанием альмандинового компонента в пределах 72–76% и с железистостью 71–93 (см. табл. 36). Местами в ксенолитах обнаруживаются равновесный с биотитом мусковит и силиманит. Последний представлен игольчатыми скоплениями, вытянутыми вдоль сланцеватости. Изредка встречаются крупные кристаллы и шестигранники.

Таблица II  
Химический состав минералов из амфиболитов, метабазитов и габбро Дзирульского выступа

# образ.	$\text{SiO}_2$	$\text{TiO}_2$	$\text{Al}_2\text{O}_3$	$\text{Fe}_2\text{O}_3$	$\text{FeO}$	$\text{MnO}$	$\text{MgO}$	$\text{Ca}$	$\text{MnO}$	$\text{K}_2\text{O}$	$\text{Na}_2\text{O}$	$\text{H}_2\text{O}^{\dagger}$	Сумма
II9/IX	35,83	1,92	18,19	23,71			8,21			8,20			96,06
II8/IX	35,10	2,32	21,14	19,70			13,40			6,90			97,65
II8/IX	36,58	2,29	20,16	18,78			10,42			6,85			94,08
3018/IX	36,81	1,70	20,11	24,85			8,40			6,90			98,42
3018/IX	35,11	1,92	19,10	25,03			9,07			6,90			97,13
3018/IX	35,18	1,20	15,71	8,98			12,56			0,20			99,88
805	35,83	1,40	17,22	9,74	8,31	0,34	12,74	0,80	0,20	2,12	3,10	3,27	99,96
792	34,79	1,78	16,33	5,88	6,30	0,28	12,46	0,16	0,06	7,14	2,44	2,44	99,34
II105	36,45	1,05	15,28	5,75	6,02	0,19	10,20	0,67	0,20	7,20	0,40	3,14	99,82
3074	36,45	1,25	15,18	14,68	5,75	0,21	12,55	1,12	0,30	7,00	1,34	3,10	99,66
3323/28	37,48	1,02	15,65	11,62	11,70	0,14	11,70	1,14	0,22	6,86	1,36	4,20	99,62
48/A	35,91	0,90	14,53	11,45	11,96	0,28	10,30	1,16	0,25	5,82	1,12	5,82	100,12
51/A	35,59	0,65	16,00	7,47	16,92	0,24	9,04	1,16	0,03	0,92	0,86	3,06	99,63
52/A	36,70	1,12	15,47	5,62	14,40	0,25	11,46	0,97	0,30	7,30	1,24	3,88	99,71
3045	36,50	1,15	13,60	6,77	13,20	0,21	11,90	1,15	0,40	7,80	0,40	4,00	99,68
3172	39,06	1,07	13,09	13,88	6,33	0,28	12,40	0,90	0,30	8,00	0,94	3,84	100,09
3435	39,06	1,42	16,70	9,71	9,18	0,21	9,52	0,40	0,70	8,50	1,46	4,78	99,58
47/A													

Примечание. II9/IX и II8/IX – амфиолиты, Рикогский перевал; 3018/IX – амфиолиты, Рикогский перевал; 3018/28 – амфиолиты, ущ. р. Рикогула; 792 – мегабазиты ущ. р. Рикогула; 3074, 3323/28 – метаплагиазы субиси-лит ущ. р. Одананаевы; II105 – амфиболиты ущ. р. Рикогула; 3045, 51/A – габбро; 3172 – габбро-диорит ущ. р. Дзирула; 48/A – габбро-диорит ущ. р. Дзирула; (анализы 48/A, 51/A, 52/A, 47/A за-местированы из работы М.Б. Абесадзе и Г.К. Чимакурдзе, 1975).

Аналитики:

Н.Д. Давоева, Г.Н. Гарашинцева, В.А. Чаганышвили.

Таблица II

# образ.	$\text{SiO}_2$	$\text{Al}_2\text{O}_3$	$\text{Fe}^{+3}$	$\text{MgO}$	$\text{Fe}^{+2}$	$\text{MnO}$	$\text{Fe}^{+3}$	$\text{Ca}$	$\text{MnO}$	$\text{K}_2\text{O}$	$\text{Na}_2\text{O}$	$\text{OH}$	
II9/IX	2,77	1,23	0,94	1,53	0,42	0,11	0,07		0,81				
II9	2,52	1,48	1,44	1,18	0,31		0,07		0,64				
3018/IX	2,77	1,23	1,17	1,19	0,57		0,07		0,81				
3018/28	2,71	1,29	0,92	1,52	0,45		0,09		0,61				
3018/3	2,63	1,37	1,02	1,56	0,31		0,11		0,66				
805	2,84	1,16	1,42	0,63	0,24	0,51	0,07	0,02	0,76	0,03	0,06	1,58	
792	2,72	1,28	1,43	0,55	0,25	0,55	0,08	0,03	0,76	0,03	0,07	1,64	
II105	2,71	1,29	1,45	1,05	0,22	0,37	0,10	0,01	0,72	–	0,01	1,28	
3074	2,80	1,20	1,20	1,03	0,17	0,40	0,06	0,01	0,70	0,06	0,22	1,60	
3323/28	2,81	1,19	1,36	0,36	0,16	0,83	0,06	0,01	0,66	0,04	0,09	1,54	
48/A	2,72	1,28	1,16	0,74	0,11	0,70	0,02	0,01	0,66	0,02	0,09	2,12	
51/A	2,65	1,29	0,06	1,02	0,82	–	0,47	0,05	0,02	0,76	0,04	0,15	2,92
52/A	2,77	1,23	1,14	1,10	0,24	0,43	0,03	0,01	0,78	0,02	0,08	1,58	
3045	2,78	1,22	1,30	0,91	–	0,32	0,06	0,02	0,80	0,04	0,08	1,96	
3172	2,88	1,12	1,33	0,83	0,08	0,39	0,06	0,01	0,76	0,06	0,14	2,00	
3435	2,90	1,10	1,37	0,37	0,04	0,77	0,06	0,02	0,78	0,04	0,07	1,90	
47/A	2,78	1,22	1,05	0,57	0,25	0,55	0,06	0,01	0,80	0,10	0,03	2,36	

Таблица II

Таблица I3

Особенности состава биотитов из амфиболитов, метабазитов и габбро Дзирильского выступа

% обр.	$F$	$\frac{Fe^{+2}}{Mg}$	$\alpha$	$f_{\text{пород}}$	$T^{\circ}\text{C}$	$T^{\circ}\text{C}$	Парагенезис
II9/1	62	1,62	40		650 (Tr+By)	650 (By+Kum) 650 (By+ $T_D$ )	Би62+Кум54+Гр84+Рог+Дл
II9/2	45	0,82	40		620 (Tr+By)	590 (By+Кум)	Би45+Кум+Рог+Гр+Дл
3018/1*	50	1,01	43		720 (Tr+By)	720 (By+Кум)	Би50+Кум50+Гр80+Рог+Дл
3018/2*	62	1,66	42		715 (Tr+By)	630 (By+Кум)	Би62+Кум58+Гр80+Рог+Дл
3018/3*	61	1,54	39	39			Би61+Кум56+Гр77+Рог+Дл
805	45	0,44	35				Би45+Рог+Акт+Дл+Кв
792	43	0,36	38	40			Би43+Рог+Акт+Дл+Кв
1105	49	0,72	34				Би49+Акт47+Дл+Кв
3074	55	0,88	34				Би55+Рог57+Дл
3323/28	47	0,26	35				Би47+Рог44+Дл+Кв
48/A	55	0,64	35				Би55+Рог48+Дл
51/A	57	0,80	35				Би57+Рог51+Дл+Сф
52/A	57	0,97	35				Би57+Рог48+Дл
3045	49	0,79	35	55			Би49+Рог48+Дл
3172	48	0,62	32				Би48+Рог39+Дл+Кшп+Кв
3435	46	0,29	31				Би46+Рог39+Дл+Кшп+Кв
47/A	51	0,54	40				Би51+Рог+Дл+Кв+Кшп

В отдельных случаях совместно с биотитом наблюдаются кордиерит либо кордиерит с гранатом и силиманином и очень редко шинель, андалузит и турмалин. Отмечаются парагенезисы Би+Му+Кор+Дл+Кв, Би+Кор+Сил+Кв+Дл+Му, Би+Гр+Сил+Анд+Дл+Кв, Би+Гр+Шп+Дл, Би+Кор+Гр+Сил+Шп+Дл, Би+Му+Гр+Тур+Кв+Дл.

Химический состав, кристаллохимические формулы и некоторые особенности состава биотитов из кристаллических сланцев и гнейсов приведены в табл. I4-22, результаты анализа - на рис. I4-21.

В тех гнейсах и кристаллических сланцах, где в парагенезисе минералов единственным железо-магнезиальным силикатом является биотит, наблюдается следующая картина: железистость биотита, за исключением единичных образцов, меняется в узком интервале 51–61 и не отличается от таковой породы (см. табл. I6). В двух образцах (223 и 3443) железистость и соотношение  $Fe^{+2}/Mg$  довольно низки – соответственно 30–36 и 32–30. В остальных образцах величина  $Fe^{+2}/Mg$  меняется в интервале 0,43–1,09. Железистость биотита в парагенезисе с гранатом и другими железо-магнезиальными минералами (см. табл. 22) меняется в пределах 50–67, глиноземистость – 36–44, а величина  $Fe^{+2}/Mg$  за некоторым исключением лежит в пределах 0,71–1,35. Величина железистости породы приближается к железистости биотита, либо выше нее, что объясняется количественной ролью граната.

Температура минералообразования в кристаллических сланцах и гнейсах определена графитовым и гранат-биотитовым термометрами. Для графитсодержащих гранат-кордиерит-силлманитовых сланцев р. Квадаура температура минералообразования установлена 600–650 $^{\circ}\text{C}$  (Хмаладзе, 1978). По гранат-биотитовому термометру в гнейсах и кристаллических сланцах фиксируется как низкотемпературный режим амфиболитовой фации порядка 520–550 $^{\circ}\text{C}$  (см. табл. 22, образцы 828 и 376), так и высокотемпературный – 650–700 $^{\circ}\text{C}$  (см. табл. 22, обр. 31/К, 514/А и 628/А).

На основании экспериментальных данных Р. Ньютона (1966) и С. Ричардсона и их соавторов (1969) давление прогрессивного регионального метаморфизма для биотитсодержащих парагенезисов кристаллических сланцев и гнейсов Дзирильского выступа оценено примерно в 2–2,5 кбар.

#### Биотиты из гнейсовых кварцевых диоритов

Как уже отмечалось, среди гнейсовых кварцевых диоритов наиболее распространены биотитовые разности. В роли главного минерала роговая обманка, как и мусковит, встречается редко. Мусковит обычно возникает в постмагматической стадии. В единичных случаях устанавливается равновесный с биотитом гранат. В табл. 23–25 даны химический состав, кристаллохимические формулы и особенности состава биотитов

Таблица 15

№ обр.	$S_{\text{c}}$	$\text{Mg}^{+2}$	$\text{Fe}^{+3}$	$\text{Fe}^{+2}$	$\text{Mg}$	$Fe^{+4}$	$\text{Fe}^{+3}$	$\text{Mn}$	$K$	$Mg$	$Ca$	$OH$
K/18	2,73	1,27	-	1,05	0,85	0,51	0,42	0,02	0,83	0,03	0,06	1,57
223	2,72	1,28	-	2,02	0,64	0,14	0,26	0,06	0,01	0,78	0,04	1,54
3022	2,80	1,20	-	1,35	0,86	0,09	0,33	1,11	-	0,62	0,06	0,17
3168	2,75	1,25	-	1,00	0,95	0,15	0,47	0,12	0,02	0,80	0,02	0,08
3060	2,81	1,19	-	1,11	0,87	0,22	0,45	0,06	0,02	0,68	0,04	0,10
3063	2,79	1,21	-	1,33	0,66	0,22	0,39	0,08	0,01	0,83	0,02	0,04
3168	2,77	1,23	-	1,50	0,51	0,29	0,38	0,06	0,01	0,88	0,04	0,03
3443	2,64	1,36	-	1,00	0,69	0,16	0,56	0,05	0,02	0,82	0,10	0,03
550/A	2,55	1,45	-	0,97	0,59	0,14	0,64	0,05	0,01	0,72	0,02	0,08
761/A	2,67	1,33	-	1,16	0,50	0,31	0,59	0,06	-	0,82	0,22	0,03
821/A	2,58	1,42	-	1,03	0,57	0,20	0,63	0,08	-	0,78	0,10	0,02
923/A	2,52	1,44	0,04	0,99	0,67	-	0,57	0,13	0,03	0,76	0,02	0,07
963/A	2,63	1,37	-	1,06	0,73	0,29	0,57	0,04	0,01	0,76	0,02	*0,08
											0,02	2,02

Кристаллохимические формулы биотитов из кристаллических сланцев Дзирульского выступа

Таблица 14

№ обр.	$S_{\text{c}}$	$T_{\text{O}_2}$	$Mg_{\text{O}}$	$Fe_{\text{O}}$	$Fe_{\text{O}}$	$Mg_{\text{O}}$	$Mg_{\text{O}}$	$Ca_{\text{O}}$	$Mg_{\text{O}}$	$Ca_{\text{O}}$	$H_2O^-$	$H_2O^+$	Сумма
K/18	35,70	1,60	19,70	7,31	12,21	0,28	9,25	0,67	0,20	8,50	1,54	3,06	100,02
223	36,13	1,13	16,01	4,60	10,22	0,26	18,06	-	0,10	8,11	1,59	3,09	99,31
3022	37,42	2,10	14,61	5,67	13,68	0,10	12,05	2,16	0,44	6,48	1,14	4,04	99,89
3060	35,45	2,13	15,31	8,01	14,58	0,35	8,68	1,02	0,32	8,20	1,93	3,82	99,90
3063	36,95	1,10	15,83	7,79	13,68	0,28	9,84	1,25	0,32	7,03	1,83	3,92	99,82
3168	37,30	1,55	16,20	6,91	10,65	0,22	11,95	0,55	0,20	8,70	1,45	3,70	99,88
3443	37,22	1,07	17,34	6,81	8,20	0,25	13,52	0,46	0,35	9,20	1,64	3,84	99,90
550/A	35,09	0,95	17,12	9,89	11,00	0,21	8,90	0,40	0,60	8,50	1,98	5,22	99,86
745/A	34,25	0,88	18,09	11,45	9,54	0,14	8,73	1,03	0,22	7,61	1,84	5,76	99,54
761/A	34,50	1,02	17,90	10,03	7,70	0,14	10,00	0,40	1,40	8,40	4,50	3,80	99,79
821/A	33,11	1,38	17,60	10,89	8,70	0,10	8,90	0,30	0,70	7,90	5,40	4,69	99,67
923/A	33,81	2,30	16,39	10,83	10,80	0,28	8,87	0,92	0,20	7,90	1,80	6,00	100,1
963/A	34,65	0,85	18,61	9,90	11,52	0,17	9,39	1,03	0,11	7,78	1,68	3,98	99,67

Примечание. K/18 - кристаллический сланец, р. Хелмсмула; 223 - кристаллический сланец, р. Риготула;

3022 - кристаллический сланец, с. Проса; 3060, 3063 - кристаллический сланец, р. Геарула;

3168 - кристаллический сланец (меланосит, матматит), р. Сакоула; 3443 - кристаллический

сланец, с. Бельеви; 550/A - кристаллический сланец, р. Дириула; 745/A - кристаллический

сланец, р. Кашлаура; 923/A - кристаллический сланец, р. Мечхетура; 963/A - кристаллический

сланец, р. Запшевура. (Анализы 550/A - 963/A - замкнуты из работы М.Б. Абесадзе и

Шакуришвили, 1975). Анализы: Н.Д. Джабуа, Г.Н. Гаринчимили, В.А. Чхатилишвили.

Таблица 16

Особенности состава биотитов из кристаллических сланцев  
Дзирульского выступа

№ обр.	F	$F_{\text{Fe}}^{+2}/Mg$	a	F породы	Парагенезис
K/18	55	0,81	45		Би <sub>55</sub> +Му+Кв+Пл+Кпш
223	30	0,32	32	34	Би <sub>30</sub> +Му+Сил+Пл+Кв
3022	47	0,64	34		Би+Кв+Пл
3060	58	0,95	37		Би <sub>58</sub> +Пл+Кв+Кпш
3063	54	0,79	37		Би <sub>54</sub> +Пл+Кв
3168	44	0,50	37		Би <sub>44</sub> +Пл+Кв
3443	37	0,34	39		Би <sub>37</sub> +Кв+Пл
550/A	56	0,69	40	54	Би <sub>56</sub> +Му+Пл+Кв
745/A	56	0,61	42		Би <sub>56</sub> +Пл+Кв
761/A	48	0,43	42		Би <sub>48</sub> +Пл+Кв
821/A	54	0,55	42		Би <sub>54</sub> +Му+Пл+Кв
923/A	56	0,68	39	55	Би <sub>56</sub> +Му+Пл+Кв
963/A	55	0,69	41		Би <sub>55</sub> +Пл <sub>19</sub> +Кв

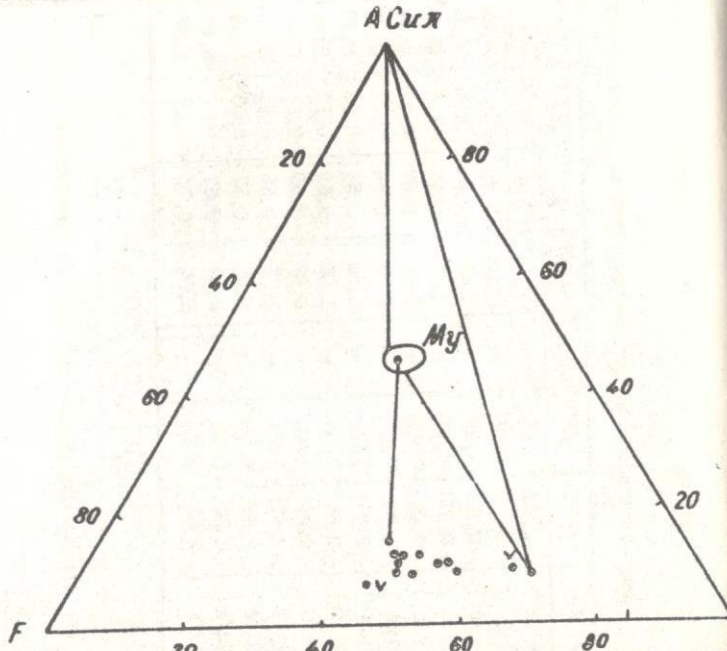


Рис. 14. AFM диаграмма для биотитов из кристаллических сланцев

Таблица 17

№ обр.	SiO <sub>2</sub>	TiO <sub>2</sub>	Al <sub>2</sub> O <sub>3</sub>	Fe <sub>2</sub> O <sub>3</sub>	FeO	MnO	МgO	CaO	Na <sub>2</sub> O	K <sub>2</sub> O	H <sub>2</sub> O <sup>+</sup>	Сумма
K/19	34,92	1,75	18,87	12,61	8,62	0,21	8,69	0,69	0,20	7,90	1,36	4,04
K/27	35,65	1,20	19,55	8,98	9,90	0,30	9,30	0,77	0,40	8,65	1,36	3,86
744	34,90	1,50	19,21	7,43	14,17	0,35	7,66	0,77	0,40	8,45	1,20	3,80
747	33,67	1,80	17,64	12,49	8,45	0,34	10,52	с.л.	0,40	8,52	2,51	3,80
II80	32,69	2,12	17,93	7,81	12,94	0,28	10,03	-	0,10	9,40	2,70	4,01
II83	33,13	2,21	16,12	8,78	13,07	0,28	10,41	-	0,10	9,89	2,46	3,62
44/A	34,29	2,27	16,78	7,83	14,04	0,28	8,21	1,39	0,25	7,90	2,54	4,28
522/A	33,87	1,92	16,87	7,82	14,04	0,10	8,81	0,44	0,70	8,30	1,94	4,80
624/A	33,88	2,22	17,70	6,36	14,20	0,14	8,70	0,40	0,80	8,20	2,45	4,57
751/A	31,35	2,16	17,92	9,74	11,23	0,25	10,72	0,02	0,13	6,99	3,24	5,98
755/A	37,44	0,55	18,95	7,21	12,06	0,21	9,55	1,03	0,22	7,88	0,90	3,78

Примечание. K/19 - двуслюдильный плагиогнейс, Р.Хедмоскула; K/27 - двуслюдильной плагиогнейс; 744, 747 - двуслюдильной силиманитовый гнейс, Р.Сакоуга; II80, II83 - двуслюдильные гнейсы, Р.Дзирулья; 524/A, 751/A - биотитовые гнейсы, Р.Инкеттура. (анализы 44/A, 522/A, 624/A, 751/A, 755/A - заложены ваннами из работы Абесадзе, Чинакуришвили, Г.Н.Тарнишвили, Б.В.Кобашвили, Г.Д.Дзвозда, Г.Н.Читашвили).  
Аналитики: Н.Д.Дзвозда, Г.Н.Тарнишвили, В.А.Читашвили.

Особенности состава биотитов из гнейсов Дзирульского выступа

№ обр.	F	$Fe^{+3}/Mg$	a	F породы	Парагенезис
K/19	55	0,55	43		Би <sub>55</sub> +Му+Пл+Кв
K/27	53	0,62	45		Би <sub>53</sub> +Му+Пл+Кв+Киш
744	61	1,09	44		Би <sub>61</sub> +Му+Сил+Пл+Киш+Кв
747	57	0,45	40		Би <sub>57</sub> +Му+Сил+Пл+Кв
II80	53	0,72	40		Би <sub>53</sub> +Му+Пл+Кв
II83	53	0,70	36		Би <sub>59</sub> +Пл+Кв+Киш
44/A	59	0,96	40	61	Би <sub>58</sub> +Пл+Кв+Киш
522/A	58	0,92	39	60	Би <sub>56</sub> +Му+Пл+Кв+Киш
624/A	56	0,92	41	53	Би <sub>51</sub> +Му+Пл+Кв
751/A	51	0,59	39		Би <sub>52</sub> +Му+Пл+Кв
755/A	52	0,70	43		

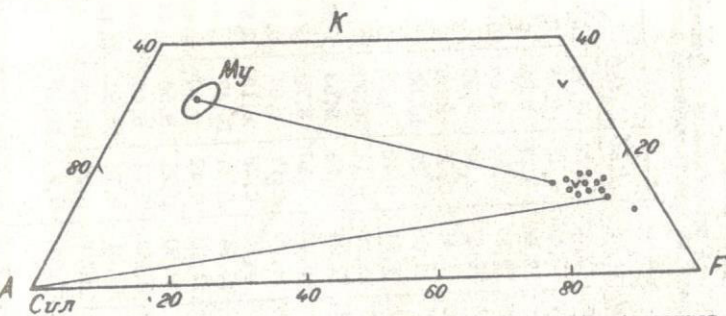


Рис. 15. АКГ диаграмма для биотитов из кристаллических сланцев

из гнейсовых кварцевых диоритов. По результатам анализов составлены диаграммы (рис. 22 и 23). Железистость биотита (см. табл. 25) меняется в пределах 46–65, глиноземистость довольно постоянная – 34–45,  $Fe^{+2}/Mg$  в подавляющем большинстве случаев колебается в интервале 0,70–1,18. Железистость биотитов содержащих пород то больше, то меньше железистости биотита. Железистость тех пород, в которых биотит представлен в парагенезисе с амфиболом или гранатом, всегда несколько превышает таковую биотита, что объясняется содержанием в породе этих минералов.

В гнейсовых кварцевых диоритах температура минералообразования определена по амфибол-плагиоклавовому термометру – 600°C (обр. I069 и 3177) и по гранат-биотитовому термометру – 660°C (обр. II98/99; табл. 25).

Таблица 18

Кристаллохимические формулы биотитов из гнейсов Дзирульского выступа

№ обр.	Si	$Al^{IV}$	$Fe^{+3}$	$Mg$	$Fe^{+2}$	$Al^{VI}$	$Fe^{+3}$	$Fe^{+2}$	$Mg$	$Al$	$Ca$	$OH$
K/19	2,60	1,40	–	1,04	0,54	0,26	0,76	0,11	0,01	0,80	0,03	0,06
K/27	2,69	1,31	–	1,06	0,65	0,42	0,51	0,07	0,02	0,84	0,05	0,06
744	2,68	1,32	–	0,87	0,95	0,40	0,42	0,09	0,03	0,82	0,06	0,06
747	2,58	1,42	–	1,20	0,54	0,17	0,78	0,10	0,02	0,82	0,03	–
II80	2,54	1,46	–	1,16	0,84	0,18	0,45	0,12	0,02	0,94	0,02	–
II83	2,60	1,40	–	1,21	0,86	0,09	0,51	0,13	0,02	0,98	0,02	–
44/A	2,64	1,36	–	0,94	0,90	0,17	0,45	0,13	0,02	0,78	0,04	0,11
522/A	2,60	1,40	–	1,00	0,92	0,12	0,45	0,11	–	0,80	0,10	0,03
624/A	2,60	1,40	–	1,00	0,91	0,21	0,36	0,13	–	0,80	0,12	0,03
751/A	2,37	1,60	0,03	1,20	0,71	–	0,52	0,15	0,01	0,68	0,02	–
755/A	2,79	1,21	–	1,07	0,75	0,45	0,41	0,03	0,01	0,76	0,02	0,08

Примечание. 15/К - кордиеритовый двуслюдянный гнейс, р.Квишила;  
 26/К - кордиеритовый двуслюдянный гнейс, р.Хелмосмула;  
 31/К - гранат-шипель-кордиерит биотитовый гнейс, р.  
 Хелмосмула; 828 - гранат-биотитовый гнейс, р.Черимеда;  
 28 - шпинельсодержащий гранат-биотитовый рестит, р.Са-  
 кубула; 796 - гранат-турмалин-двуслюдянной гнейс, р.Саба-  
 нала; 376 - гранат-биотитовый гнейс, р.Думала; 3427 -  
 гранат-биотитовый кристаллический сланец, р.Квадаура;  
 514/А - двуслюдянный гранатовый кристаллический сланец,  
 р.Сабанела; 554/А и 556/А - гранат-биотитовый кристал-  
 лический сланец, р.Дзирула; 628/А - силиманин-гранат-  
 биотитовый кристаллический сланец, р.Думала; 636/А,  
 638/А - гранат-биотитовый кристаллический сланец, р.  
 Думала; 766/А - гранат-андезит-силлimanит-биотитовый  
 кристаллический сланец, р.Дзирула; 769/А - то же, р.  
 Думала; 1381/А - гранат-двуслюдянный кристаллический  
 сланец, р.Квирила; 753/А - кордиерит-биотитовый гнейс,  
 р.Думала; 754/А - силиманин-кордиерит-биотитовый кри-  
 сталлический сланец, р.Думала; 777/А - силиманин-кор-  
 диерит-двуслюдянной гнейс, р.Думала; 1021/А - гранат-  
 кордиерит-двуслюдянной кристаллический сланец, р.Хелмо-  
 смула. (Анализ 514/А-1021/А заимствован из работы  
 М.Б.Абесадзе и Г.К.Цимакуридзе, 1975).  
 Аналитики. Н.Д.Джабуа, Б.В.Кобишвили, Т.Н.Тархнишви-  
 ли, В.А.Читашвили.

Таблица 20  
Химический состав биотитов (в парамагнитные с гранатом и другими железо-магнезиальными минералами) из кристаллических сланцев и гнейсов

№ обр.	$\Sigma$ О₂	$TiO_2$	$Al_2O_3$	$Fe_2O_3$	$FeO$	$MnO$	$CaO$	$MgO$	$NaO$	$K_2O$	$H_2O$	$H_2O^+$	Сумма
15/К	36,54	1,55	18,87	5,77	13,82	0,28	8,75	0,69	0,20	8,40	1,26	3,70	99,83
26/К	36,33	1,55	19,59	5,48	13,55	0,28	8,67	0,77	0,30	8,90	1,14	3,46	100,02
31/К	36,67	1,75	18,17	6,77	12,66	0,27	9,05	0,77	0,40	8,55	1,37	3,75	100,18
828	35,80	1,22	18,32	7,65	12,57	0,28	9,66	0,67	0,30	8,20	1,26	3,77	99,70
28	33,40	2,30	17,71	9,95	13,61	0,36	7,99	-	0,10	8,97	1,77	3,70	99,86
796	35,22	0,97	19,24	9,90	9,46	0,38	9,36	0,88	0,30	8,50	1,64	4,02	99,87
376	36,26	0,81	20,53	5,17	13,86	0,26	10,50	1,14	0,39	7,58	1,30	2,10	99,90
3427	37,06	0,96	15,96	17,02	5,61	0,43	9,23	0,45	0,90	8,20	1,26	3,24	100,51
514/А	33,50	0,88	18,20	8,63	15,20	0,14	6,30	0,30	0,80	7,70	4,07	4,27	99,89
554/А	33,18	2,27	16,26	8,69	12,24	0,28	9,63	0,92	0,25	8,20	2,12	6,04	100,08
556/А	34,20	1,60	17,20	14,80	9,20	0,10	8,70	0,40	0,50	7,00	2,60	3,37	99,67
628/А	33,36	1,47	17,85	8,58	14,96	0,17	6,64	0,66	0,25	8,00	3,41	4,73	100,08
636/А	34,07	0,42	18,28	16,31	8,10	0,28	6,19	0,57	0,43	6,84	1,80	6,72	100,01
766/А	31,52	2,35	20,80	6,33	13,94	0,44	10,47	-	0,10	7,62	3,16	2,74	99,47
769/А	34,50	1,22	18,60	9,69	11,10	0,42	8,10	0,40	0,80	7,80	2,70	4,80	100,23
1381/А	35,50	1,75	15,58	10,17	9,90	0,21	9,56	0,44	0,70	8,00	1,92	6,22	99,95
753/А	35,88	0,75	18,44	11,35	10,62	0,24	8,48	1,03	0,22	7,30	1,42	4,12	99,85
754/А	33,80	2,00	17,50	7,11	11,34	0,14	10,30	0,40	0,35	7,90	4,31	4,46	99,61
777/А	34,70	2,52	20,58	4,19	14,74	0,20	10,43	0,35	0,06	8,12	1,24	2,43	99,56
1021/А	33,47	2,09	19,11	8,23	11,25	0,22	11,12	-	0,13	7,99	2,83	4,40	99,94

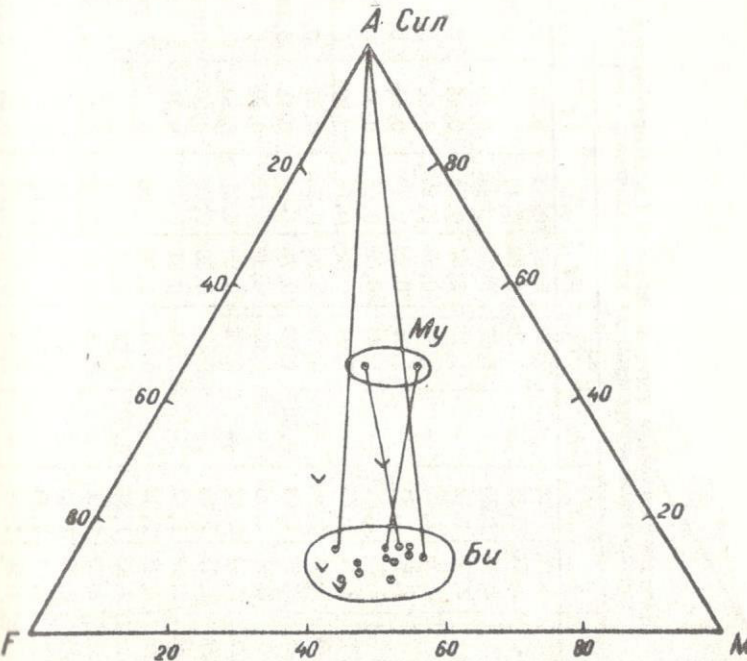


Рис. 16. AFM диаграмма для биотитов из гнейсов

Таблица 21

Кристаллохимические формулы биотитов (в парагенезисе с гранатом и другими железомагнезиальными минералами) из кристаллических сланцев и гнейсов Дзержинского выступа

№ обр.	$Si$	$\text{Al}^{IV}$	$Fe^{II}$	$Mg$	$Fe^{+2}$	$\text{Al}^{+3}$	$Fe^{+3}$	$Ti$	$Mn$	$K$	$Na$	$Ca$	$OH$
15/К	2,76	1,24	-	0,99	0,87	0,44	0,22	0,08	0,02	0,85	0,02	0,06	1,86
26/К	2,74	1,26	-	0,98	0,86	0,49	0,31	0,09	0,02	0,86	0,04	0,06	1,74
31/К	2,75	1,25	-	1,01	0,86	0,35	0,40	0,10	0,02	0,84	0,06	0,06	1,84
828	2,88	1,12	-	1,16	0,84	0,13	0,46	0,07	0,02	0,84	0,03	0,06	2,00
28	2,59	1,41	-	0,92	0,88	0,22	0,58	0,14	0,02	0,88	0,02	-	1,88
796	2,66	1,34	-	1,05	0,59	0,37	0,56	0,05	0,03	0,84	0,03	0,07	2,02
376	2,79	1,21	-	1,20	0,88	0,65	0,30	0,05	0,01	0,74	0,06	0,09	0,98
3427	2,74	1,25	-	1,04	0,36	0,16	0,97	0,04	0,03	0,80	0,14	0,05	1,72
514/A	2,64	1,36	-	0,74	0,99	0,33	0,51	0,05	-	0,78	0,12	0,02	2,22
554/A	2,49	1,43	0,08	1,08	0,76	-	0,41	0,13	0,02	0,78	0,02	0,07	3,08
556/A	2,64	1,36	-	1,00	0,59	0,21	0,87	0,09	-	0,68	0,08	0,03	1,74
628/A	2,58	1,42	-	0,76	0,97	0,21	0,50	0,09	0,01	0,80	0,04	0,05	2,42
636/A	2,51	1,49	-	0,68	0,50	0,09	0,90	0,02	0,01	0,64	0,06	0,04	3,28
766/A	2,48	1,52	-	1,23	0,91	0,41	0,37	0,13	0,03	0,76	0,02	-	1,44
769/A	2,61	1,39	-	0,91	0,70	0,26	0,55	0,07	0,03	0,76	0,12	0,03	2,42
I381/A	2,62	1,35	0,03	1,05	0,61	-	0,54	0,10	0,01	0,76	0,10	0,03	3,04
753/A	2,69	1,31	-	0,95	0,67	0,31	0,64	0,04	0,01	0,70	0,02	0,08	2,14
754/A	2,62	1,38	-	1,19	0,74	0,22	0,41	0,11	0,01	0,78	0,04	0,03	2,28
777/A	2,67	1,33	-	1,19	0,95	0,54	0,24	0,14	0,01	0,80	0,01	0,03	1,22
1021/A	2,54	1,46	-	1,25	0,71	0,24	0,46	0,12	0,01	0,68	0,02	-	2,22

Таблица 22

Особенности состава биотитов (в парагенезисе с гранатом и другими железо-магнезиальными минералами) из кристаллических сланцев и гнейсов

# обр.	F	$Fe^{+2}/Mg$	F породы	T°C	Парагенезис
15/К	55	0,88	43		
26/К	54	0,88	45		
31/К	55	0,85	42		
828	53	0,73	33	650(Би+Гр)	Би <sub>55</sub> +Гр <sub>81</sub> +Кор+Шп+Ил
28	60	0,95	40	550(Би+Гр)	Би <sub>53</sub> +Гр <sub>87</sub> +Кв+Ил
796	52	0,57	44	67	Би <sub>60</sub> +Гр+Шп+Ил
376	50	0,75	44	55	Би <sub>52</sub> +Гр+Му+Турм+Кв+Ил
3427	56	0,35	38	52	Би <sub>50</sub> +Гр <sub>86</sub> +Кв+Ил
514/A	67	1,34	43	60	Би <sub>56</sub> +Гр+Кв+Пл
554/A	54	0,71	38	57	Би <sub>67</sub> +Гр <sub>82</sub> +Кв+Пл
556/A	59	0,59	39		Би <sub>54</sub> +Гр+Кв+Пл
628/A	66	1,27	42	60	Би <sub>59</sub> +Гр+Пл <sub>15</sub> +Кв
636/A	67	0,73	43	60	Би <sub>66</sub> +Гр <sub>82</sub> +Му+Сил+Пл <sub>23</sub> +Кв
766/A	51	0,74	43	60	Би <sub>67</sub> +Гр+Му+Пл <sub>15</sub> +Кв
769/A	58	0,77	43		Би <sub>51</sub> +Сил+Анд+Гр+Пл <sub>25</sub> +Кв
I381/A	53	0,58	38		Би <sub>58</sub> +Сил+Анд+Гр+Пл <sub>25</sub> +Кв
753/A	58	0,70	42	52	Би <sub>53</sub> +Пл <sub>17</sub> +Гр+Кв
754/A	49	0,61	41		Би <sub>58</sub> +Кор+Пл+Кв
777/A	50	0,79	44		Би <sub>49</sub> +Му+Сил+Кор+Пл+Кв
1021/A	48	0,57	41		Би <sub>50</sub> +Му+Кор+Сил+Пл+Кв
					Би <sub>48</sub> +Му+Кор+Нр+Пл <sub>25</sub> +Кв

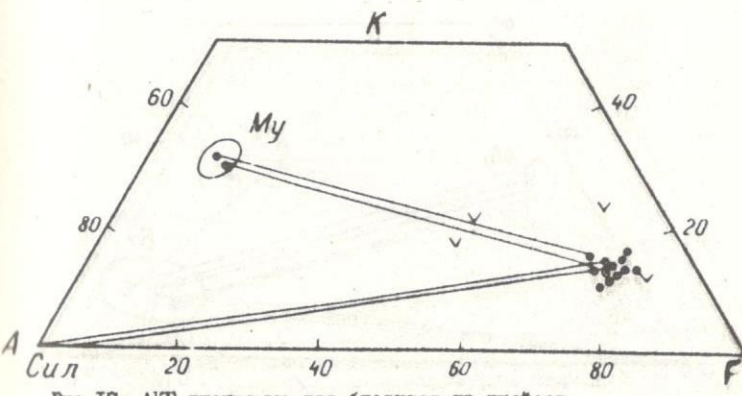


Рис. I7. АКГ-диаграмма для биотитов из гнейсов

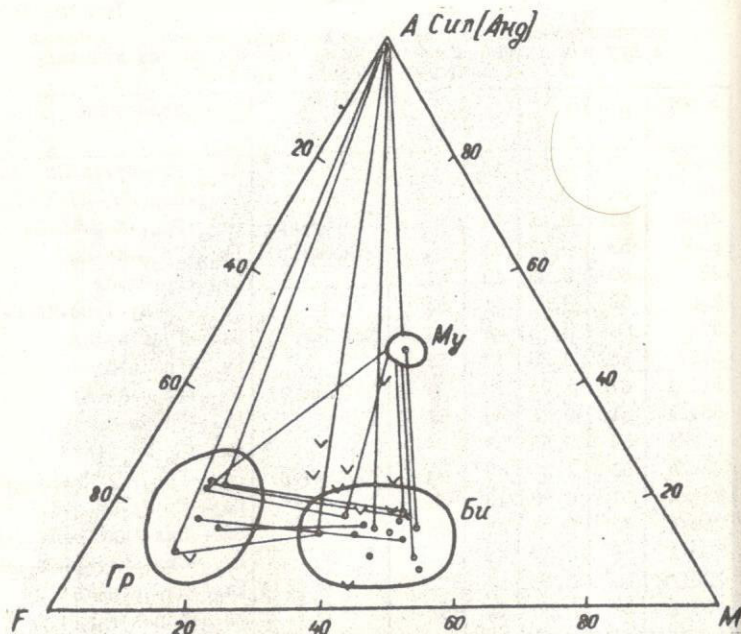


Рис.18. АФМ диаграмма для парагенезисов Би+Гр из кристаллических сланцев и гнейсов

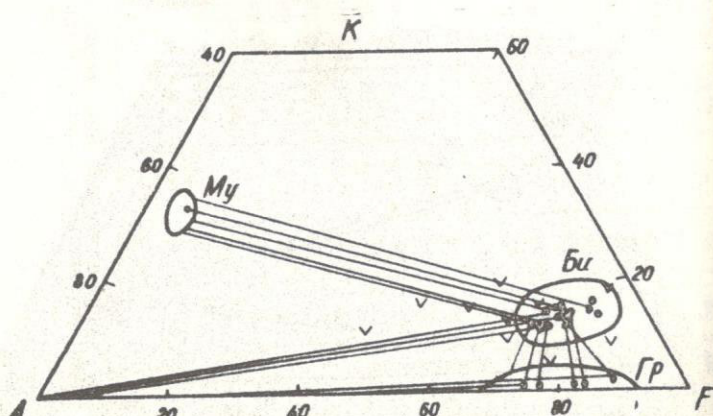


Рис.19. АКФ диаграмма для парагенезисов Би+Гр из кристаллических сланцев и гнейсов

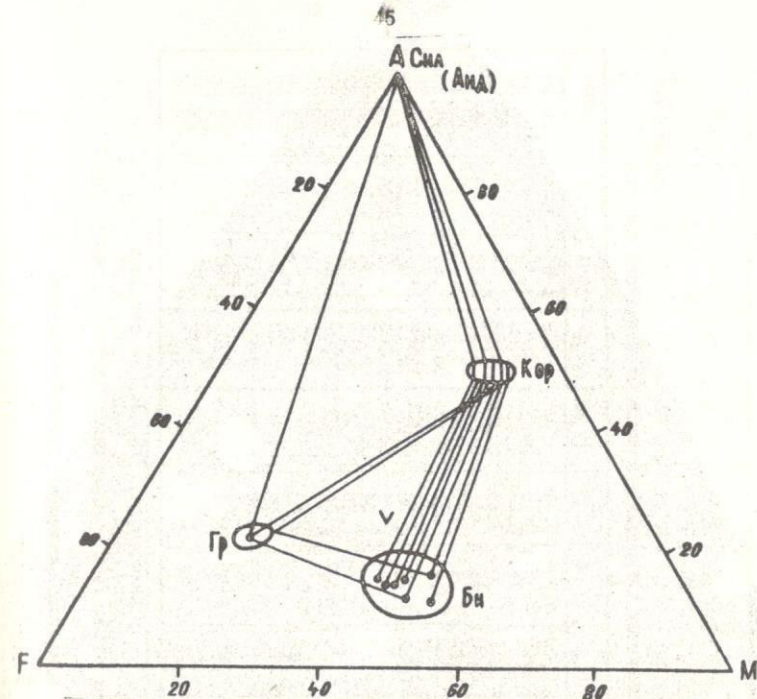


Рис.20. АФМ диаграмма для парагенезисов Би+Кор+Гр из кристаллических сланцев и гнейсов

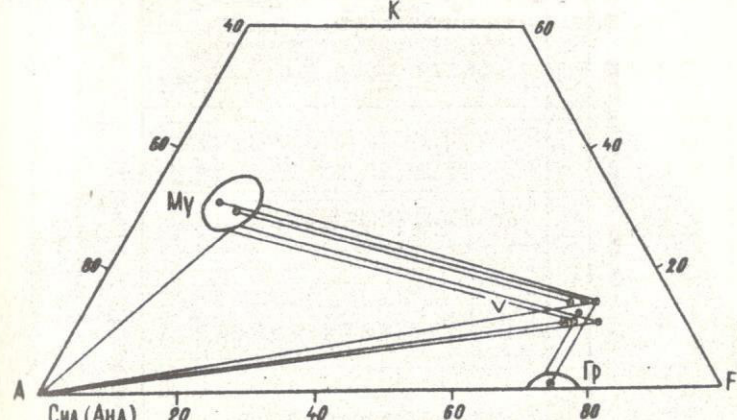


Рис.21. АКФ диаграмма для парагенезисов Би+Кор+Гр из кристаллических сланцев и гнейсов

Таблица 23

Химический состав блокитов из гнейсовых кварцевых диоритов Дзирульского выступа

№ опр.	$SiO_2$	$TiO_2$	$Al_2O_3$	$Fe_2O_3$	$FeO$	$MnO$	$MgO$	$CaO$	$MgO$	$K_2O$	$H_2O$	$H_2O'$	Сумма
16/к 779	34,50	1,74	19,60	11,90	9,40	0,12	8,90	0,40	0,39	8,20	1,84	3,20	100,14
22	36,34	1,50	18,32	12,82	0,40	0,24	9,44	0,26	0,31	8,64	1,16	3,76	100,04
446	37,07	1,80	16,40	17,84	14,22	0,21	10,06	0,21	0,21	8,88	1,53	3,64	100,08
545	33,98	1,07	16,59	17,90	6,06	0,58	8,54	0,51	0,52	8,21	2,25	3,69	99,82
716	33,03	2,19	12,86	10,23	10,96	0,32	9,54	0,65	0,65	8,52	2,35	3,57	99,82
1027	33,39	2,31	15,20	11,08	11,99	0,27	9,95	0,32	0,32	8,35	2,94	3,41	99,95
1044	32,65	2,44	16,42	10,08	14,22	0,32	7,74	0,30	0,21	9,60	2,65	4,20	99,96
1185	32,23	2,01	18,33	15,48	4,64	0,27	10,63	0,27	0,27	10,03	2,40	3,24	99,49
3002	34,59	2,06	21,06	15,05	12,78	0,28	9,68	0,28	0,28	6,62	1,53	4,28	99,95
3035	35,68	2,19	22,48	16,98	5,23	1,73	9,27	0,35	0,24	8,20	1,43	3,64	99,87
3159	36,45	2,45	20,50	14,96	6,26	1,26	10,45	0,26	0,25	8,80	1,70	3,85	99,80
3170	36,30	2,06	17,82	17,68	12,89	1,08	10,82	0,25	0,25	9,20	1,55	3,56	99,84
3398	33,84	0,87	17,02	17,00	13,25	1,25	10,89	0,38	0,38	8,20	1,44	3,60	99,63
3410	36,52	1,74	14,66	14,21	6,39	1,49	9,51	0,51	0,46	8,30	1,26	3,32	99,83
717	34,66	2,30	15,45	11,97	14,40	0,38	8,25	0,40	0,40	8,35	1,58	3,53	99,67
1069	33,80	2,39	12,11	12,11	15,45	0,40	8,66	0,53	0,53	7,20	1,50	3,62	99,66
3177	34,94	2,13	12,31	14,29	12,31	0,40	11,24	0,40	0,40	7,26	1,54	3,54	99,72
1198/99	32,49	-	-	-	-	-	-	-	-	9,12	2,77	3,46	99,82

Примечание. Гнейсовые кварцевые диориты: 16/к - р.Хедмосула; 779, 3410 - сел.Личи; 22, 717, 3170-3177 - р.Рикотула; 84, 3159 - р.Сакбула; 446, 545, 3002, 3035, 3102, 3198/99 - р.Дзиркула; 1027, 1044 - р.Мечарула; 1185, 1409 - р.Квардла; 3398 - с.Ракия; 1069 - с.Лунева.

Аналитики: Н.Д.Джебау, Б.В.Кобишвили, Г.Н.Тархнишвили, В.А.Читашвили.

Таблица 24

Кристаллохимические формулы блокитов из гнейсовых кварцевых диоритов гранитоидов Дзирульского выступа

№ опр.	$Si$	$Al^{IV}$	$Al^{VI}$	$Fe^{+3}$	$Fe^{+2}$	$Mg$	$Fe^{+2}$	$Al^{VI}$	$Fe^{+3}$	$Ti$	$Mn$	$K$	$Mg$	$Ca$	$OH$	
16/к 779	2,70	1,30	-	1,04	0,62	0,50	0,74	0,10	-	0,82	0,06	0,03	I,67	I,67	I,67	
22	2,70	1,30	-	1,01	0,76	0,31	0,80	0,09	0,03	0,82	0,04	0,06	I,88	I,88	I,88	
84	2,58	1,42	-	1,10	0,83	0,29	0,46	0,11	0,02	0,86	0,04	0,02	I,87	I,87	I,87	
446	2,85	1,15	-	1,15	0,91	0,41	0,33	0,05	0,01	0,96	0,02	-	I,95	I,95	I,95	
545	2,73	1,27	-	1,05	0,43	0,32	1,09	0,07	0,04	0,86	0,11	-	2,00	2,00	2,00	
716	2,70	1,30	-	1,13	0,73	0,37	0,61	0,13	0,03	0,86	0,09	-	I,89	I,89	I,89	
1027	2,61	1,19	0,20	1,64	0,74	-	0,49	0,11	0,02	0,84	0,08	-	I,79	I,79	I,79	
1044	2,56	1,44	-	0,90	0,93	0,41	0,59	0,14	0,02	0,90	0,28	0,02	2,18	2,18	2,18	
1185	2,51	1,49	-	1,24	0,97	0,30	0,31	0,12	0,02	1,00	0,02	-	I,68	I,68	I,68	
3002	2,64	1,36	-	1,38	1,04	0,03	0,27	0,11	0,01	0,64	0,04	0,15	2,16	2,16	2,16	
3035	2,72	1,28	-	1,10	0,82	0,25	0,44	0,11	0,02	0,80	0,02	0,08	I,86	I,86	I,86	
3054	2,75	1,25	-	1,05	0,94	0,27	0,30	0,13	0,02	0,76	0,04	0,10	I,94	I,94	I,94	
3159	2,79	1,21	-	1,28	0,83	0,19	0,36	0,13	0,01	0,86	0,03	0,04	I,81	I,81	I,81	
3170	2,80	1,20	-	1,13	0,89	0,16	0,38	0,14	0,01	0,90	0,04	0,06	I,86	I,86	I,86	
3398	2,59	1,41	-	1,05	0,69	0,19	0,75	0,05	0,03	0,80	0,05	0,06	I,84	I,84	I,84	
3410	2,81	1,19	-	1,25	1,06	0,35	0,19	0,06	0,01	0,88	0,05	0,04	I,69	I,69	I,69	
717	2,69	1,29	0,02	1,59	0,93	-	0,35	0,10	0,03	0,82	0,06	-	I,81	I,81	I,81	
1069	2,71	1,29	-	1,00	0,96	0,28	0,72	0,12	0,01	0,85	0,02	0,04	I,90	I,90	I,90	
3177	2,71	1,29	-	1,00	1,03	0,11	0,48	0,13	0,02	0,71	0,04	0,14	I,83	I,83	I,83	
1198/99	2,58	1,10	0,32	-	1,33	0,81	-	0,54	0,12	0,03	0,92	0,02	-	I,82	I,82	I,82

Таблица 25

Особенности состава биотитов из гнейсовых кварцевых диоритов Дзирульского выступа

№ обр.	F	$Fe^{+2}/Mg$	a	породы	T°C	Парагенезисы
16/к	57	0,76	43			Би <sub>57</sub> +Му+Пл+Кв
779	60	0,75	38	48		Би <sub>60</sub> +Му+Пл+Кв+Кли
22	54	0,75	42	44		Би <sub>54</sub> +Пл+Кв
84	51	0,79	38	42		Би <sub>51</sub> +Пл+Кв
446	59	0,41	38	66		Би <sub>59</sub> +Пл+Кв
545	53	0,65	40	64		Би <sub>53</sub> +Пл+Кв+Эп
716	46	0,45	28			Би <sub>46</sub> +М-+Пл+Кв
1027	54	0,68	45			Би <sub>54</sub> +Пл+Кв
1044	63	1,03	38			Би <sub>63</sub> +Пл+Кв
1185	53	0,79	39			Би <sub>53</sub> +Пл+Кв
3002	49	0,76	34			Би <sub>49</sub> +Пл+Кв
3035	53	0,74	39	48		Би <sub>53</sub> +Пл+Кв
3054	54	0,89	40			Би <sub>54</sub> +Пл+Кв+Кли
3159	48	0,64	36			Би <sub>48</sub> +Пл+Кв
3170	53	0,79	36	50		Би <sub>53</sub> +Пл+Кв
3398	58	0,66	39			Би <sub>58</sub> +Пл+Кв
3410	50	0,85	38	52		Би <sub>50</sub> +Пл+Кв
717	45	0,58	30	49		Би <sub>45</sub> +Рог+Пл+Кв
1069	63	0,96	37	600(Пл+Рог)		Би <sub>63</sub> +Рог+Пл <sub>40</sub> +Кв
3177	60	1,03	36	600(Пл+Рог)		Би <sub>60</sub> +Рог+Пл <sub>42</sub> +Кв
1198/99	56	0,61	27	600(Би+Гр)		Би <sub>56</sub> +Гр <sub>80</sub> +Пл+Кв

#### Биотиты из метасоматических гранитоидов и мигматитов

Биотиты из этих групп пород нами объединяются вместе по генетическим соображениям.

В метасоматических гранитоидах встречаются так же, как и в предыдущей группе пород, однообразные парагенезисы. Разница лишь в том, что в метасоматических гранитоидах наряду с плагиоклазом микроклин является главным, а иногда и господствующим минералом. Мусковит встречается чаще и его количество возрастает по мере повышения интенсивности гранитизации. Местами наблюдаются равновесия с биотитом реликты роговой обманки. В отдельных образцах обнаруживается гранат, что дает возможность определить температуру минералообразования.

Химический состав, кристаллохимические формулы и особенности состава биотитов из метасоматических гранитоидов и мигматитов

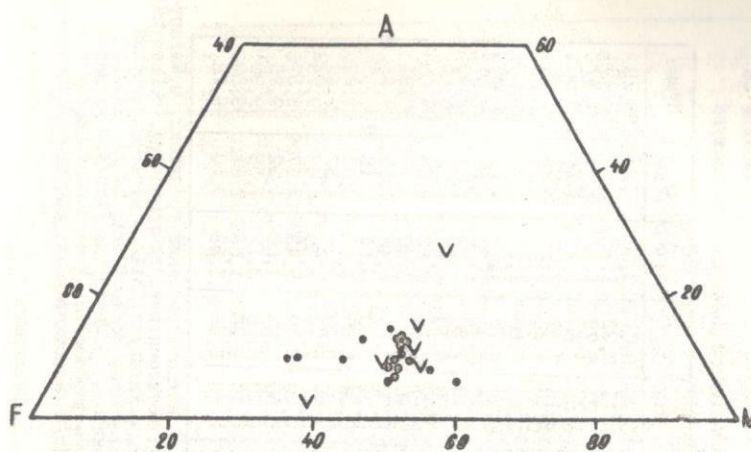


Рис. 22. AFM диаграмма для биотитов из гнейсовых кварцевых диоритов

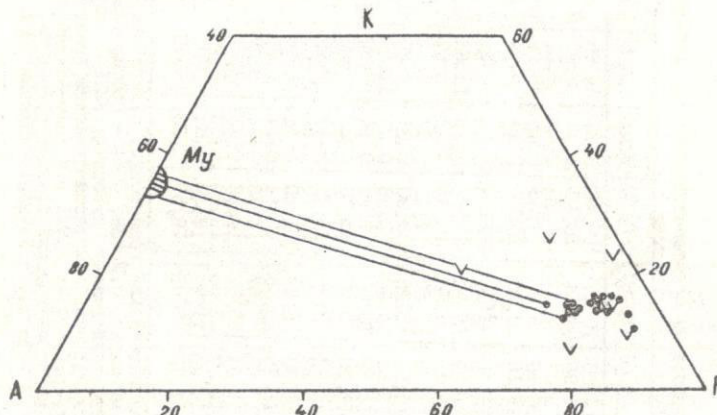


Рис. 23. AIGF диаграмма для биотитов из гнейсовых кварцевых диоритов

приводятся в табл. 26-28 и на рис. 24 и 25.

Железистость и глиноземистость биотита меняются в довольно широком интервале – соответственно 53-71 и 32-48,  $Fe^{+2}/Mg = 0,60-1,42$ . Железистость породы за некоторым исключением, меньше железистости биотита.

Температура минералообразования в метасоматических гранитоидах определена в нескольких образцах (см. рис. 28). По гранит-био-

Таблица 26  
Химический состав биотитов из метасоматических гранитоидов и мигматитов Дзирульского выступа

# обр.	$S_1 O_2$	$T_1 O_2$	$\text{Mg}_2 O$	$Fe_2 O_3$	$FeO$	$MnO$	$NiO$	$CaO$	$Na_2 O$	$K_2 O$	$H_2 O^+$	$H_2 O^-$	Сумма
64	34,97	1,10	14,00	10,07	17,46	0,28	6,95	1,26	0,20	8,01	2,00	4,22	99,26
65	34,48	1,16	14,96	9,64	18,10	0,52	5,93	1,26	0,11	8,31	1,42	3,60	99,49
103I	33,23	1,01	18,07	7,56	14,60	0,44	5,91	1,22	0,02	8,78	1,75	3,99	99,67
Ю36	35,55	1,12	16,18	9,97	12,88	0,45	9,18	0,87	0,50	7,60	1,37	3,61	100,06
Ю64	34,61	1,46	15,35	10,78	14,67	0,35	6,64	1,26	0,16	7,46	1,27	4,02	99,86
Ю35	35,25	1,95	16,15	8,27	16,70	0,50	7,54	1,16	0,40	7,80	1,15	3,55	99,89
3036	35,68	0,95	16,49	5,76	17,82	0,39	11,81	0,48	0,45	8,20	1,34	3,80	99,89
3271	34,55	1,36	15,45	5,86	16,94	0,43	9,07	1,12	0,13	7,20	1,23	4,04	99,87
3442	36,45	1,45	15,83	11,27	14,40	0,32	8,14	0,40	0,27	8,10	1,21	4,21	99,92
3434	34,19	1,70	15,88	13,26	13,90	0,25	6,80	0,40	0,70	7,18	1,63	4,06	99,68
36/A	33,48	1,48	19,52	7,80	12,56	0,25	11,38	0,38	0,60	8,40	1,30	3,50	99,80
500/A	33,80	1,40	16,80	13,00	19,70	0,24	11,76	0,40	0,60	8,40	1,30	3,50	99,94
517/A	33,20	2,30	16,60	9,10	15,70	0,21	7,20	1,10	0,25	7,00	2,40	4,15	99,66
519/A	33,20	1,60	17,64	8,62	15,50	0,14	9,20	0,92	0,06	8,35	1,41	5,18	100,05
561/A	32,16	1,61	16,27	7,50	15,79	0,21	10,01	0,40	0,80	8,20	1,53	5,57	99,82
619/A	33,08	2,22	17,61	7,36	14,20	0,14	8,70	0,40	0,20	7,15	1,50	4,48	99,62
624/A	33,88	0,85	18,79	10,75	17,67	0,24	11,88	0,21	0,20	8,40	1,43	2,17	99,57
728/A	34,91	0,85	17,47	5,52	14,22	0,28	8,57	1,20	0,50	8,00	2,68	4,92	99,75
942/A	33,75	2,47	17,64	5,52	14,22	0,28	8,36	1,20	0,10	8,00	3,12	4,58	99,90
1429/A	33,05	2,53	16,27	9,80	13,09	0,44	8,71	0,16	0,10	9,26	1,52	2,91	99,58
12	33,24	2,54	14,49	11,20	14,59	0,36	9,10	0,16	0,10	9,88	1,53	2,50	99,78
53	33,30	2,10	15,73	17,99	16,59	0,36	9,10	0,16	0,10	9,88	1,53	2,50	99,78

Примечание. 34,86 – метасоматические гранитоиды, с. Цедадеба; 103I – метасоматический гранитоид, р. Магардун-Приозерский; 3036, 3052 – мигматиты, с. Широта; 3064 – профироластовый метасоматический гранитоид, р. Гезура; 3095 – метасоматический гранит, с. Борки; 3271 – мигматит, с. Борки; 3454 – метасоматический гранитоид, с. Убиса; 38/A – 547/A, 561/A – мигматит, 561/A – мигматит, р. Цедадеба; 619/A – метасоматический гранит, р. Дзирулья; 12 – породиродластовый мигматитический гранитоид, р. Дзирулья; 59 – то же, с. Улудома. (Анализы 38/A – 1429/A занесены из работы М.Б. Абесадзе и Г.Л. Чинакурцзе, 1975.)

Аналитики: Н.Д. Джадзе, Г.Н. Тархнишвили, Б.В. Кобашвили, В.А. Читинашвили.

Таблица 27  
Кристаллохимические формулы биотитов из метасоматических гранитоидов и мигматитов Дзирульского выступа

# обр.	$\Delta L_i$	$dL''$	$F_{e^{+2}}$	$Mg$	$F_{e^{+2}}$	$dL''$	$F_{e^{+2}}$	$T_i$	$Mn$	$K$	$Na$	$Ca$	$OH$
64	2,75	1,25	–	0,81	1,15	0,04	0,66	0,06	0,02	0,80	0,02	–	2,22
66	2,74	1,26	–	0,70	1,20	0,14	0,57	0,07	0,03	0,84	0,02	0,10	1,82
103I	2,62	1,38	–	1,08	0,96	0,30	0,44	0,11	0,02	0,88	–	–	2,08
3036	2,71	1,29	–	1,06	0,83	0,23	0,58	0,06	0,03	0,74	0,07	0,07	1,83
3052	2,69	1,31	–	0,76	0,96	0,18	0,63	0,08	0,02	0,74	0,02	0,10	2,08
3064	2,75	1,25	–	0,91	1,18	0,16	0,40	0,11	0,03	0,79	0,04	0,09	1,84
3095	2,76	1,24	–	0,87	1,08	0,23	0,48	0,05	0,03	0,79	0,06	0,06	1,96
3271	2,68	1,29	0,03	1,37	1,16	–	0,31	0,11	0,03	0,67	0,04	0,12	1,83
3442	2,82	1,18	–	1,05	1,08	0,22	0,33	0,08	0,03	0,80	0,06	0,06	1,80
3454	2,65	1,35	–	0,93	0,92	0,08	0,65	0,09	0,02	0,70	0,02	0,09	2,06
38/A	2,70	1,30	–	0,80	0,65	0,15	0,79	0,10	0,01	0,82	0,06	0,03	2,20
500/A	2,61	1,39	–	0,95	0,82	0,34	0,46	0,09	0,01	0,72	0,04	–	2,10
547/A	2,71	1,29	–	0,88	0,63	0,26	0,76	0,10	0,01	0,84	0,10	0,03	1,82
549/A	2,59	1,41	–	0,84	1,02	0,12	0,53	0,13	0,02	0,70	0,10	0,09	2,16
561/A	2,47	1,53	–	1,05	0,87	0,03	0,50	0,11	–	0,68	0,04	0,07	2,64
619/A	2,74	1,26	–	1,16	1,03	0,24	0,44	0,15	0,01	0,82	0,01	–	1,32
624/A	2,60	1,40	–	1,00	0,91	0,21	0,36	0,13	0,01	0,80	0,12	0,03	2,34
728/A	2,61	1,39	–	1,09	0,65	0,27	0,59	0,04	–	0,68	0,02	0,08	2,24
942/A	2,86	1,14	–	1,07	0,80	0,54	0,46	0,05	0,01	0,86	0,02	0,04	1,18
1429/A	2,58	1,42	–	0,98	0,91	0,17	0,31	0,14	0,02	0,78	0,08	0,10	2,50
19	2,57	1,43	–	1,03	0,85	0,06	0,56	0,14	0,02	0,80	0,02	–	2,28
12	2,66	1,34	–	1,04	0,97	–	0,72	0,15	0,03	0,94	0,02	0,01	1,48
59	2,71	1,29	–	1,08	1,11	0,19	0,48	0,12	0,02	1,00	0,02	–	1,34

Таблица 28

Особенности состава биотитов из метасоматических гранитоидов и мигматитов Дзиурльского выступа

# обр.	F	$Fe^{+2}/Mg$	a	F ПОРОДЫ	T°C	Парагенезисы
64	68	I, 42	33	66	390(Пл+Кпш)	Би <sub>68</sub> +Пл+Кпш+Кв
66	72	I, 73	36	64	390(Пл+Кпш)	Би <sub>72</sub> +Пл+Кпш+Кв
103I	56	0,89	40			Би <sub>56</sub> +Пл+Кпш+Кв
3036	57	0,78	38			Би <sub>57</sub> +Пл+Кпш+Кв
3052	67	I, 25	39			Би <sub>67</sub> +Пл+Кпш+Кв
3064	63	I, 30	36	64		Би <sub>63</sub> +Пл+Кпш+Кв
3095	64	I, 24	38	65		Би <sub>64</sub> +Пл+Кпш+Кв
327I	52	0,85	32			Би <sub>52</sub> +Пл+Кпш+Кв
3442	57	I, 03	36			Би <sub>57</sub> +Пл+Кпш+Кв
3454	63	0,99	36			Би <sub>63</sub> +Пл+Кпш+Кв
38/A	64	0,82	39			Би <sub>64</sub> +Пл+Кпш+Кв
500/A	57	0,86	44			Би <sub>57</sub> +Му+Пл+Кпш+Кв
547/A	61	0,71	40			Би <sub>61</sub> +Му+Пл+Кпш+Кв
549/A	65	I, 22	39	62		Би <sub>65</sub> +Му+Пл <sub>15</sub> +Кпш+Кв
561/A	56	0,82	40			Би <sub>56</sub> +Му+Пл+Кв
619/A	56	0,89	36	65		Би <sub>56</sub> +Пл+Кпш+Кв
624/A	56	0,92	41			Би <sub>56</sub> +Му+Пл+Кпш+Кв
728/A	53	0,60	41			Би <sub>53</sub> +Му+Пл <sub>15</sub> +Кпш+Кв
942/A	54	0,75	42	56		Би <sub>54</sub> +Му+Пл+Кпш+Кв
I249/A	55	0,93	42			Би <sub>55</sub> +Му+Пл+Кпш+Кв
I9	58	0,82	38	46	530(Би+Гр)	Би <sub>58</sub> +Гр <sub>89</sub> +Пл+Кпш+Кв
I2	62	0,93	33	57	450(Пл+Рог)	Би <sub>62</sub> +Рог <sub>65</sub> +Пл <sub>25</sub> +Кпш+Кв
59	59	I, 02	35	66	540(Пл+Рог)	Би <sub>59</sub> +Рог+Пл+Кпш+Кв

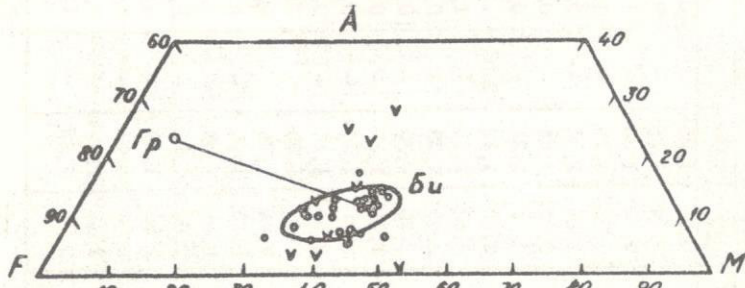


Рис. 24. АМ диаграмма для биотитов из метасоматических гранитоидов и мигматитов

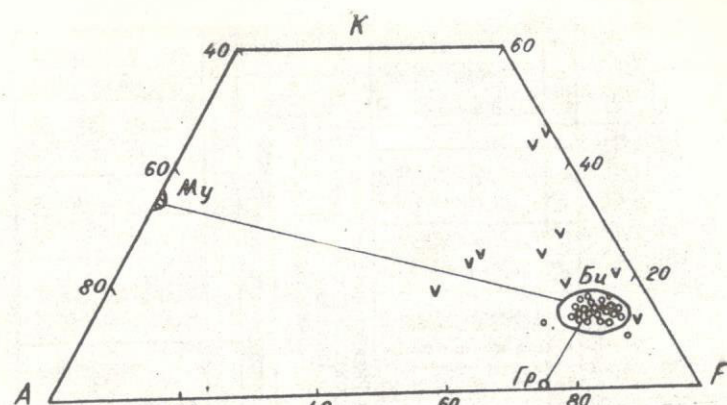


Рис. 25. АКФ диаграмма для биотитов из метасоматических гранитоидов и мигматитов

тиловому термометру она равняется  $530^{\circ}\text{C}$  (обр. 19). Примерно такая же температура была установлена по биотит-роговообманковой паре -  $540^{\circ}\text{C}$  (обр. 59), а по плагиоклаз-роговообманковому термометру получено сравнительно низкое значение -  $450^{\circ}\text{C}$  (обр. 12). Возникновение же калишпата в этих парагенезисах происходит в значительно более низкотемпературных условиях -  $390^{\circ}\text{C}$  (обр. 64 и 66).

Летучесть кислорода ( $\frac{\%}{\text{v}}$ ), рассчитанная по магнетитовому геобарометру, низкая -  $10^{-22}$  бар (Чихелидзе, Хмаладзе, 1976).

#### Биотиты из калишпатовых гранитоидов

В подавляющем большинстве случаев биотит из калишпатовых гранитоидов является единственным темноцветным минералом в породе. Местами за счет биотита образуется мусковит. В гибридных калишпатовых гранитоидах совместно с биотитом существует амфибол. Химический состав, кристаллохимические формулы и особенности биотитов из этих гранитоидов приводятся в табл. 29-31 и на рис. 26 и 27. Железистость биотита, за исключением образца 16 высокая - 60-87. Значение  $Fe^{+2}/Mg$  в биотитах из этой группы также высокое - примерно от 1,0 до 3,31. Глиноzemистость биотита 34-46. Железистость породы то больше, то меньше железистости породы.

Температура кристаллизации биотитов содержащих парагенезисов определена по двуполевощпатовому термометру (обр. 16 и 1195). Нижний предел кристаллизации калишпата равен примерно  $550^{\circ}\text{C}$ , т.е. возникновение биотита связано с более высокотемпературными условиями.

Таблица 29

№ обр.	$SiO_4$	$TiO_2$	$Al_{2}O_3$	$FeO$	$MgO$	$Ca$	$MgO$	$K_2O$	$H_2O^-$	$H_2O^+$	Сумма
I40 <sup>X</sup>	35,16	2,10	22,61	22,28	4,41	2,23	0,54	7,49	94,05	5,95	95,23
I6 <sup>X</sup>	33,35	2,05	20,36	29,35	4,29	8,40	0,46	7,82	98,33	1,67	99,55
85 <sup>X</sup>	36,90	2,05	22,00	25,01	9,60	0,51	0,32	7,80	3,60	99,60	0,30
23/к	32,80	1,24	19,90	12,90	2,27	14,99	2,73	0,76	3,85	3,16	99,55
I6	35,29	1,92	16,40	25,20	0,23	14,59	5,15	0,40	9,80	3,50	99,55
52	34,54	1,92	15,48	5,74	0,43	8,16	0,40	9,12	4,04	4,62	100,09
556/59	35,86	1,23	13,60	8,72	19,44	0,36	6,64	1,45	0,15	7,40	0,94
47	32,92	2,53	17,06	7,93	15,54	18,56	0,21	6,81	0,15	4,62	100,09
1195	32,00	2,40	19,62	6,23	0,21	6,81	0,21	6,81	0,15	4,62	100,09

Примечание. Калишпатовые гранитоиды: I40<sup>X</sup> - из приконтактовой части Реконского интрузива; 103<sup>X</sup> - с. Ултуба; 85<sup>X</sup> - р. Чилисистрали, контакт филлитов и тальков; 23/к - р. Хедносула; 16 - с. Венисе; 47 - р. Даврица; 52 - р. Черхети; 556/59 - р. Годорула; 1195 - с. Ревин. Аналитики: Т.А.Абуалзе, Б.В.Кообщашвили, М.Г.Лазаришвили, В.А.Чатшвили, Л.Д.Чхеидзе

Химический состав биотитов из калишпатовых гранитов Дзирульского выступа

№ обр.	$SiO_4$	$Al_{2}O_3$	$FeO$	$MgO$	$Ca$	$MgO$	$K_2O$	$H_2O^-$	$H_2O^+$	Сумма	
I40 <sup>X</sup>	2,78	1,22	0,52	1,47	0,89	0,12	0,13	0,76	0,04	0,04	103 <sup>X</sup>
I6 <sup>X</sup>	2,69	1,31	0,27	1,98	0,62	0,12	0,07	0,80	-	-	103 <sup>X</sup>
85 <sup>X</sup>	2,82	1,18	0,48	1,60	0,80	0,32	0,15	0,78	0,06	0,06	85 <sup>X</sup>
23/к	2,52	1,48	0,96	0,62	0,70	0,06	0,36	0,66	0,04	0,04	23/к
I6	2,64	1,36	0,54	0,67	1,67	0,19	0,34	0,52	0,06	0,06	16
52	2,74	1,26	0,54	0,61	1,29	0,11	0,46	0,55	0,02	0,02	52
556/59	2,84	1,16	0,61	0,60	1,14	0,12	0,48	0,50	0,01	0,01	556/59
47	2,57	1,43	1,55	0,78	0,78	0,18	0,35	0,72	0,02	0,12	47
1195	2,45	1,55	0,78	0,78	0,78	0,18	0,35	0,72	0,02	0,34	1195

Кристаллохимические формулы биотитов из калишпатовых гранитов Дзирульского выступа

Таблица 30

Таблица 31

Особенности состава биотитов из калишпатовых гранитоидов  
Дзирульского выступа

№ обр.	F	$Fe^{+2}/Mg$	a	F поро-дн	T°C	Парагенезис
I40 <sup>I</sup>	74	2,84	51			Би <sub>74</sub> +Пл+Кпш+Кв+Сил
103 <sup>X</sup>	87	-	46			Би <sub>87</sub> +Пл+Кпш+Кв
85 <sup>X</sup>	77	3,31	49			Би <sub>77</sub> +Пл+Кпш+Кв
23/к	59	0,64	44			Би <sub>59</sub> +Му+Пл+Кпш+Кв
I6	39	0,42	34	58	550(Пл+Кпш)	Би <sub>39</sub> +Пл <sub>31</sub> +Кпш <sub>19</sub> +Кв
52	79	3,07	36	67		Би <sub>79</sub> +СзРог <sub>71</sub> +Пл+Кпш
556/59	75	2,10	34	78		Би <sub>75</sub> +Пл+Кпш+Кв
47	60	1,01	39	59	550(Пл+Кпш)	Би <sub>60</sub> +Пл+Кпш+Кв
1195	66	1,49	43			Би <sub>66</sub> +Пл <sub>28</sub> +Кпш <sub>17</sub> +Му

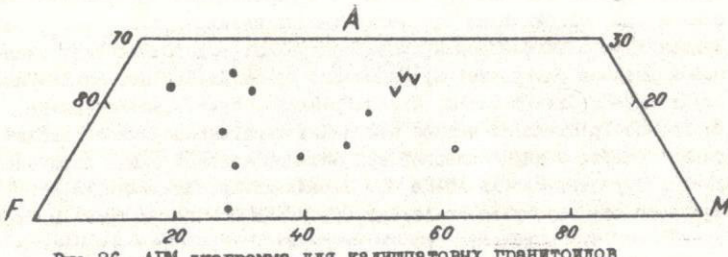


Рис. 26. AFM диаграмма для калишпатовых гранитоидов

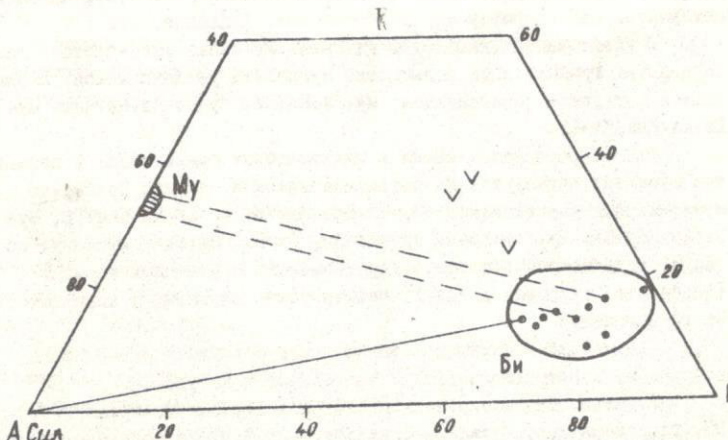


Рис. 27. AKF диаграмма для калишпатовых гранитоидов

В калишпатовых гранитоидах по данным о составе биотита определены летучесть кислорода и воды и парциальное давление воды, которое достигает почти 2 кбар (Чихелидзе, Хмаладзе, 1977). Летучесть кислорода рассчитана и по магнетитовому геобарометру (Чихелидзе, Хмаладзе, 1976).

#### МУСКОВИТЫ

Мусковиты в породах Дзирульского выступа распространены несколько меньше, нежели биотиты. Устанавливаются серицитизация и мусковитизация плагиоклаза, биотита, граната, кордиерита и андалузита в регressiveйной стадии метаморфизма. В кристаллических сланцах встречается равновесный с биотитом мусковит. Наблюдается собирательная перекристаллизация серицита с образованием индивидуальных чешуек мусковита. Особенно широко развивались процессы перекристаллизации серицита в нижнепалеозойской метаморфической свите при преобразовании серицитовых филлитов в двуслюдянные кристаллические сланцы под воздействием позднегерцинских калишпатовых гранитоидов. Минеральные парагенезисы мусковитодержащих кристаллических сланцев и гнейсов следующие:  $\text{Му}+\text{Би}+\text{Пл}+\text{Кв}$ ,  $\text{Му}+\text{Би}+\text{Пл}+\text{Кв}+\text{Кпш}$ ,  $\text{Му}+\text{Би}+\text{Сил}+\text{Пл}+\text{Кв}$ ,  $\text{Му}+\text{Би}+\text{Сил}+\text{Гр}+\text{Пл}+\text{Кв}$ ,  $\text{Му}+\text{Би}+\text{Гр}+\text{Пл}+\text{Кв}$ ,  $\text{Му}+\text{Би}+\text{Сил}+\text{Кор}+\text{Пл}+\text{Кв}$ ,  $\text{Му}+\text{Би}+\text{Кор}+\text{Гр}+\text{Пл}+\text{Кв}$ . В четыре последних парагенезиса часто входит также графит. В нижнепалеозойской метаморфической свите парагенезисы следующие: Сер+Хл+Аб+Кв+Гр, Сер+Хл+Аб+Кв,  $\text{Му}+\text{Би}+\text{Кв}+\text{Аб}\pm\text{Эп}$ ,  $\text{Му}+\text{Би}+\text{Кв}+\text{Аб}+\text{Кпш}$ ,  $\text{Му}+\text{Би}+\text{Кв}+\text{Аб}+\text{Кпш}\pm\text{Гр}$ ,  $\text{Му}+\text{Би}+\text{Аб}+\text{Кв}\pm\text{Кпш}\pm\text{Турм}$  (мы предполагаем, что и гранат, графит, турмалин, калишпат и некоторые другие минералы возникли в этих образованиях в результате наложенных kontaktово-гидротермальных процессов; Хмаладзе, 1978).

В гнейсовых кварцевых диоритах мусковит встречается реже. По мере их гранитизации количество мусковита увеличивается. Наблюдаются следующие парагенезисы:  $\text{Му}+\text{Би}+\text{Пл}+\text{Кв}$ ,  $\text{Му}+\text{Би}+\text{Пл}+\text{Кв}+\text{Кпш}$ ,  $\text{Му}+\text{Пл}+\text{Кпш}+\text{Кв}+\text{Гр}$ .

Широко распространенный в калишпатовых гранитоидах и пегматитах мусковит образуется на постмагматической стадии. Примерные мусковитовые парагенезисы:  $\text{Му}+\text{Пл}+\text{Кпш}+\text{Кв}+\text{Кв}$ ,  $\text{Му}+\text{Кв}+\text{Пл}+\text{Кпш}+\text{Гр}$ ,  $\text{Му}+\text{Пл}+\text{Би}+\text{Кпш}+\text{Кв}$ ,  $\text{Му}+\text{Кпш}+\text{Аб}+\text{Кв}$ ,  $\text{Му}+\text{Аб}+\text{Кв}$ ,  $\text{Му}+\text{Кв}$ . Нередко мусковит образуется также в kontaktово-гидротермально измененных породах (альбититы, грэйзены и т.д.), генетически связанных с калишпатовыми гранитоидами.

Химический состав, кристаллические формулы и особенности состава мусковитов приведены в табл. 32–34 и на рис. 28.

Железистость мусковитов меняется в широком интервале – 39–93, глиноземистость лежит в пределах 0,86–0,97, а содержание парagonитовой составляющей мусковита – 3,8–28,1.

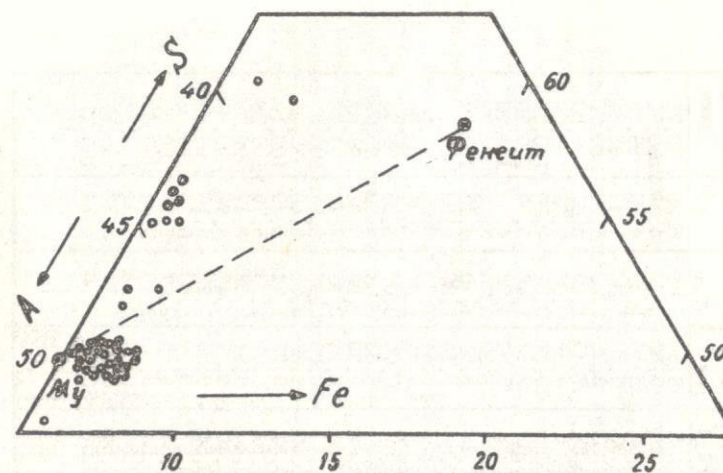


Рис. 28. А-Fe-диаграмма для мусковитов,  $A=\text{Аль}+\text{Fe}^{+3}$ ;  $S=\text{Si}$ ,  $F=\text{Fe}^{+2}+\text{Mg}^{+2}$  в атом. %

На диаграмме (см. рис. 28) большинство фигуративных точек мусковита расположено около точки мусковита, а некоторые (мусковиты из гидротермально измененных пород и филлитов) отклоняются в сторону фигуративной точки фенита.

Мусковит и биотитодержащие парагенезисы кристаллических сланцев и гнейсов Дзирульского выступа формируются в высокотемпературных условиях – 600–700°C, при давлении примерно 2–2,5 кбар.

В калишпатовых гранитоидах и пегматитах устанавливаются как сравнительно низкотемпературные (290–340°C), так и более высокотемпературные (380–430°C) мусковиты.

#### ГРАНАТ

Гранат является характерным минералом кристаллических сланцев, гнейсов и редкометальных пегматитов (с. Шроша и Сазано). В амфиболитах и метабазитах этот минерал встречается редко. В калишпатовых гранитах и некоторых метасоматических гранитоидах гранат относится к акцессориям.

Гранаты из кристаллических пород Дзирульского выступа принадлежат шпинельспитам (табл. 36 и рис. 29) с относительно небольшим содержанием андродита и гроссуляра. Наиболее высокое содержание последних зафиксировано в гранатах из амфиболитов. На диаграмме

Таблица 32

Химический состав мусковитов Энгурского выступа

№ обр.	$\Sigma$ / $O_2$	$T_i/O_2$	$Mg_i/O_2$	$Fe_i/O_2$	$Mn_i/O$	$Mg_i/O$	$Ca_i/O$	$K_2O$	$H_2O$	$H_2O^*$	Сумма
15/K	46,96	0,33	32,38	0,90	0,78	0,05	0,99	0,70	0,85	9,50	5,30
K/18	46,99	0,31	32,92	0,93	0,88	0,05	0,76	0,90	0,95	9,50	4,66
K/19	46,47	0,26	33,35	0,70	0,73	0,05	0,87	0,72	0,90	9,40	0,75
26/K	47,52	0,35	31,94	0,42	0,69	0,05	0,68	0,78	0,90	8,70	1,20
74	48,93	0,09	31,42	0,99	0,60	0,05	0,75	0,57	1,25	10,51	0,50
793	52,02	0,86	28,97	0,69	0,64	0,03	1,87	0,73	0,82	7,20	5,01
3310	53,71	0,29	28,85	0,23	0,54	0,26	0,73	0,21	0,07	6,51	4,62
1039	46,98	0,20	34,25	0,60	0,66	0,02	0,92	-	0,08	9,54	1,46
771/48	44,28	0,43	36,34	0,80	-	0,02	0,19	0,29	0,22	9,50	4,46
K/1/01	42,45	0,28	31,50	0,85	0,50	0,20	0,10	0,08	0,76	9,80	3,75
K/1/03	41,15	0,31	32,90	0,50	-	0,14	0,14	0,14	0,25	10,07	3,82
K/1/06	40,72	0,25	-	-	0,78	0,10	0,14	0,14	0,70	10,15	3,82
3133	45,81	-	33,06	0,45	0,45	0,02	0,57	0,57	0,00	5,01	9,90
977	43,66	0,15	34,47	0,75	0,04	0,03	0,33	-	0,35	10,02	1,00
1193	43,68	0,29	30,80	0,63	0,63	0,03	0,03	0,03	0,35	8,72	1,00
3357	46,52	0,29	30,80	0,74	0,76	0,03	0,03	0,03	0,35	10,06	1,00
3386/87	45,25	0,22	32,42	0,73	0,73	0,03	0,03	0,03	0,33	10,07	1,00
3383/88	45,04	0,38	32,71	0,74	0,74	0,03	0,68	0,68	0,08	5,33	9,95
9	42,31	0,13	32,09	0,94	0,44	0,02	0,12	0,12	0,00	9,69	0,95
1208	42,01	0,15	32,63	1,62	0,03	0,03	0,24	0,24	0,43	10,89	2,98
АД/1	43,10	0,38	31,95	5,10	-	0,15	0,95	0,10	0,40	9,35	3,72
72	44,48	0,13	36,43	0,57	0,27	0,02	0,64	-	0,54	9,78	1,20
83	44,35	0,13	34,53	0,57	0,48	0,02	0,91	-	0,54	10,08	1,12
10	42,79	0,18	32,24	1,74	0,17	0,02	0,49	0,23	0,40	9,34	2,95
12	43,22	0,18	32,01	1,70	0,02	0,02	0,52	0,10	0,54	9,12	2,47
31	44,37	0,13	33,76	3,37	0,09	0,09	0,13	0,08	0,13	9,36	1,90
63	43,77	0,16	33,20	4,23	0,17	0,07	0,07	0,29	0,29	9,55	2,29
6	44,08	0,08	33,99	2,70	0,19	0,08	0,08	0,08	0,08	3,37	9,97
11	42,94	0,21	33,12	1,50	1,44	0,14	0,33	0,33	0,43	9,54	2,49
13	43,76	0,11	33,33	1,22	0,22	0,15	0,78	0,22	0,22	10,08	5,54
15	43,79	0,22	33,65	1,49	1,49	0,16	0,84	0,16	0,16	10,26	5,33
16	44,34	0,03	33,41	1,63	-	-	-	-	-	10,44	5,28

2I	43,20	0,12	33,04	1,81	0,19	0,06	0,91	-	0,54	9,72	2,49
K/104	42,98	0,13	34,11	1,82	0,19	0,06	0,49	-	0,43	10,22	2,27
K/105	43,70	0,07	35,67	1,09	0,44	0,03	0,24	-	0,54	10,32	2,57
1207	41,67	0,16	32,10	0,90	0,32	0,03	0,24	0,24	0,54	10,89	2,84
I/1217	42,53	-	34,92	0,81	0,80	0,03	0,49	-	0,64	10,04	2,88
I/1218	42,57	0,08	34,00	0,86	0,86	0,03	0,40	-	0,43	10,04	2,83
I/540	43,44	0,15	34,92	1,92	0,94	0,03	0,35	0,35	0,58	9,84	2,95
I/532	43,45	0,15	37,82	0,95	1,77	0,03	0,24	0,24	0,82	9,75	2,10
II-377	43,87	0,15	33,84	4,50	1,51	0,03	0,25	0,25	1,34	9,79	3,35
II/214	47,52	0,12	32,77	3,83	3,83	0,25	0,22	0,22	0,80	9,60	3,60
3292	49,02	0,14	31,59	2,30	0,25	0,24	0,27	0,27	1,12	9,08	3,96
17	42,64	0,15	31,33	0,33	0,33	0,44	0,32	0,32	0,82	9,78	1,18
17	42,64	0,12	32,88	3,15	0,80	0,31	0,54	0,54	0,40	9,36	5,14
3396	50,15	0,12	32,88	1,01	-	0,65	0,56	0,56	1,12	8,25	0,12

Примечание. 15/К - кордиерит-двуслюдовой гнейс, р. Каира; 26/К - гранат-кордиерит-двуслюдовой р.Хемосмула; К/19 - биотитовый плагиогнейс, р.Хемосмула; 74 - гранат-кордиерит-андезаит-двуслюдовой гнейс, р.Чермимела; 193 - кварцит-альбит-гнейс, р.Черкеска; 3310 - гнейсовый кварцевый диорит, р.Черкеска; 3310-1 - двуслюдистый плагиогнейс, р.Черкеска; 771/48 - гнейсовый кварцевый диорит, р.Шроша; 771/48 - гнейсовый кварцевый гнейс, с.Шроша; 1193 - гнейс, с.Рекни; КД/01 - гнейсовидные кварцевые диориты, с.Рекни; КД/06 - то же, с.Рекни; АЛ/Г - то же, с.Рекни; 3133 - мигматит, с.Верхнечелда; 977 - калишпатовый гранит, р.Мачарула; II/93 - тоже, с.Рекни; 3357 - то же, р.Мачарула; 3386/87, 3383/88 - то же, с.Рекни; 9, 1208 - то же, с.Шроша; 1193 - гнейс, с.Рекни; 771/48 - гнейсовый гнейс, с.Шроша; 1015, 1014, 1013 - пегматит, с.Шроша; 1217/1218 - то же, с.Рекни; 3133 - мигматит, с.Сазано; ПЕ/540, П/532, Ш/377, Ш/377, П/214 - то же, с.Рекни; 3292 - гнейс, с.Рекни; I/7 - гнейсопиразитовый пегматит, с.Шроша; 3396 - контактовая порода, с.Рекни. (Анализы КД/01-КД/06, АЛ/Г, ПЕ/540-П/214 заменены из работы Одиселде, 1969.)

Аналитики: Н.Д.Джабау, Г.Н.Тархнишвили, В.В.Кобашвили, В.А.Читиншили, Л.М.Баскиашвили.

Таблица 33

Хронохронологические формулы метеоритов Дандуровского выступа

№ опр.	$\xi_i$	$\mathcal{A} \ell^{+}$	$\mathcal{A} \ell^{-}$	$\mathcal{M}/g$	$F_e^{+2}$	$\mathcal{A} \ell^{+1}$	$F_e^{-1}$	$\mathcal{M}_n$	$\tau_i$	$\kappa$	$N_a$	$C_a$	$O/H$
15/A	3,13	0,87	0,10	0,04	1,66	0,05	-	0,01	0,80	0,12	0,05	2,36	
K/18	3,15	0,85	0,08	0,05	1,74	0,05	-	0,01	0,82	0,12	0,06	2,08	
K/19	3,12	0,88	0,09	0,04	1,76	0,03	-	0,01	0,80	0,12	0,05	2,14	
26/K	3,17	0,83	0,07	0,03	1,68	0,03	-	0,01	0,80	0,12	0,05	2,40	
74	3,24	0,76	0,07	0,04	1,69	0,05	-	-	0,74	0,12	0,06	2,30	
193	3,43	0,57	0,19	0,03	1,53	0,13	-	0,04	0,60	0,10	0,04	2,18	
3310	3,51	0,49	0,11	0,03	1,70	0,04	-	0,01	0,54	0,22	0,09	2,0	
1039	3,14	0,86	0,07	0,07	1,83	0,01	-	0,01	0,80	0,08	-	2,10	
777/48	3,04	0,96	0,08	0,03	1,71	0,03	-	0,02	0,78	0,08	-	2,30	
KU/01	3,0	1,0	0,13	-	1,60	0,25	-	0,01	0,86	0,22	0,01	2,20	
KU/03	2,91	1,09	0,15	-	1,65	0,28	-	0,01	0,88	0,16	0,01	1,80	
KU/06	2,88	1,12	0,14	0,05	1,61	0,29	-	0,01	0,76	0,22	0,01	1,96	
3133	3,04	0,96	0,16	0,02	1,62	0,05	-	-	0,78	0,10	0,04	2,62	
977	2,52	1,08	0,08	0,04	1,63	0,09	-	0,01	0,74	0,06	-	2,80	
II93	2,93	1,07	0,13	0,01	1,62	0,13	-	0,02	0,74	0,04	0,02	2,62	
3357	3,10	0,90	0,11	0,02	1,52	0,19	-	0,01	0,84	0,08	0,07	2,38	
3386/87	3,05	0,95	0,09	0,04	1,65	0,09	-	0,01	0,80	0,12	0,06	2,40	
3383/88	2,99	1,01	0,11	0,05	1,56	0,09	-	0,02	0,82	0,08	0,05	2,64	
9	2,88	1,12	0,09	0,05	1,45	0,18	0,02	-	0,76	0,06	0,01	2,94	
1208	2,85	1,15	0,02	0,09	1,45	0,12	-	0,01	0,94	0,04	-	3,14	
AJ/1	3,06	0,94	0,10	-	1,73	0,27	0,01	0,02	0,74	0,20	0,01	1,64	
72	2,96	1,04	0,06	0,02	1,81	0,03	-	-	0,82	0,06	-	2,44	

№ опр.	$\xi_i$	$\mathcal{A} \ell^{+}$	$\mathcal{A} \ell^{-}$	$\mathcal{M}/g$	$F_e^{+2}$	$\mathcal{A} \ell^{+1}$	$F_e^{-1}$	$\mathcal{M}_n$	$\tau_i$	$\kappa$	$N_a$	$C_a$	$O/H$
83	2,96	1,04	0,09	0,03	1,67	0,08	-	-	0,86	0,08	-	-	2,56
10	2,91	1,09	0,12	-	1,48	0,18	0,02	0,01	0,76	0,04	-	-	2,94
I2	2,95	1,05	0,11	0,12	1,52	0,09	0,03	0,01	0,80	0,04	0,01	2,74	
3I	3,06	0,94	0,11	-	1,80	0,17	-	-	0,82	0,06	0,01	2,34	
63	2,92	1,08	0,10	0,01	1,53	0,20	-	0,01	0,80	0,08	-	-	2,34
6	3,07	0,93	0,12	0,07	1,84	0,14	-	-	0,88	0,06	-	-	1,54
II	2,93	1,07	0,11	0,12	1,58	0,07	-	0,01	0,82	0,08	0,01	2,77	
I3	2,96	1,04	0,14	0,10	1,61	0,05	0,02	-	0,86	0,06	0,01	2,50	
15	3,02	0,98	0,08	0,10	1,75	0,07	0,01	0,01	0,90	0,08	0,01	2,44	
I8	3,00	1,00	0,08	0,10	1,65	0,08	0,01	-	0,88	0,06	-	-	2,38
21	2,93	1,07	0,09	0,10	1,56	0,09	0,01	-	0,84	0,06	-	-	2,70
1014	2,89	1,11	0,04	0,02	1,67	0,13	-	-	0,86	0,06	-	-	2,60
1015	3,06	0,94	0,02	0,03	1,97	0,05	-	-	1,00	0,04	-	-	2,40
I207	2,84	1,16	0,05	0,04	1,41	0,19	-	-	0,94	0,06	-	-	3,10
I217	2,87	1,13	0,05	0,04	1,65	0,01	-	-	0,94	0,08	-	-	2,88
I218	2,90	1,10	0,04	0,10	1,62	0,04	-	-	0,96	0,04	-	-	2,78
ПБ/540	2,93	1,07	0,03	0,10	1,66	0,24	-	0,01	0,76	0,08	-	-	2,20
ПБ/532	2,99	1,01	0,02	0,01	2,05	0,05	0,01	-	0,86	0,10	-	-	1,58
ПБ/377	3,02	0,98	0,02	0,09	1,77	0,23	0,01	-	0,86	0,18	-	-	1,66
П/377	3,00	1,00	0,02	0,10	1,70	0,19	0,01	-	0,84	0,10	-	-	2,04
П/214	3,14	0,86	0,03	0,01	1,77	0,11	0,01	-	0,66	0,14	-	-	2,28
3292	3,26	0,74	0,12	0,07	1,71	0,01	-	-	0,74	0,10	0,05	2,28	
I7	2,91	1,09	0,09	0,04	1,55	0,16	0,02	-	0,80	0,04	-	-	2,80
3396	3,28	0,72	0,06	0,03	1,81	0,04	-	-	0,68	0,14	0,04	2,02	

Таблица 34

Особенности состава мусковитов Дзириульского выступа

№ обр.	<i>a</i>	<i>F</i>	Содер-жание пара-гонита мол. %	T°C	Парагенезис
I5/К	0,92	48	I2,2		Му+Би+Кор+Кв+Пл+Кш
K/18	0,93	56	I2,9		Му+Би+Пл+Кш+Кв
K/19	0,93	45	I3,0		Мд+Би+Пл+Кв
26/К	0,94	48	I3,0		Му+Би+Кор+Грф+Кв+Пл
74	0,94	55	I4,0		Му+Би+Гр <sub>81</sub> +Анд+Кор+Пл+Кв
I93	0,86	47	I4,6	500	Сер+Хл+Ал+Грф+Кв
3310	0,91	39	28,1		Му+Би+Гр+Пл+Кв
I039	0,97	53	7,5		Му+Би+Пл+Кв
77I/48	0,93	44	9,8		Му+Би <sub>50</sub> +Пл <sub>29</sub> +Кв+Гр
KД/01	0,92	67	20,5		
KД/03	0,92	65	I6,I		
KД/06	0,90	71	22,4		
3133	0,89	33	II,8		Му+Би+Пл+Кш+Кв
977	0,93	61	8,5		Му+Пл+Кш+Кв
II93	0,87	52	5,6		Му+Би <sub>77</sub> +Пл <sub>32</sub> +Кш <sub>21</sub> +Кв
3357	0,92	65	9,4		Му+Пл+Кш+Кв
3386/87	0,92	70	9,7		Му+Би+Пл+Кш+Кв
3383/88	0,88	55	9,6		Му+Би+Кш+Пл+Кв
9	0,88	72	7,8	395	Му+Кш+Пл+Кв
I208	0,92	89	4,7	290	Му+Кш+Пл+Кв
АЛ/1	0,97	73	20,7		
72	0,96	43	7,2	380	Му+Ал+Кш+Кв
83	0,93	57	6,9	375	Му+Кш+Ал+Кв
I0	0,91	70	6,0	340	Му+Ал+Кв
I2	0,88	66	5,8	330	Му+Ал+Кв
3I	0,94	61	7,4	385	Му+Ал+Кш+Кв
63	0,93	69	9,8	430	Му+Кш+Ал+Кв
6	0,95	62	7,3	385	Му+Кш+Ал+Кв
II	0,87	64	7,3	385	Му+Кш+Ал+Кв
I3	0,86	52	6,9	375	Му+Ал+Кш+Кв
I5	0,90	66	6,8	375	Му+Ал+Кш+Кв
I8	0,90	68	6,8	375	Му+Ал+Кш+Кв
2I	0,89	68	7,2	380	Му+Кш+Ал+Кв
I0I4	0,98	76	7,7	395	Му+Кш+Ал+Кв
I0I5	0,98	77	5,0	300	Му+Кш+Ал+Кв
I207	0,98	82	7,I	375	Му+Ал+Кш+Кв

Продолжение таблицы 34

№ обр.	<i>a</i>	<i>F</i>	Содер-жание пара-гонита мол. %	T°C	Парагенезис
I217	0,91	56	7,8	400	Му+Ал+Кш+Кв
I218	0,92	78	4,8	290	Му+Ал+Кш+Кв
II/540	0,93	91	9,6		
II/532	0,97	65	II,0		
II/377	0,94	93	I6,8		
II/377	0,93	92	II,3		
II/214	0,97	81	I7,8		
3292	0,90	43	I2,3	470	Му+Ал+Би+Кв
I7	0,88	69	5,7	330	Му+Ал+Кв
3396	0,90	54	I7		Му+Кш+Сил+Кв

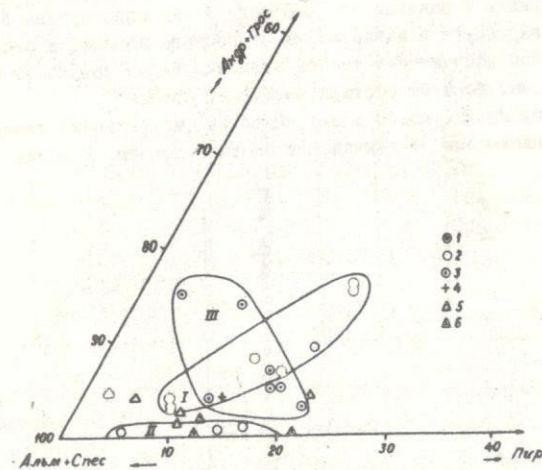


Рис. 29. Компонентный состав гранатов из метаморфитов и гранитоидов.  
1 - гранаты из амфиболитов и метабазитов; 2 - кристаллических сланцев; 3 - гнейсов; 4 - филлиты; 5 - гнейсовоидных кварцевых диоритов и метасоматических гранитоидов; 6 - кальцитовых гранитов.  
I - поле гранатов амфиболитов и метабазитов, II - кристаллических сланцев, III - гнейсов.

(Альм+Спес) - Пир - (Грос+Андр) также видно, что минимальное количество урандитового компонента установлено в гранатах из кристаллических сланцев, а гранаты гнейсов являются как бы промежуточными. В этих породах гранат образуется в прогрессивной стадии регионального метаморфизма. Именно в них были зафиксированы высокие значения температуры (гл. 2 и 3), в целом соответствующие температурным условиям анатексиса гранитных пород.

Несмотря на малочисленность проанализированных образцов граната из метаморфических пород Дзиурульского выступа (табл. 35 и 36, рис. 29) по полученным данным устанавливается увеличение пиропового и снижение спессартинового компонентов с усилением метаморфизма (Перчук, 1970; Корнев, 1980; Шенгелиа, Кецховели, 1982).

Содержание спессартинового компонента некоторыми авторами рассматривается как индикатор РТ условий метаморфизма (Миссиро, 1976). По мнению К.Б.Келекинскаса (1977), оно в основном определяется, с одной стороны, количеством граната в породе, а с другой - содержанием марганца в ней. Д.М.Шенгелиа и Д.Н.Кецховели (1982) при изучении гранатов из метапелитов буульгенской серии и лаштракской свиты пришли к заключению, что содержание спессартина в гранате сильно варьирует в зависимости от состава породы, а состав граната в целом находится в тесной зависимости не только от степени метаморфизма, но и от состава вмещающей породы.

На диаграммах (рис. 30 и 31) нанесены фигуративные точки гранатов вне зависимости от генезиса и состава породы. В обоих случа-

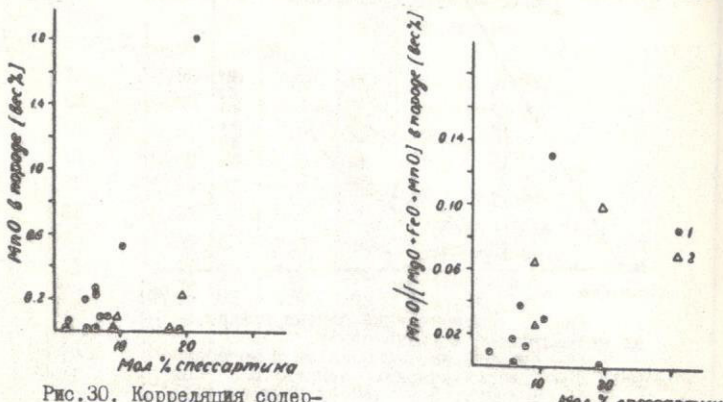


Рис. 30. Корреляция содержания спессартина в гранате с  $MnO : (MnO + FeO + MgO)$  в породе

Рис. 31. Корреляция содержания спессартина в гранате с  $MnO$  в породе.

1 - гранаты из метаморфических пород; 2 - гранаты из гранитоидов

Компонентный состав гранатов из метаморфитов и гранитоидов Дзиурульского выступа

# обр.	Пир.	Альм.	Спес.	Андр.	Прос.	$MnO$	$MnO : (MnO + FeO + MgO)$	Парагенезис
3018/1 <sup>X</sup>	17,4	71,4	4,4	6,8	-			Гр81+Би50+Кум50+Рог+Пл
3018/2 <sup>X</sup>	18,7	61,2	3,9	-	16,2			Гр80+Би62+Кум58+Рог+Пл
3018/3 <sup>X</sup>	18,7	61,7	3,3	5,1	11,2			Гр78+Би61+Кум56+Рог+Пл
II9 <sup>X</sup>	13,9	74,7	3,6	-	7,8			Гр84+Би62+Кум54+Рог+Пл
62 <sup>X</sup>	8,6	79,5	8,3	-	3,6			Гр90+Рог40+Пл+Би+Пир
514/A	18,7	65,5	7,0	8,8	-	0,28	0,039	Гр81+Би67+Пл+Кв
629/A	17,9	75,9	5,3	0,9	-			Гр81+Би+Му+Сил+Кор+Кв
636/A	14,1	68,5	16,8	-				Гр83+Би67+Му+Пл15+Кв
766/A	5,4	74,7	19,3	0,6	-			Гр93+Би51+Сил+Анд+Пл25+Кв
525/A	21,1	66,5	10,1	2,3	-	0,56	0,030	Гр77+Му+Пл+Кв+Хл
74	17,6	72,5	4,7	4,2	I			Гр81+Би+Му+Анд+Кор+Пл+Кв
828	10,6	69,8	5,0	5,0	9,6			Гр87+Би53+Пл+Кв
31/K	17,0	72,0	6,5	4,5	-	0,24	0,019	Гр81+Би53+Кор+Сил+Шп+Пл
797	13,0	74,5	7,9	4,6	-	0,07	0,014	Гр84+Му+Турм+Пл+Кв
376 <sup>X</sup>	II,8	62,3	21,8	-	4,1	I,78	0,134	Гр86+Би50+Пл+Кв
187 <sup>X</sup>	3,6	77,8	3,1	-	15,5			Гр95+Му+Хл+ГрФ+Пл+Кв
68 <sup>X</sup>	5,6	70,8	19,7	-	3,9	0,25	0,102	Гр93+Би+Пл+Киш+Кв
19	9,8	81,0	7,7	I,5	0	0,10	0,026	Гр89+Би58+Пл+Киш+Кв
II98/99	20,7	62,2	13,5	3,6	-			Гр80+Би56+Пл+Кв
968	I2,4	60,4	27,2	-				Гр92+Му+Пл+Киш+Кв
21/78	I,6	83,9	9,7	-	4,8	0,07	0,067	Гр98+Му+Пл+Киш+Би
4	II,9	62,7	23,8	I,6	-			Гр84+Му+Пл+Киш+Кв
24 <sup>X</sup>	8,9	70,4	17,9	-	2,8	0,07	0,390	Гр89+Би+Пл+Кв

ях содержание спессартина коррелируется с содержанием марганца и отношением  $MnO : (MnO + FeO + MgO)$ .

### ЗАКЛЮЧЕНИЕ

Детальное изучение породообразующих минералов (амфиболов, биотитов, мусковитов и гранатов) кристаллических пород Дзиурульского выступа Закавказского срединного массива дали возможность определить некоторые особенности этих минералов, получить генетическую информацию о них и сделать выводы о характере магматического и метаморфического минералообразования.

Из группы амфиболов изучены обыкновенная и сине-зеленая роговая обманка, куммингтонит и актинолит.

Таблица 36

Химический состав гранатов из метаморфитов и гранитоидов дзирульского выступа

% oop.	$SiO_2$	$TiO_2$	$Al_2O_3$	$Fe_2O_3$	$FeO$	$MnO$	$MgO$	$CaO$	$MnO$	$K_2O$	$H_2O$	$H_2O^-$	$H_2O^+$	Cyanide
2018/1 <sup>x</sup>	37,10		20,50	33,20		2,00	4,40	2,30						99,50
2018/2 <sup>x</sup>	36,60		20,80	30,30		1,80	4,60	5,60						99,70
2018/3 <sup>x</sup>	39,80		21,10	29,30		1,50	4,80	6,00						99,70
II9 <sup>x</sup>	38,40		21,60	31,40		1,50	3,30	2,60						98,80
62 <sup>x</sup>	37,74		21,91	33,26		3,41	2,00	1,20						99,52
514/A	40,06	0,60	15,80	7,10	23,60	2,50	3,80	2,50	0,80	0,50				97,51
629/A	40,00	0,18	18,04	1,43	30,22	1,79	4,05	1,28	0,30	0,40				97,99
636/A	40,52	0,06	19,80	0,50	27,09	6,68	3,13	0,67	0,31	0,48				99,80
766/A	40,32	0,06	20,01	0,50	26,86	6,96	3,14	0,67	0,28	0,42				99,83
525	39,07	0,35	19,15	2,29	28,80	5,13	4,20	0,99						99,98
74	41,00	0,05	19,72	9,18	21,60	1,91	4,08	1,72	0,30	0,30				99,32
828	39,56	0,05	19,55	12,23	18,54	2,05	2,55	4,86	0,30	0,40				99,46
31/K	39,32	0,05	19,55	17,40	14,97	2,73	4,09	1,50	0,30	0,30				99,67
797	39,00	0,05	19,55	18,05	14,40	3,54	3,35	1,60	0,30	0,30				99,60
376 <sup>x</sup>	40,75		21,14	25,86		7,80	2,41	1,20						99,16
187 <sup>x</sup>	36,80		22,40	32,60		1,20	0,90	5,10						99,00
68 <sup>x</sup>	40,27		21,24	27,24		7,51	1,21	1,10						98,57
39,26	Q,18	19,49	7,15	26,77		3,10	2,32	0,50	0,10	0,10				99,47

**Примечание.** ЗС18/ГХ, ЗС18/Х - 3018/3<sup>х</sup>, 3018/2<sup>х</sup>, 3018/3<sup>х</sup> - амфиболит, р.Дзиура; ГГ94 - амфиболит, Рикотула первая; 62<sup>х</sup> - метабазит, Р.Черхеви; 514/А - кристаллический сланец, р.Сабанела; 629/А и 636/А - кристаллические сланцы, р.Думави; 766/А - кристаллический сланец, р.Дзиура; 525/А - хлоритизированный плагиогней, истоки р.Дзиура; 74 и 828 - плагиогнейсы, р.Черемала; 31/К - гнейс, р.Хелюсмула; 797 - грекзанизированый плагиогнейс, р.Сабанела; 376/А - плагиогнейс, р.Думави; 187<sup>х</sup> - транат-мусковит-графитовый сланец (филлит), р.Рикотабоги-ре; 68<sup>х</sup> - метасоматический гранит, с.Брили; 19 - микроклинизированный кварцевый диорит, р.Дзиура; ГГ98 - гнейсовидный кварцевый диорит, р.Дзиура; 968 и 980/78 - граниты, с.Прома; 21/78 - гранит, р.Хелюсмула; 4 и 24<sup>х</sup> - апилиты, р.Рикотула (Анналы 514/А-525/А) - заложены из работ М.Б.Абесадзе и Г.М.Цамакурдзе. 1975).

Аналитики: Т.А.Абульзе, В.Д.Бутрова, Н.С.Дзиэзигури, Л.М.Басиашвили, Б.В.Кодашвили, Н.Д.Джадау, М.Г.Дзэршиви.

Роговая обманка является главным породообразующим минералом в амфиболитах и метабазитах Дзирульского выступа. В роговообманковых ассоциациях биотит встречается часто, а гранат - редко. Местами в габброидах наблюдается калиевый полевой шпат. По содержанию глиноzemа изученные роговые обманки во всех породах примерно одинаковы, а по магнезиальности и железистости несколько различны. Выявлено, что роговые обманки из амфиболитов и габброидов более магнезиальны, а из гнейсовых кварцевых диоритов - более железисты. Устанавливается тенденция к возрастанию содержания  $TiO_2$  в роговых обманках из различных групп пород в связи с увеличением их железистости. Четко выражена прямая зависимость между железистостью материнских пород и роговых обманок, а также между роговыми обманками и ассоциирующимися с ними биотитами. В частности, с увеличением в породах железистости или количества биотитов возрастает железистость роговых обманок. Роговые обманки в целом несколько более магнезиальны, чем сосуществующие с ними биотиты. Минеральные парагенезисы и расчеты палеотемператур показали, что роговая обманка образуется в высокотемпературных ( $600$ - $650^\circ C$ ) условиях.

Сине-зеленая роговая обманка в амфиболитах и метабазитах наблюдается сравнительно редко. Содержание  $Al_2O_3$  в сине-зеленых роговых обманках выше, чем в обычных; завышена и железистость, а содержание  $MgO$  резко падает,  $CaO$  и щелочи примерно в том же количестве, что и в обычных роговых обманках. Сине-зеленая роговая обманка богата глиноzemом и железом и образована в низкотемпературных ( $400$ - $450^\circ C$ ) условиях.

Куммингтонит встречается только в амфиболитах и притом очень редко. В парагенезисе с куммингтонитом широко развиты роговая обманка и биотит. Местами наряду с ними встречается и гранат. Куммингтонит характеризуются высоким содержанием  $SiO_2$ , его железистость находится в пределах 44-56. Расчеты палеотемператур по Би-Гр - термометру ( $650$ - $720^\circ C$ ) и по Кум-Гр ( $610$ - $700^\circ C$ ) показали, что куммингтонитсодержащие парагенезисы наиболее высокотемпературны (высокотемпературная часть амфиболитовой фации) среди метаморфитов Дзирульского выступа.

Актинолит менее характерный минерал амфиболитов и метабазитов Дзирульского выступа. В нижнепалеозойских филлитах он формируется в прогрессивной стадии регионального метаморфизма, а в остальных случаях развивается по роговой обманке в процессе регressiveного преобразования пород. Минеральные парагенезисы актинолитсодержащих пород принадлежат к зелено-сланцевой фации метаморфизма низкого давления.

Биотит - наиболее широко распространенный железо-магнезиальный минерал метаморфитов Дзирульского выступа. Для изученных био-

тилов характерно низкое содержание фтора, широкие вариации относительного  $Fe^{+2}/Mg$  и колебания в сравнительно узких пределах величин железистости и глиноzemистости. Сравнительно высокие значения (больше единицы) отношений  $Fe^{+2}/Mg$  имеют биотиты из куммингтонитсодержащих амфиболитов и метабазитов. Для кристаллических сланцев и гнейсов, помимо парагенезисов Би, Би+Гр, Би-Кор, Би+Гр+Кор, характерно развитие андалузита, силлimanита, мусковита, плагиоклаза, кварца, графита и шинели. Биотитсодержащие парагенезисы этих пород принадлежат метаморфическим сериям низких давлений. Температура формирования кристаллических сланцев и гнейсов, определена различными термометрами ( $520$ - $700^\circ C$ ); она соответствует средне- и высокотемпературным условиям амфиболитовой фации. При этом давление, оцененное по положению тройной точки полиморфов глиноzemита (*Pawton, 1966; Richardson et al., 1969*), отвечает примерно  $2$ - $2,5$  кбар. Биотит широко развит также в гнейсовых кварцевых диоритах, в частности гранитизированных их разностях и калишпатовых гранитоидах. В биотитах последнего комплекса соотношение  $Fe^{+2}/Mg$  довольно высокое - примерно, от единицы до 3,07. В большинстве биотитов из палеозойских метаморфитов Дзирульского выступа возрастание активности железа обуславливает увеличение содержания  $TiO_2$ . Устанавливается, что биотиты раннегерцинских гранитоидов, за некоторым исключением, характеризуются повышенным содержанием  $TiO_2$ .

Мусковит является главным породообразующим минералом в кристаллических сланцах, гнейсах и слабометаморфизованных сланцах (филлитах), калишпатовых гранитоидах и пегматитах. Железистость мусковитов варьирует в широком интервале - 39-93, глиноzemистость - 0,86-0,97, а содержание парагонитовой составляющей - 3,8-28, I. В кристаллических сланцах и гнейсах в мусковитсодержащих ассоциациях развиты кварц, плагиоклаз, биотит, гранат, андалузит, силлimanит, кордиерит, графит, турмалин. Для мусковитсодержащих пород зафиксирована высокая ( $600$ - $700^\circ C$ ) температура их формирования. Мусковитсодержащие минеральные ассоциации филлитов относятся к андалузитовому типу регионального метаморфизма. В калишпатовых гранитоидах и пегматитах устанавливаются сравнительно высокотемпературные ( $380$ - $430^\circ C$ ) и низкотемпературные ( $290$ - $340^\circ C$ ) минеральные парагенезисы. Первые парагенезисы наблюдаются в гранитах, аплитах и аплитовой части зональных пегматитов, вторые - характерны для постмагматически переработанных гранитов.

Гранат является характерным минералом кристаллических сланцев, гнейсов и редкометальных пегматитов. Он принадлежит к пиральцитам с относительно небольшим содержанием андралита и гроссуляра. С усилием метаморфизма повышается содержание пиропового и снижается - спессартинового компонентов. Устанавливается, что в мета-

морфитах Дзиурульского выступа гранат образуется в прогрессивной стадии регионального метаморфизма. В гранатсодержащих породах зафиксированы высокие значения температуры, в целом соответствующие температурным условиям анатексиса гранитных пород.

Ниже приводится сравнительная характеристика амфиболов, биотитов и мусковитов кристаллических пород Южного склона Большого Кавказа в пределах Софийского поднятия и Дзиурульского выступа Закавказского срединного массива, давшая возможность выявить сходные и индивидуальные черты процессов метаморфизма и гранитообразования.

Роговая обманка – главный породообразующий минерал в богатых фемическими составляющими метаморфитах этих регионов. Сопоставление показывает, что наиболее близкие по составу роговообманковые ассоциации (почти аналогичные парагенезисы), наблюдаются в амфиболитах (метабазитах) и амфиболовых сланцах буульгенской серии и Дзиурульского выступа. Только биотит в роговообманковых ассоциациях буульгенской серии встречается реже, а диопсид чаще, нежели в метаморфитах Дзиурульского выступа. Помимо этого, в Дзиурульском выступе в метаморфизованных габброидах местами наблюдается калиевый полевой шпат, а в роговообманковых метаморфитах гранат развивается реже, чем в буульгенской серии.

Сравнение составов роговых обманок амфиболитов и амфиболовых сланцев указанных регионов показывает, что роговые обманки буульгенской серии и Дзиурульского выступа близки по составу. Некоторое отличие заключается в следующем: роговые обманки буульгенской серии сравнительно богаты алюминием, а содержание в них  $Fe^{+2} + Fe^{+3}$  и  $Mg$  и железистости меняется в более широком интервале. Равновесные с биотитом роговые обманки в Дзиурульском выступе менее магнезиальны, нежели в метаморфитах буульгенской серии. В сравниваемых регионах с возрастанием железистости пород увеличивается и железистость роговой обманки.

Минеральные парагенезисы и расчеты палеотемператур роговообманковых парагенезисов амфиболитов и амфиболовых сланцев буульгенской серии и Дзиурульского выступа свидетельствуют о их формировании в высокотемпературной части амфиболитовой фации при давлении более низком, чем 4 кбар.

В амфиболитах и метабазитах Дзиурульского выступа отмечаются богатые алюминием и железом сине-зеленые роговые обманки, образованные в сравнительно низкотемпературных условиях (около 400°C).

Куммингтонит широко распространенный минерал в обогащенных  $CaO$ ,  $FeO$  и  $MgO$  метаморфических породах буульгенской серии, а в Дзиурульском выступе он встречается редко, в частности, в ксенолитах амфиболитов и метабазитов в парагенезисе Рог+Пл+Кум+Би+Кв+Сф(Гр). В метаморфитах буульгенской серии в парагенезисе с куммингтонитом

широко развит гранат, редко встречается жедрит.

Минеральные парагенезисы куммингтонитоодержащих метаморфитов Дзиурульского выступа и буульгенской серии соответствуют высокотемпературной части амфиболитовой фации. Куммингтонитоодержащие парагенезисы этих регионов образовались в условиях низких давлений – максимальное давление было ниже давления, характерного для тройной точки полиморфных модификаций.

Активолит не характерен для пород кристаллических оланиев, амфиболитов, метабазитов Дзиурульского выступа и пород гвандринской, клинической и дамхурцевской свит Южного склона Большого Кавказа. Он лишь в нижнепалеозойских филлитах Дзиурульского выступа образуется в прогрессивной стадии регионального метаморфизма низких давлений, а во всех остальных случаях обычно развивается по роговой обманке при регрессивном преобразовании пород. Минеральные парагенезисы метаморфитов этих регионов совершенно идентичны и принадлежат к зеленосланцевой фации метаморфизма низкого давления.

Жедрит и антофиллит в метаморфитах Дзиурульского выступа не наблюдаются. В большинстве случаев антофиллит встречается в метаморфизованных ультрамафитах, залегающих в гвандринской и клинической свитах.

Жедрит обнаружен в метаморфитах гвандринской и лаштракской свит (Шенгелиа и др., 1978). В лаштракской свите жедрит образуется в кианитовом типе регионального метаморфизма – третий барический подтипа (Миясира, 1976). В гвандринской свите жедрит возникает в промежуточном барическом подтипе регионального метаморфизма низкого давления. Он не развивается при барическом подтипе андалузитового типа регионального метаморфизма, характеризующемся наименьшими величинами давления (Шенгелиа, Кецховели, 1982). По-видимому, отсутствие жедрита в богатых  $Al_2O_3$  метаморфитах Дзиурульского выступа, является результатом соответствующих условий самого низкого давления (первый барический подтипа по А. Миясира).

Биотит – наиболее широко распространенный железомагнезиальный минерал кристаллических сланцев, гнейсов, амфиболитов, метабазитов и филлитов Дзиурульского выступа и метаморфитов буульгенской и лабинской серии Южного склона Большого Кавказа. Сравнительная характеристика биотитсодержащих метапелитов свидетельствует о том, что наиболее сходными образованиями являются кристаллические сланцы и гнейсы Дзиурульского выступа и метапелиты буульгенской серии, а также филлиты и породы верхнеклистоисской свиты. Отличие кристаллических сланцев и гнейсов Дзиурульского выступа и метапелитов буульгенской серии выявляется лишь наличием в последней ставролита и изредка жедрита. Общим для них, помимо железо-магнезиальных минералов и их парагенезисов Би+Гр, Би+Кор, Би+Гр+Кор, является развитие андалузит-

та, силиманита, мусковита, плагиоклаза, кварца, графита и шпинеля. Биотитсодержащие парагенезисы названных регионов, принадлежащие метаморфическим сериям низких давлений, по минеральным ассоциациям резко отличаются от метапелитов лабинской серии, принадлежащей к метаморфическим сериям умеренных и повышенных давлений.

Особенности состава биотита в метапелитах Дзиурульского выступа и породах буульгенской серии не содержащих железомагнезиальные минералы показывает, что биотит в первом регионе имеет более низкую величину  $Fe^{+2}/Mg$  нежели биотиты второго региона.

Сравнение биотитов с ассоциацией Би+Гр свидетельствует о том, что биотиты из метаморфитов Дзиурульского выступа выявляют более низкую величину  $Fe^{+2}/Mg$ , по другим признакам они в целом тождественны. Сравниваемые парагенезисы формируются в высокотемпературных условиях, причем биотиты из метапелитов Дзиурульского выступа более высокотемпературы и соответствуют температурным условиям анатектизма гранитоидов.

Биотиты из пород с ассоциацией Би+Гр+Кор метаморфитов Дзиурульского выступа опять-таки показывают более низкую величину  $Fe^{+2}/Mg$ , температурные же условия их формирования одинаковы, но несколько более низки, нежели в ассоциациях Би+Гр.

Сравнительный анализ биотитсодержащих парагенезисов богатых CaO метаморфитов Дзиурульского выступа и Южного склона Большого Кавказа показывает, что амфиболиты и амфиболовые сланцы и метабазиты этих регионов несмотря на большое сходство, выявляют также некоторые отличия. В частности, в метаморфитах буульгенской и лабинской серии встречается жедрит, а куммингтонит в Дзиурульском выступе распространен реже.

Мусковит широко развит в метаморфитах Южного склона Кавказа в лабинской и буульгенской сериях, а в Дзиурульском выступе он наблюдается, в основном, в кристаллических сланцах, гнейсах и слабометаморфизованных сланцах (филлитах). Мусковит главный породообразующий минерал гранитоидов и пегматитов Дзиурульского выступа; на южном склоне Большого Кавказа мусковитизированные гранитоиды развиты среди метаморфитов буульгенской серии.

Сравнительный анализ мусковитсодержащих ассоциаций метаморфитов указанных регионов показывает, что наиболее сходные ассоциации мусковитсодержащих пород имеются в кристаллических сланцах и гнейсах Дзиурульского выступа и метапелитах гвандринской свиты, а также в нижнепалеозойской метаморфической свите (в филлитах) Дзиурульского выступа и верххлистибской свите. В кристаллических сланцах и гнейсах Дзиурульского выступа и метапелитах гвандринской свиты в мусковитсодержащих ассоциациях развиты кварц, плагиоклаз, биотит, гранат, андалузит, силиманит, кордиерит, графит, шпинель.

Дополнительно в гвандринской свите широко разви тавролит и очень редко хлорит и скалолит, а в Дзиурульском выступе калиевый полевой шпат. Особенности состава сравниваемых мусковитов показывают, что они выявляют большое сходство и редко отличаются от мусковитов других групп кристаллических пород.

Мусковитсодержащие парагенезисы метапелитов Дзиурульского выступа формируются в температурном интервале 600–700°C, а гвандринской свиты – 430–680°C. Здесь следует отметить, что для Дзиурульского выступа установлена температура формирования лишь высокотемпературных парагенезисов, содержащих гранат, силиманит и кордиерит. В мусковитсодержащих парагенезисах гвандринской свиты аналогичные (630–680°C) высокие температуры были зафиксированы также в силиманитовых, гранатовых и кордиеритовых ассоциациях; низкие температуры характерны лишь для мусковитизированных и хлоритизированных гранитоидов, залегающих в гвандринской свите. Давление при прогрессивном региональном метаморфизме для мусковитовых парагенезисов кристаллических сланцев и гнейсов Дзиурульского выступа находится в пределах 2–2,5 кбар, а в метапелитах гвандринской свиты – несколько высокое (2–3,5 кбар).

Мусковитсодержащие минеральные ассоциации нижнепалеозойской метаморфической свиты Дзиурульского выступа и верххлистибской свите выявляют полную аналогию и являются низкотемпературными образованиями андалузитового типа регионального метаморфизма.

Мусковитсодержащие ассоциации лабинской серии, принадлежащие к типу регионального метаморфизма умеренных и повышенных давлений не имеют аналогов среди кристаллических образований Дзиурульского выступа Закавказского срединного массива.

#### Л И Т Е Р А Т У Р А

Адамия Ш.А. Доальпийское основание Кавказа – состав, строение, становление.–В кн.: Тектоника и металлогения Кавказа. – Тр./Геол.ин-та АН ГССР, нов.сер., 1984, вып.86, с.3–104.

Адамия Ш.А., Шавишвили И.Д. Модель тектонической эволюции земной коры Кавказа и сопредельных территорий (доальпийский этап). – Геотектоника, 1979, №1, с.77–84.

Абесадзе М.Б. Новые данные о расчленении метаморфических сланцев (филлитов) Дзиурульского кристаллического массива. – Сообщ. АН ГССР, 1975, т.79, №3, с.645–648.

Доальпийское развитие Кавказской активной континентальной палеоокраины – магматизм и метаморфизм / Абесадзе М.Б., Кекелия М.Д., Мгелашвили Т.Н., Цимакуридзе Г.К., Чхотуа Т.Г., Шавишвили И.Д. – Тез.докл.II семинара по геодинамике Кавказа. Тбилиси, Мецнериба,

1980, с.3-5.

✓ Доальпийское развитие Кавказской активной континентальной палеоокраины (магматизм и метаморфизм). / Абесадзе М.Б., Кекелия М.А. Мгелашвили Т.Н., Цимакуридзе Г.К., Чхотуа Т.Г., Шавишвили И.Д., - В кн.: Проблемы геодинамики Кавказа - М., Наука, 1982, с.30-41.

✓ Абесадзе М.Б., Цимакуридзе Г.К. Гнейсово-мигматитовый комплекс Дзиурульского выступа Закавказского срединного массива. - Сообщ. АН ГССР, 1976, т.84, №1, с.133-136.

Абесадзе М.Г., Цимакуридзе Г.К., Пландерова Е. Новые данные о возрасте метаморфических сланцев Дзиурульского массива (Грузия). - Geologicke prace, Spravy 74, Geologicky ustav D. Stura, Bratislava, 1980, с. 137-143.

Гамкрелидзе И.П., Думбадзе Г.Д. Формации восточной части Дзиурульского выступа Закавказского срединного массива. - В кн.: Крупномасштабное геологическое картирование метаморфических формаций на примере Кавказа. Тбилиси, Мецниереба, 1985, с.58-74.

Фрагмент офиолитов в Дзиурульском кристаллическом массиве. Гамкрелидзе И.П., Думбадзе Г.Д., Кекелия М.А., Хмаладзе И.И., Хуцишвили О.Д. - Сообщ. АН ГССР, 1979, т.96, №2, с.381-384.

Офиолиты Дзиурульского массива и некоторые вопросы домезозойской истории Кавказа. Гамкрелидзе И.П., Думбадзе Г.Д., Кекелия М.А., Хмаладзе И.И., Хуцишвили О.Д. - Тез.докл.П семинара по геодинамике Кавказа. Тбилиси, Мецниереба, 1980, с.23-25.

Офиолиты Дзиурульского массива и проблема Палеотетиса. / Гамкрелидзе И.П., Думбадзе Г.Д., Кекелия М.А., Хмаладзе И.И., Хуцишвили О.Д. - Геотектоника, 1981, №5, с.23-33.

▷ Джавахишвили Ш.И. Кристаллические сланцы южного склона Большого Кавказа. - Тр./Геол.ин-т АН ГССР, нов.сер., 1970, вып.23, 193с.

✓ Заридзе Г.М. Эндогенные формации орогенных областей. - М., Недра, 1970, 307 с.

✓ Заридзе Г.М. О базальтовом субстрате древнейшего геосинклинального пояса Кавказа. - В кн.: Проблемы строения земной коры и верхней мантии. Верхняя мантия №7. М., Наука, 1970, с.185-189.

Заридзе Г.М., Татришвили Н.Ф. Магматизм Грузии и связанные с ним рудообразования. - М., Госгеолтехиздат, 1959, 253 с.

Кележинская К.Б. Парагенетический анализ и петрохимия среднетемпературных метапелитов. - Тр./Ин-т геол. и геоф., СО АН ССР, вып.295, 1977, 196 с.

Киласония П.Ф. Главные этапы формирования кристаллического субстрата Грузинской глыбы. - Тр./ТГУ, А 3(144), 1972, с.165-177.

Киласония П.Ф. К вопросу о генезисе древних габбройдов Дзиурульского кристаллического массива. - Сообщ. АН ГССР, 1973, т.70, №2, с.377-380.

Кожухаров Д., Боянов И. Состав и возраст метаморфических сланцев восточной части Дзиурульского массива. - Изв. АН ССР, сер. геол., 1971, №6, с.42-47.

Кожухаров Д., Боянов И. Стратиграфия и структура метаморфических сланцев восточной части Дзиурульского массива. - Списание на Българското геологическо дружество, 1972, XXXIII, кн.3, с.311-322.

Корнев Т.Я. Гранаты метаморфических толщ Енисейского кряжа. - Геол. и геоф., 1980, №8, с.42-47.

Манвиладзе Р.М. Расчленение гранитоидов Дзиурульского массива по различным структурно-оптическим типам кали-натровых полевых шпатов. / Автореф.канд.дис., Тбилиси, 1970, 26 с.

✓ Манвиладзе Р.М. Геолого-петрографическое значение калишпатов гранитоидов Грузии. - Тбилиси, Мецниереба, 1983, 124 с.

Маракушев А.А. Проблемы минеральных фаций метаморфических и метасоматических горных пород. - Наука, М., 1965.

Миссиро А. Метаморфизм и метаморфические пояса. - М., Мир, 1976, 535 с.

Одикадзе Г.Л. Распределение tantalа, ниobia, олова, фтора в слюдах из гранитоидов Большого Кавказа и Дзиурульского кристаллического массива. - Геохимия, №8, 1967, с.916-926.

Одикадзе Г.Л. Петрографо-минералогические и геохимические особенности гранитоидов Большого Кавказа и Дзиурульского массива и закономерности распределения в них редких и рудных элементов. / Автореф.докт.дис., Тбилиси, 1969, 62 с.

Перчук Л.Л. Равновесие породообразующих минералов. - М., Наука, 1970, 390 с.

Перчук Л.Л., Рябчиков И.Д. Фазовое соответствие в минеральных системах. - М., Недра, 1976, 287 с.

▷ Татришвили Н.Ф. Кристаллохимические особенности амфиболов в метаморфитах Большого Кавказа. - Сообщ. АН ГССР, 1975, т.79, №3, с.641-644.

Топурия П.А. Рквийский интрузив порфировидного гранита в Дзиурульском массиве. - Бюлл.геол.ин-та Грузии, т.Ш, вып.4, 1938, с.361-475.

▷ Хмаладзе И.И. Сине-зеленая роговая обманка из амфиболитов Дзиурульского массива. - Изв. геол.об-ва Грузии, 1967, т.5, №1, с.51-54.

✓ Хмаладзе И.И. Графитовые образования в Дзиурульском кристаллическом выступе Закавказского срединного массива. - Сообщ. АН ГССР, 1978, т.90, №3, с.621-624.

▷ Чихелидзе К.С., Хмаладзе И.И. Летучесть кислорода при формировании кристаллических пород Дзиурульского выступа Грузинской глыбы. - Сообщ. АН ГССР, 1976, т.81, №3, с.633-636.

▷ Чихелидзе К.С., Хмаладзе И.И. О термодинамических условиях

формирования пород Дзиурльского выступа Грузинской глыбы. - Сообщ. АН ГССР, 1977, т.86, №1, с.137-140.

Чихелидзе С.С. Геологические наблюдения в юго-восточной части Дзиурльского массива (на груз.яз., рез.на русск.). - /Тр.Геол. ин-т АН ГССР, сер.геол. ІУ(ІХ)<sub>3</sub>, 1948, т.ІУ(ІХ)<sub>3</sub>, 214 с.

✓ Шенгелиа Д.М. Петрология палеозойских гранитоидов Северного Кавказа. - Тр./ГИН АН ГССР, нов.сер., вып.34, 1972, 248 с.

✓ Шенгелиа Д.М. Сине-зеленые роговые обманки метаморфических пород. - В сб.: Минералы и парагенезисы минералов метасоматических горных пород, Л., Наука, 1975.

✓ Шенгелиа Д.М., Кецховели Д.Н. Региональный метаморфизм низких и умеренных давлений в Абхазии. - Тбилиси, Мецниереба, 1982, 207 с.

Newton R.C. Kyanite Andalusite Equilibrium from 700° to 800°C, Science, v.153, 1966, p.170-172.

Richardson S.W., Gilbert M.C., Bell P.M. Experimental determination of kyanite-andalusite and andalusite-sillimanite equilibria; the aluminium silicate and triple point. Am.J.Sci., v.257, 1969, p.259-272.

## Содержание

	3
Введение	
Геолого-петрологическая характеристика палеозойских метаморфических и магматических пород	5
	9
Амфиболы	
Биотиты	
Биотиты из амфиболитов, метабазитов и габбро	24
Биотиты из кристаллических сланцев и гнейсов	27
Биотиты из гнейсовых кварцевых диоритов	29
Биотиты из метасоматических гранитоидов и мигматитов	33
Биотиты из калишпатовых гранитоидов	48
	53
	56
Мусковиты	
Гранат	
Заключение	
Литература	57
	65
	73

Напечатано по постановлению Редакционно-издательского  
совета Академии наук Грузинской ССР

ИБ 3287

Редактор издательства

Г.П. Бокучава

Худож. редактор

Г.А. Ломидзе

Техредактор

Э.Б. Бокерия

Корректор

С.Н. Качкачурishvili

Сдано в производство 11.2.87 ; Подписано к печати 4.08.86; Формат  
бумаги 60x84 1/16 ; Бумага офсетная ; Печать офсетная ;  
Усл.печ.л. 4,8 ; Усл.кр.-отт. 5,1; Уч.-изд.л. 4,0 ;

УЗ 01224

Тираж 500 ;

Заказ №549

Цена 60 коп.

---

Издательство "Мецниереба", Тбилиси 380060, ул. Кутузова, 19

Типография АН ГССР, Тбилиси, 380060, ул. Кутузова, 19

Ираклий Ираклиевич Хмаладзе  
Кетеана Савельевна Чихелидзе

Породообразующие минералы кристаллических пород  
Дзирульского выступа Закавказского срединного  
massive

Тбилиси  
"Мецниереба"  
1987